



«ՄԵՌԱՆՆԵՐԻ ԿՏՐՈՒՄ»
ԴԱՍԸՆԹԱՑԻ
ԼԱՐԳՈՐԱՏՈՒ
ԱՇԽԱՏԱՆՔՆԵՐ

ՀԱՅ-ՀԱՅ

Ի. Պ. ՏՐԵՏՅԱԿՈՎ, Վ. Ա. ԱՐԵՒՆՈՎ, Ն. Ֆ. ԿԻՍԵԼԵՎ,
Վ. Ա. ՍԻՆՈՊԱԼՆԻԿՈՎ

**«ՄԵՏԱՆԵՐԻ ԿՏՐՈՒՄԸ»
ԴԱՍԸՆԹԱՑԻ
ԼԱԲՈՐԱՏՈՐ ԱՇԽԱՏԱՆՔՆԵՐ**

Թույլառովսծ է ՍԱՀՄ բարձրագույն և միջնակարգ
մասնագիտական կրթուրյան մինիսարուրյան կողմից
ուղարկված ուսումնական ձեռնարկ՝ մենաշխական բու-
թերի և ֆոկուլուտների համար:

«ԼՈՒՅՍ» ՀՐԱՏԱՐԱԿՈՒԹՅՈՒՆ
ԵՐԵՎԱՆ — 1973

Գրում, «Մետաղների կորումը» դասընթացի դասխմբություններում, շաբաթված մի շարք տեսական դրույքներ փորձերի միջոցով հիմնավորելու նպատակով բերված են ուսանողների ինքնուրույն պարապմունքների համար համատեսված լարումատու աշխատանքները:

Այս գիրքը նախատեսված է ուզբեկ ուսումնական և նույնական բառերի և ֆակուլտետների ցերեկային, երեկոյան ու հեռակա ուսուցման հիջալ դասընթացի լաբորատոր աշխատանքներ կատարել ուսանողների համար: Գիրքը կարող է են օպտագործել նաև զուգահամապատասխան դասընթացուական լաբորատորիաների աշխատաղողները:

Ղենանակը կազմված է մենաշնորհական բամերի մենաշնորհության ուղարկությամբ:

Ղենանակը կազմված է մենաշնորհական բամերի մենաշնորհության ուղարկությամբ և մետաղանաս հաստոցներ ու գործիքներ մասնագիտությունների համար, «Մետաղների կոռումք» դասընթացի՝ ԱՄՀՄ բարձրագույն և միջնակայության մասնագիտական կրթության միջնամասնության կողմից 1962 թ. հունվարական ամառապահ ծրագրին նամակատախմբան:

১০২৪৫৮৯

Ներկայում տեխնիկական բուհերում «Մետաղների կարումը» զառնվթացին հատկացվում է 60 ժամ, որից 40 ժամ՝ դասախոսություններին և 20 ժամ՝ ուսանողների ինքնուրուցն լաբորատոր աշխատանքներին։ Դասախոսությունները, լաբորատոր աշխատանքները և դասընթացի հիմնական բաժինների վերաբերյալ հաշվարկային-գրաֆիկական տնային առաջադրանքները հիմք են ծառայում «Հաստցների հաշվարկը և հորինումը (կոնստրույրումը)», «Կորող գործիքների նախագծումը», «Մեքենաշինության տեխնոլոգիա» և այլ դասընթացների հաջորդական շարադրման ու ուսումնասիրման համար։

Տեխնիկական բուհերում մետաղների կարումը, որպես ինքնուրույն առարկա, կարդացվում է մոտ 40 տարի։ Այդ ժամանակամիջոցում հազարված և սիստեմավորված է այն ամբողջ նյութը, որն անհրաժեշտ է տալ ուսանողներին՝ ապագա ինժեներներին։

Կտրման միջոցով կատարվող մշակման պրոցեսների ավտոմատացման անհրաժեշտության և դժվար մշակվող նյութերի լայն կիրառման ընորութիվ մետաղների կտրման գիտությունը կստանա իր հետագա զարդարումը:

Լաբորատոր աշխատանքների կատարմանը հատկացվող սահմանափակ ժամանակի ժամանակով դասախոսները պետք է այդ աշխատանքներից ընտրեն ամենակարևորները և դրանց վրա կենտրոնացնեն ուսանողների ուշագրությունը: Ենելով վերոհիշյալից, տրված են մեթոդական խորհուրդներ, որոնք պետք է օգտագործվեն:

87021973
6-4-6190-73

И. П. ТРЕТЬЯКОВ, В. А. АРШИНОВ, Н. Ф. КИСЕЛЕВ,
В. А. СИНОПАЛЬНИКОВ

6

ЛАБОРАТОРНЫЕ РАБОТЫ ПО КУРСУ «РЕЗАНИЕ МЕТАЛЛОВ»

(на армянском языке)

Издательство «Луис»
Ереван 1973

**ԸՆԴՀԱՆՈՒՐ ՄԵԹՈԴԱԿԱՆ ԽՈՐՀՈՒՐԴՆԵՐ ԼԱԲՈՐԱՏՈՐ
ԱԾԽԱՏԱՆՔՆԵՐԻ ՎԵՐԱԲԵՐՅԱԼ**

Հարորատոր աշխատանքների կատարման զիսավոր նպատակը դա-
սախոսությունների ընթացքում շարադրված տեսական դրույթները փոր-
ձերի միջոցով հաստատելն է, կատարվող փորձնական հետազոտություն-
ների մեթոդիկայի հիմունքների ուսումնասիրումը, փորձնական տվյալ-
ների ստացումը, դրանց գրաֆիկական, անալիտիկ մշակումը, ստացված
արդյունքների վերլուծության կիրառումը գործնական խնդիրների լուծ-
ուան համար։ Բացի դրանից, լաբորատոր աշխատանքների կատարման
ընթացքում ուսանողներն ուսումնասիրում են կտրման պրոցեսների հե-
տազոտման համար օգտագործվող սարքավորումներ, գործիքներ և չա-
փ իշ սարքեր։

Գիրքը, բայց գալունթայի բաժինների, բովանդակում է 12 լաբորա-
տոր աշխատանք: № 1—9 լաբորատոր աշխատանքները նվիրված են
մեկ կոմիտետ թեմայի ուսումնասիրումանը՝ կտրող գործիքի երկրաչափու-
թյան կամ կարման պրոցեսի մի որևէ հարցի: № 10—12 լաբորատոր
աշխատանքներն ընդգրկում են կոմպլեքսային թեմաներ: Տեղական
պայմաններին և ինստիտուտի հնարավորություններին համեմատ, յու-
րաքանչյուր կոմպլեքսային աշխատանք կարելի է բաժանել երկու ինք-
նուրույն աշխատանքին:

Բազմամյա փորձը ցույց է տվել, որ կատարելով առաջին, ավելի պահանջական ծագման աշխատանքներ, ուսանողները ձեռք են բերում որոշակի փորձ, որը նրանց հնարավորություն է առաջիս հեշտությամբ կատարելու և ոմալիքասային աշխատանքները:

Հաբրուտոր աշխատանքների կատարման ընթացքում անհրաժեշտ է ուսանողների ուշագրությունը հրավիրել այն բանի վրա, ինչը հնարավոր չէ ակնառու կերպով ցուց տալ դասախոսությունների բնթացքում՝ զրատախտակի և կավճի օդնությամբ։ Օրինակ, միշտ չէ, որ հնարավոր է ակնառու կերպով վերաբարերել գեֆորմացման պրոցեսի դինամիկան կտրման դուռում, կտրման ժամանակ առաջացող վիրրացիաները, զործիքի մաշման բնույթը և դինամիկան, ներպարուրակիչների (մշտական) բնգունիչ մասի վրա աեղակայված ապրական առանձների հաջորդական խորացման (արեգական) և մի քանի այլ կարևոր պրոցեսներ։

Այս պրօտմ շարադրված լարուատոր աշխատանքների գիւավոր բազմակությունը կազմում էն կարման պրոցեսի ֆիզիկական հիմունքները, կարման սրուցեսում առաջացող ուժերը, կարող գործիքների երկրաչափությունը և կարող եղբերի ամրությունը:

Քննարկենք լարութատոր աշխատանքների բովանդակության պիմ-նական հարցերը:

Կարիշների աշխատող մասի երկրաշափուրյունը: Այս աշխատանքի կատարման համար անհրաժեշտ է ունենալ տարբեր տեսակի խառաւացին կարիշների՝ 2—3 հավաքածու, շափիչ սարքեր (անկունաշափեր, միջմետրերով քանոններ) և կարիշի աշխատող մասը պատկերող պլազմատներ: Խառաւացին կարիշների յուրաքանչյուր հավաքածու պետք է պարունակի կարիշների հետեւալ հիմնական տեսակները՝ անցածաւու (աչ և ձափի), ճակատառաշ, կտորահատ և պարուրակահատ: Բայց կոնսարտուկցիայի կարիշները պետք է լինեն զողված շերտիկներով և շերտիկների մեխանիկական ամրացումով: Անհրաժեշտ է նախատեսել տղղագիծ և կորագիծ կարող կղբերակ, տարբեր առջեի մուկերեկույթ ունեցող կարիշներ: Բացի դրանից, անհրաժեշտ է ունենալ կլորձնական կարիշներ՝ արտաքին շրջատաշման և ներտաշման համար, ձեռալոր սլրիդմաշաճեկարիշներ, թործիչ և ոսնդիչ կարիշներ:

Այս թեմայի ուսումնասիրման բնվագրում պետք է ուշադրություն դարձնել կարիչների աշխատող մտածքի առանձին առրրերի որոշման և նշանակության վրա։ Քննարկել և համեմատել առջևի ու ետիւ մակերես-վույցները և առջևի ու ետիւ զլիամփոր անկյունները՝ կատրահատ և թոր-ձիչ կարիչների համար։ Արոշել ճակաատաշ կարիչի հատակագծի գրե-յալիոր և օժանդակ անկյունները մշակվող մակերեսույթից դեպի կենա-րոն և կենարոնից գետի մշակվող մակերեսույթը կատրավող աշխատան-քի ընթացքում։ Անհրաժեշտ է սովորել շափել կտրուահատ կարիչի անկյունը, նրա հատակագծի զլիամփոր և օժանդակ անկյունները, առջևի և գիսավոր ետևի անկյունների մեծությունը (դործնական անկյունների զիապաղոնը), պարզել դրանց զերք մետաղամշակման արտադրողակա-նության բարձրացման դործում։ Անհրաժեշտ է մանրամասնորեն ծա-նոթանալ կլոր-ձևագոր կարիչների հետ, բնդ սրում պետք է հատուկ ուշադրություն դարձնել կարիչի տեղակայման առանցքի՝ նախագատ-րասավածքի պատման առանցքի նկատմամբ ավելի բարձր տեղադրման տնհրաժեշտագության վրա, որի հաշվին էլ սաւացվում են նորմալ կարման որոշենական առանցքով ետևի անկյունները

Այս թեմայի ավարտական փուլը կտրիչի աշխատանքային դժագի էակամումը և ձեռակերպումն է՝ անհրաժեշտ անկյուններով ու գծային պահամեարերով, ինչպես այդ ցույց է տրված № 1 լաբորատոր աշխատանքում:

Այդ աշխատանքի և հաջորդ աշխատանքների կատարման ժամանակ, որոնք կատված են գալիքիոնի, ֆրեզի, պարուրակահատ և այլ զործիքների երկրաշափության հետ, գլխավոր խնդիրը զործիքի (որպես աշխատանքի արտադրողականության բարձրացման զործոնի) երկրաշափության ուսումնասիրումն է:

Պարուրած գալիքիոնի երկրաշափությունը: Այս լաբորատոր աշխատանքի կատարման համար անհրաժեշտ է ունենալ տարբեր կառուցվածքի պատուածել գալիքիոնների 2—3 հավաքածու: Զանկալի է ունենալ խոր անցքերի մշակման գալիքիոններ: Ուսումնական ուշտորությունը ունետք է հրավիրել այդ գալիքիոնների երկրաշափության սուսնձնաշատկության և ինքնակենտրոնավորումն ապահովող պայմանների վրա:

Գալիքիոնների երկրաշափության ուսումնասիրումը տվյալ տշխաւամների հիմնական թեման է: Բացի այդ, անցքերի մշակման կոմպլեքսի մասին ուսանողներին պատկերացում տալու համար անհրաժեշտ է գայլիկությունը երկրաշափությունն ուսումնասիրելիս նրանց ծանոթացնել անցքալայնիչների և անցքակիշների հետ:

Պարուրածն գալիքիոնների երկրաշափությունն ուսումնասիրելիս անհրաժեշտ է ուշադրությունը, հիմնականում, կենտրոնացնել գալիքիոնի աշխատող մտսի վրա (կարման պրոցեսն ապահովող կարող եղբերի բանակը, գլխավոր կարող եկը երկարությամբ տոշեի և ետեի անկյունակը, գլխավոր կարող եղբով և օժանդակ կարող եղբով՝ ների փոփոխություր, լայնական կտրող եղբով և օժանդակ կարող եղբով՝ մասնակի կտրությունը կարման պայմանները): Անհրաժեշտ է նաև ուսանողին ժամանակությունը տալ ծանոթանալու գալիքիոնների տարրեր տեսակների և նմանակման հետ՝ գործիքի երկրաշափական պարամետրերի բարելավման համար:

Ֆրեզների երկրաշափությունը: Այս լաբորատոր աշխատանքի կատարման համար անհրաժեշտ է ունենալ տարբեր տեսակի ու կառուցվածքի բավարար բանակությամբ ֆրեզներ, որոնք հնարավորություն են գործական աշխատանքների արտադրության բարձրացման վրա ազդող հիմնական երկրաշտփական բարութետրերը:

Ուսումնական հավաքածուի մեջ անհրաժեշտ է մոցնել հաստատուն և փոփոխական բայոնի, ուղղատամ և պտուտակային ատտեններով գրանցվուն ֆրեզներ, ուղղատամ և տարրուղղված սկավառակային եռակողման ֆրեզներ, ձևավոր և ձակատային ֆրեզներ: Շատ ցանկալի է ունենալ խնդիրներ, այնպես էլ կազմովի (տեղադրված ատամներով) դիմումներ:

Նախրան ֆրեզի երկրաշափության ուսումնասիրումը. պետք է ծանոթանալ ֆրեզման պրոցեսի կինեմատիկայի մի քանի տարբերի հետ, որոնք էլեկտրական ակտոր ակտորությունի լինի առջեկի և ետեի անկյունների դերը և բա-

ցա՞յալովի մեկ հարթությունից մյուսին անցնելու կապակցությամբ անկյունների վերահաշվում կատարելու անհրաժեշտությունը: Անհրաժեշտ է ուշադրություն դարձնել տարրուղղված ատամներով սկավառակային եռակողման ֆրեզների երկրաշափության վրա, որոնցով ուղղաձիգ պատերի ակոսների մշակումը կատարվում է ոչ միայն յուրաքանչյուր հաջորդ ատամով, այլև մեկնդմեջ դասավորված ատամներով:

Ներպարուցակիչի երկրաշափությունը: Այս լաբորատոր աշխատանքի կատարման համար անհրաժեշտ է ունենալ ձեռքի, մեքենայական, մանեկային (գայնին) և հատուկ ներպարուցակիչների հավաքածու: Ներպարուցակիչի երկրաշափությունն ուսումնասիրելիս պետք է ուշադրություն դարձնել ներպարուցակիչի ընդունիչ մասի (зaborная часть)՝ որպես կցորդման հիմնտկան աշխատանք կատարող գլխավոր տարրի վրա: Պարուցակահատ գործիքի երկրաշափությունն ուսումնասիրելիս պետք է ուշադրություն պարձնել գործիքի ընդունող մասի, պարուցակի պրոֆիլի առաջացման և պարուցակի մշակման պրոցեսի կինեմատիկայի հետ ետպահած հարցերի վրա:

№ 1, 8, 10 և 11 լաբորատոր աշխատանքները կատարելիս դիմավոր խնդիրը գործիքների՝ այն գլխավոր գործուներից մեկի, երկրաշտփության ուսումնասիրումն է, որոնք հնարավորություն են տալիս զգալիորեն բարձրացնելու կարողությունը:

Հաջորդ աշխատանքների հիմնական բովանդակությունը կազմում էն՝ զեֆորմացման պրոցեսի ուսումնասիրումը (լաբորատոր աշխատանք № 2), շերմաստիճանի ուսումնասիրումը մետաղների կորման ժամանակ (№ 4), կտրիչի մաշման և «արագություն-կայունություն» կախմածության ուսումնասիրումը (№ 5), գործիքի կտրող եղբերի ամրության ուսումնասիրումը (№ 6), մշակվոծ մակերեսությի մաքրության ուսումնասիրումը (№ 7), կորման պրոցեսում առաջտցող տժեղի ուսումնասիրումը (№ 3, 9, 11 և 12):

Հիշյալ աշխատանքների խնդիրները, ծավալը և կատարման հաջորդականությունը մանրամասնորեն շարադրված են յուրաքանչյուր աշխատանքում: Անհրաժեշտ ենք համարում կանգ առնել միայն այդ աշխատանքների կատարման մեթոդիկայի մի քանի հարցերի վրա:

№ 2 լաբորատոր աշխատանքը պետք է կատարել կարման պրոցեսում դիմուկի մետաղի դեֆորմացիան և հետազոտելով տշխեղի կծկումը: Տաշեղը կտրման պրոցեսի անխուսափելի տեխնոլոգիական գործունելու արտադրական մնացուկ, որը պետք է լինի նվազագույն շափով: Տաշեղով չի կարելի դադարիար կտզմել մշակվոծ մակերեսությի որակի մասին: Տաշեղի ձեր, նրա դեֆորմացման աստիճանը սահմանափակ հետաքրքրություն են ներկայացնում կտրող գործիքներ ստեղծելու տեսակետից, երբ պահանջվում է որոշել ձգիչների, ֆրեզների, պարուցակահատ

մի բանի այլ գործիքների տաշեղի տեղավորման ակոսիկների ակտիվ ձևի այլը:

Տաշեղագոյացման պրոցեսի գոառու գիտումները և տաշեղի կծկումը քննության առնելու հիման վրա ուսանողը կարող է ձիշտ գնահատել կծկումը իբրև մհավազների կարման ժամանակ աեղի ունեցող պլաստիկ դեֆորմացիայի սրոշ դուզանիշ։

№ 4 և 5 լաբորատոր աշխատանքները կապարելուց հետո յուրաքանչյուր ուսանող պետք է, մասնավորապես, իր համար պարզի, որ կտրման ջերմաստիճանի և կտրող գործիքի մաշման վրա զգալիորեն ազդում է կտրման արագությունը, քիչ շափով՝ մատուցումը, ավելի քիչ շափով՝ կտրման խորությունը: Գործիքի աշխատող մասը, հիմնականում, պատրաստվում է արագահատ պողպատից կամ կարծր միահաւաքածիու: Գործիքի աշխատող մասի պիխավոր տարրը կտրող եղբն է:

№ 6 լաբորատոր աշխատանքը նվիրված է կարող եզրերի ամրության հետազոտմանը և կատարվում է գործիքների կորուզ եզրերի ամրության կախումը եւսեի չ անկյան մեծությունից և նլութի մակնիշից (գործիքային պողպատ կամ կարծր միահալվածք) փորձնական հանապարհով ստանալու նպատակով։ Այդ աշխատանքի կատարման համար պահանջվում է ոչ բարդ հարմարանք, որը կարող է պատրաստվել յուրաքանչյուր ինստիտուտի մէխիանիկական արհեստանոցում։ Հարմարանքը կարելի է անդադրել ցանկացած մամլիչի վրա (այդ թվում և թրինելի մամլիչի վրա)՝ 3—7 տոննա բեռնվածքով։

№ 3, 9—12 լաբորատոր աշխատանքների խնդիրն է փորձի միջոցով հետազոտել կարման ուժիքմի տարրերի հևտ ուժերի փոխադարձ կապը: Հիշյալ բոլոր աշխատանքներում անհրաժեշտ է ուշադրություն դարձնել ուժերի ուղղության և մեծության վրա, ինչպես նաև հաստոցների գլխավոր հանգույցների, կտրող գործիքների և մշակվող նախապատրաստվածքների վրա այդ ուժերի ազդեցությունը: Թվարկված լաբորատոր աշխատանքներից յուրաքանչյուրն ունի իր առանձնահատկությունները, որոնք պետք է հաշվի առնվեն դրանք կատարելու ընթացքում:

Ն Յ Յաբորատոր աշխատանքը կատարելիս, որը կատված է շրջատաշման ժամանակ կարման ուժերի ուսումնասիրության հետ, անհրաժեշտ է ուշադրություն դարձնել կարման պրոցեսում առաջացող ուժերի մեծության և ուղղության վրա, դրանց ազդեցությունը հաստոցի, կրարիչի և մշակվող նախապատրաստվածքի վրա, P_x և P_y ուժերի փոփոխության վրա՝ կախված դիմագոր անկյան փոփոխությունը, V_s ուժի ուղղության վրա, որ բնույնում է առանցքային (հենակային) առանցքակալը, իսկ դա պահանջում է այլ մոտեցում ունենալ իլի հանդուցը հորինելիս, և դա համեմատել կտորահատման աշխատանքների համար նախատեսված խառաւացին հաստոցի իլի հանդուցը կառուցվածքի հետ:

№ 9 լաբորատոր աշխատանքը կատարելիս, որը կապված է գայլիկոնման ժամանակ կտրման ուժերի և որորող մոմենտի ուսումնասիրման հետ, անջրաժեշտ է ուշադրություն դարձնել դայլիկոնման ժամանակ առաջացող ուժի և մոմենտի ուղղության ու մեծության վրա, ինչպես և դրանց ազդեցությանը գայլիկոնի հաստոցի հանգույցների ու գայլիկոնի վրա: Նշել լայնական կարող եղրի կտրման յուրահատուկ պայմանները, հաշվի առնել, որ դայլիկոնի ժապակնեների կտրող եղրերը, դայլիկոնի կենտրոնավորման ֆունկցիայից բացի, կատարում են օժանդակ կարող եղրերի ֆունկցիաներ:

№ 10 չարտրատոր աշխատանքը կատարելիս, որը դլանային ֆրեզ-
ման դեպքում կազմված է կտրող ուժերի հետազոտման հետ, անհրաժեշտ
է աշշափովթյուն դարձնել ուղղաամ և պառատակաձև ատամներով ֆրեզ-
ների կարող եղթերի շարժման հետագիքի վրա և ցուցը սար դրանքի ուղարտ-
ման առանցքի նորմալ հարթության վրա ետքի ։ անկյան ու ֆրեզի
առամբնական առանձին առանձին պատճենների համար անկյան ու անկյան
ընթացքությունը պարզաբանելու անհրաժեշտառնությունը Անհրաժեշտ է ուղա-
րքություն դարձնել պանային ֆրեզման դեպքում առաջացող ուժերի
ուղղության և մեծության վրա, այն բանի վրա, որ Են ուժն ազդում է ֆրե-
զի կախակի, հասացի սեղանի և մշակվող նախապատրաստման վրա,
ընդունվում է շառավղային առանցքակալների կողմից, իսկ Են ուժը՝ ա-
ռանցքային (հենակային) առանցքակալի կողմից։ Գլանային ֆրեզման
դեպքում առաջացող ուժերի ուղղությունը համեմատել երկայնական
շրջատաշարման ժամանակ առաջացող ուժերի ուղղության հետ։

Հ 11 լարուատոր աշխատանքը կատարելու ժամանակ, որը կապ-
ված է պարուակահանման պրացեսի ուսումնասիրման հետ, անհրաժեշտ
է ոչազբախյուն դաշնել ներպարուրակիչի աշխատավ (ընդունիչ) մասի
ժրաւ, որտեղ կատարվում է կտրման հիմնական աշխատանքը, բնդունիչ
նաևում պանկող մետաղի շերտը հաջորդաբար կտրով ատամների հեր-
թափոխման վրա: Անհրաժեշտ է հաշվի առնել, որ ներպարուրակիչով
պարուրակ մշակելու գեպքում մտաւում ներպարուրակիչի մեկ պլ-
ուտուի ընթացքում հավասար է պարուրակի բացին:

Ա՞ 12 լարորատոր աշխատանքը կատարելիս անհրաժեշտ է ընդգծել երկարական շրջատաշրման ուժերի և հղկման ուժերի հարաբերակցության լուրանատկությունը (ըրչատաշրման գեպքում՝ P_{c} ը մեծ է P_{v} -ից և P_{s} -ից, իսկ հղկման գեպքում՝ P_{v} -ը մեծ է P_{c} -ից և P_{s} -ից):

Հղիման ժամանակ առաջացող տժերի հարաբերակցությունը պետք է բայցարձել հղկանյութի հատիկներով կարելու հասուն պարմաներով և մեծ շփումով, որոնք առաջացնում են մեծ շառավղացին սօֆ (P_g):

Վերը թվարկված բոլոր աշխատանքներում, որնի՞ն նվիրված էն կը-
արքան ուժերի ուսումնասիրմանը, տրված էն ուժեղի միաւն սկզբուն-

շային սխեմաներն այն ծավալով, որը հնարավոր է քննության առնել դորժնական պարապմունքների համար նախատեսված ժամերին:

Կտրման պրոցեսում ազգող ուժերը և գործնական խնդիրներ լուծելու նույնական պրանք կիրառելը մանրամասնորեն շարադրվում են «Մետաղների կարումը» դասընթացի համապատասխան բաժինների դասախոսությունների ընթացքում:

Լարորատոր աշխատանքների հաջող կատարումը պահանջում է անհրաժեշտ նախապատրաստություն: Ցուրաքանչյուր աշխատանք կատարելուց առաջ անհրաժեշտ է ուշադիր կարդալ ձեռնարկը, պարզել հետազոտման խնդիրները, ուսումնասիրել հետազոտության մեթոդիկան և կատարել անհրաժեշտ բոլոր հաշվարկները:

Կտրման պրոցեսում առաջացող ուժերի շափումը դիտական ու դորժնական մեծ նշանակություն ունի:

Ազգող ուժերը, ըստ մեծության և ուղղության, օգտագործվում են հասուցների, ավտոմատ դերի, կտրող գործիքի, տեխնոլոգիական պրոցեսների կառավարման սիստեմների նախագծում և հաշվարկների կառայիլու, ինչպես նաև նյութերի կարման պրոցեսների ֆիզիկական էլեկտրական բացարձակության համար:

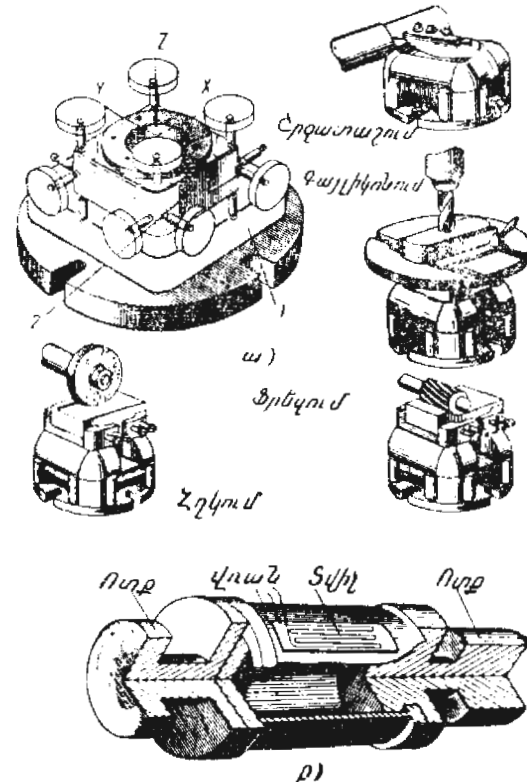
Այն կապակցությամբ, որ մետաղամշակման հետագա զարգացումն ընթանալու է մաքոր, վերջնամշակման օպերացիաների ավելի լայն կիրառման ուղղությամբ, անհրաժեշտ է ուսումնասիրել այդ պայմաններում առաջացող բոլոր երեսութները: Մաքոր շրջատաշում կատարվում է համեմատաբար փոքր ուժության բեռնվածքների և բարձր կտրման արագությունների գնապրում: Դա մեզ ստիպում է կիրառել բարձր դդայնության ու փոքր իներցիոն դինամոմետրեր՝ արագնթաց պրոցեսների ուսումնասիրման համար:

Անհայտ է, որ արագնթաց պրոցեսների համար չի կարելի կիրառել հիգրավիկական դինամոմետրեր: Ուստի դինամոմետրերի տարրեր կառուցվածքների մանրակրկիտ վերլուծությունից հետո բուհերի լարորատորիաներում խորհուրդ է տրվում օգտագործել գործիքային արդյունաբերության շամամիտթեսական գիտա-հետազոտական ինստիտուտի (ԴԱԳՀԻ) առաջարկած փոքր իներցիոն ունիվերսալ դինամոմետրը: ԳԱԳՀԻ այս դինամոմետրը կարելի է կատարել «Մետաղների կտրումը» դասընթացի բոլոր հիմնական լարորատոր աշխատանքները, որոնք կարգված են կտրման ժամանակ առաջացող ուժերի շափման համար:

Մուկվաչի հաստոցաղործիքային ինստիտուտի «Նյութերի կտրումը» լարորատորիայում բոլոր հիգրավիկական դինամոմետրերը փոխարինված են ԳԱԳՀԻ-ի առաջարկած դինամոմետրերով՝ էլեկտրոնային շափիչ սարքերով, որոնք օգտագործվում են ուսանողների ու ինժեներների որակավորման բարձրացման դասընթացների ունկնդիրների հետ տարվող

լուրորատոր պարապմունքներում, ինչպես նաև գիտա-հետազոտական աշխատանքներ են կատարվում կտրման պրոցեսի դինամիկայի ուղղությամբ:

ՍԴՄ-1 ունիվերսալ դինամոմետրը (ԳԱԳՀԻ) թույլ է տալիս միաժամանակ չափել փոխարձաբար ուղղահայաց ազգող երեք ուժերը, ինչպես նաև ըլորտ մոմենտը, որը մետաղների մշակման տարրեր եղանակների գեղարկում լիովին բավարար է կտրման ուժերը շափման համար:



Նկ. 1. Կտրման ուժերի շափման ունիվերսալ դինամոմետրի սխեմա

Հայիման յուրաքանչյուր տեսակի համար գինամոմետրն ունի համապատասխան հարմարանք՝ շրջատաշման դեպքում դինամոմետրի վրա տեղակայվում է կտրիչակալ, գայլիկոնման և պարուրակի մշակման գեպքում՝ կլոր սեղան, իսկ ֆրեզման և հղկման գեպքում՝ մամլակներ, ինչպես ցույց է տրված նկ. 1-ում:

Դինամոմետրը բաղկացած է իրանից (1) և քառակուսի սալի տեսքունեցող բռնիչից (2), սալի վրա ամրացվում են փոխովի հարմարանքները:

Նկ. 1, առողջ ցույց է տրված նուև դինամոմետրի կառուցվածքի ըսկալիգրամներին սիմեման։ Սալը պահպատ է տասնվեց հենարաններում։ XX առանցքին զուգահեռ շորս հենարաններն ընդունում են P_x առանցքային տժը, ոչ առանցքին զուգահեռ շորս հենարաններն ընդունում են P_y շառավագային ուժը և չչ առանցքին զուգահեռ տեղակայված ութ հենարաններն ընդունում են P_z շոշափող (տանգենցիալ) ուժը։

ՀՀ առանցքի նկատմամբ ոլրող մոմենտը գալիկոնման դիպում ընդունում են XX և Կ առանցքների առանցքների հետ համընկնող հորիզոնական հարթության վրա դանվող ութ հենարանները։

Ոչ աշխատանքային վիճակում հենարանների վրա ստդիւմ է նախական բեռնվածքը, որը հավասարաշափ բաշխված է բոլոր հենարանների միջև և հավասար է դինամոմետրի աշխատանքի ժամանակ թույլատրելի առավելագույն բեռնվածքի կեսին։ Սալը գոնվում է հավասարակշռված, լարված (վաշենո-ոպրյակուս համար առանձին պատճենները հենարանների, սալի և իրանի կցատեղերում, բարձրացնում է դինամոմետրի ամբողջ սիստեմի կոշտությունը և նրա զգայնությունը։

Ուղղաձիր հենարանների վրա սոսնձված է մեկական դիմադրության ավելի, իսկ հորիզոնական հենարանների վրա՝ երկուական ավելի իրենակ նկ. 1, բ-ում ցույց է տրված հենարանի վրա հազորդալարային ավիշի սոսնձման տեղը։ Համանման տեղիրում ավիշները են սուրճիվում նաև մյուս հենարանների վրա։ Նկ. 2-ում ցույց է տրված 1—16 ավիշների միացման հաջորդականությունը ուժերի (P_z , P_x , P_y) և ոլրող մոմենտի (M_{xy}) չափուն սիստեմում։

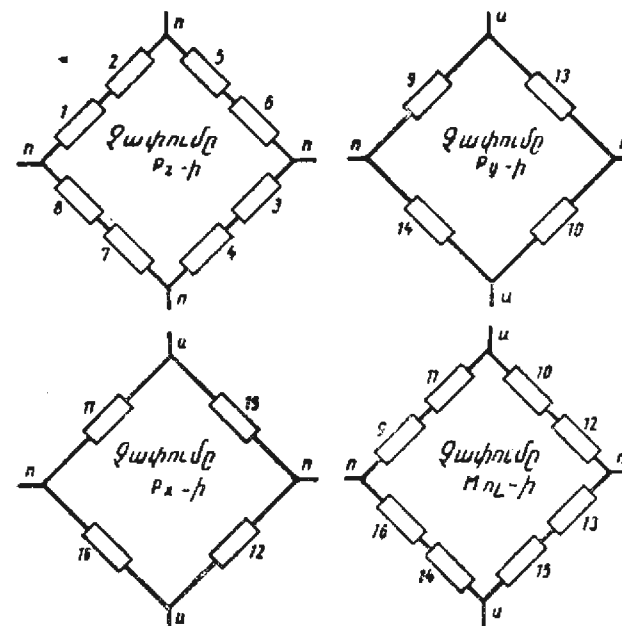
Ուժերի չափման սխեմայում հենարանների վրա սոսնձված ավիշների ազդանշանները գումարվում են հանրահաշվորեն, որովհետեւ սալի վրա ազդող բոլոր հենարանային հակագումների հանրահաշվական պունարը համեմատական է չափվող ուժին՝ անկախ նրանից, ինչ ինչպիսի կետում է այն կիրառված։ Դինամոմետրի այդ կարևոր հատկությունը բավականին պարզեցնում է կտրման ուժերի ստուգածշտումը, քանի որ ստուգածշտման ցուցմունքները կախված չեն կտրիչի մեկնվածքի մեծությունից։

Ալյորող մոմենտի չափման սխեմայում հենարաններին (որոնց առանցքները գտնվում են հորիզոնական հարթության վրա) սոսնձված ավիշների ազդանշանները հանրահաշվորեն հանվում են, որը թույլ է տալիս չչ առանցքի նկատմամբ հորիզոնական հարթության վրա չափել ոլրող մոմենտի մեծությունը։ Կտրման ուժերի և ոլրող մոմենտի չափման համար օգտագործվում է $TY-4M$ չորսառվականի առնգոմետրական կայանքը։ Դինամոմետրի ցուցմունքների հաշվանքը կարելի է կատարել $MPO-2$ օսցիլոգրաֆով (գրանցում լուսանկարչական ժագավենի

դրա) կամ միլիամպերով (ավելի հարմար են $M-104$ միլիամպեր-մետրերը), որը միացված է $TY-4M$ կայանքի ելքին։

ԳԱԳՀի-ի առաջարկությունը թույլ է տալիս աշխատանքային բեռնվածքների հետեւալ սահմանները՝ $P_z = 600$ կՎ, $P_y = 300$ կՎ, $P_x = 300$ կՎ և $M_{xy} = 5000$ կՎ. ամ. Սարքի ստուգածշտումը կատարվում է սովորական մեթոդով՝ այնպես, ինչպես հիդրավլիկական և էլեկտրական դինամոմետրի ստուգածշտումը։

Երշատաշման, զայիկունման և հղկման դիպրում դինամոմետրի երկար շահագործումը ցույց է տվել նրա մեծ կոշտությունը և թրթուակայունությունը, ցուցմունքների կայունությունը, բարձր զգայնությունը և



Նկ. 2. Տվիշների միացման սխեմա

Բարերար 9

հովացումով աշխատելու հնարավորությունը։ Դինամոմետրի ունի ոչ մեծ արարիտացին չափելու, շահագործման պայմաններում հարմար է պարզ, հեշտ և արագ վերակարգավորվում է մշակման տարրեր ձևերի համար։ ԳԱԳՀի-ի առաջարկած յուրաքանչյուր դինամոմետրին կից մանրամասն ցուցմունքներ են մարդու մասնակիությանը համապատասխան մասնակիությանը։

ՍՍՀՄ-ում 1963 թ. հունվարի 1-ից մտցված է $Միավորների$ միջազգային սիստեմ՝ СИ (ГОСТ 9867-61)։ Տվյալ գործում ուժի ըոլոր միավորները տրված են ՄԿГСС սիստեմում։ Հանդիսող ուժի միավորները ՄԿГСС սիստեմից ՍИ սիստեմին փոխադրելը կատարվում է՝ հաշվի առնելով $1 \text{ кՎ} = 9,8 \text{ նյուտոն}$ գործակիցը։

ԿՏՐԻՉՆԵՐԻ ԱՇԽԱՏՈՂ ՄԱՍԻ ԵՐԿՐԱՉԱՓՈՒԹՅՈՒՆԸ

Կտրիչների, ինչպես և այլ կարող դործիքների, բոլոր կոնստրուկտիվ առարկերի (կտրման անկյուններ, կացող նպրի ձնը և մեծությունը, տուղիք ու ետեկի մակերեսությների ձեզ, կտրող էղրի կցորդման շառավղիքը և այլն) ամբողջությունը, տարրեր, սրճնք ապահովում են նյութերի մշակման պրոցեսը կտրման օբյեցով, կոչվում է կտրիչների աշխատող մասի երկրաչափություն:

Առջև անկյուն մեծացումը թույլ է տալիս մուրրացնել կտրման անհրաժեշտ և նախապատճենած մշակման վրա ծախավող հզորությունը: Ասցի անկյունը չափիչ ավելի մեծացման հետևանքով կոտըրվում է կտրող դործիքը: Առանց դործիքի ետեկի անկյան առկայության հետաքվոր չե կտառեկ նորման մշակում, իսկ ետեկի անկյուն չափից ավելի մեծացումը վորյացնում է դործիքի կայունությունը: Այսպես իցում է դործիքի աշխատող մասի երկրաչափական դարամետրերի ճշշտ ընտրուցյան առջևածնությունը: Միշտ կտրող գործիքի երկրաչափության ճիշտ ընտրությունն է թույլ տալիս ապահովել մըշակման բարձր արտադրուչափականությունը: Առանք անհրաժեշտ է ուսումնասիրել կտրիչների ճիշտական տեսակների երկրաչափությունը, կազմել նրանց դժգոհությունը և սոսումնասիրել ստանդարտները: Երկրաչափությունն ուսումնասիրելիս անհրաժեշտ է ուշադրություն դարձնել յուրաքանչյուր կրնարուիկաիվ տարրի նշանակության, այսինքն՝ այն դերի վրա, որ նա կտառառում է կտրման ժամանակ:

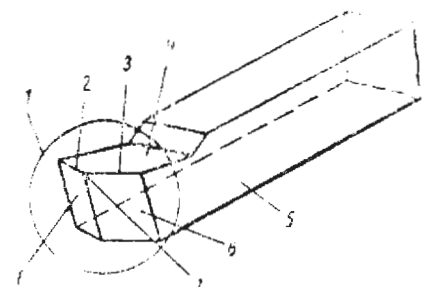
Կտրիչների գիխավոր առաջերը: Ցուրաքանչյուր կտրիչ կազմված է աշխատող մասից (գլխիկից) և ամրակման մասից (կտրիչի մարմին): Ամրակման մասը ծառայում է կտրիչը հասացի վրա ամրացնելու համար, իսկ աշխատող մասը նախատեսված է կտրումն ապահովելու համար: Մետաղամշակման ժամանակ աշխատանքի արտադրությունը բարձրացնելու համար որոշիչ նշանակություն ունի աշխատող

մասը: Այդ պատճառով կտրիչի երկրաչափությունն ուսումնասիրելիս պետք է ուշադրություն դարձնել նրա աշխատող մասի վրա:

Նկ. 3-ում ցույց է տրված խառատային անցահատ, ուղիղ աշ կրտրիչը: Կտրիչի աշխատող մասը (գլխիկը) սահմանափակված է երեք մակերեսությներով՝ առջևի, ետևի զիխավոր և ետևի օժանդակ: Կտրող եղրեն ստացվում են երեք հարթությունների փոխհատման հետեանքով: Գլխավոր կտրողը կարող է գրանցված լին առաջանակությունը, իսկ օժանդակը կամ թործիչը, ունեն ետևի երկու օժանդակ մակերեսույթը, որի հետեանքով դրանք ունեն երկու օժանդակ կտրող եղրը: Կտրիչների կառուցվածքն ու երկրաչափությունն ուսումնասիրելիս անհրաժեշտ է ուշադրություն դարձնել այդ կտրերոր հանգամանքի վրա և յուրացնել համապատասխան մակերեսությների դերը: Գլխավոր և օժանդակ կտրող եղրին հատման կետը կուշտ է կտրիչի գագաթ:

Քննարկենք առջևի մակերեսույթի դերը: Առջևի մակերեսույթը կուշտ է այն մակերեսույթը, որի վըրացով սահմելով գուրս է դալիս աշխատանքի ընթացքում առաջացող տաշելը: Առջևի մակերեսույթի վրա կտրվող շերտը գեֆորմացիայի է ենթարկվում և վեր է տժ վում տաշելի, դիֆորմացման ահսակարարությունը կազմում է, միշտն հաշվով, մոտ 150 Վ/մ² կամ 15 տոննա 1 ամ² վրա: Այդպիսի մեծ բնանվածքի կարևոր է դիմանալ միշտ մեծ ամրություն ունեցող դործիքի աշխատող մասը պատրաստում են մեծ ամրությամբ օժանդակ միաված միաված գործիքապողաբանից կամ կարծր միահայւածքից:

Անդրամանական է ուշադրություն դարձնել բարձրորակ գործիքապողաբանի շերտիկները ունեցող կտրիչների և կարծր միահայւածքի բազմահամար, չփերասրվող շերտիկներով, կտրիչների վրա:

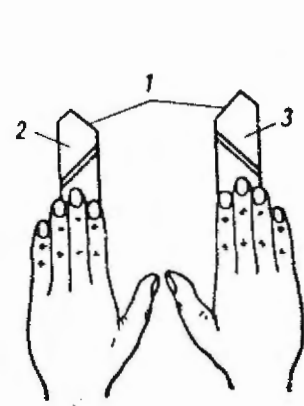


Նկ. 3. Խառատային ուսումնասիրելի աշխատող մասի առաջերը:

1—գլխիկ, 2—օժանդակ կտրող եղր, 3—գլխավոր կտրող եղր, 4—առջևի մակերեսույթ, 5—կալիչ, 6—ետևի գլխավոր մակերեսույթ, 7—կտրիչը դաշտավայր, 8—ետևի օժանդակ մակերեսույթ

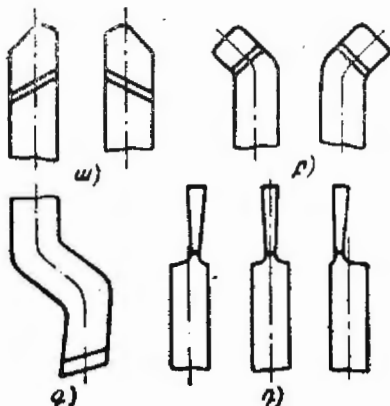
Կտրիչների դասակարգությունը: Կտրիչները դասակարդվում են ըստ մատուցման ուղղության, ըստ զլխիկի ձևի և դիրքի:

Մատուցման ուղղությանը համեմատ, կտրիչները լինում են աշ և ձափ: Նկ. 4-ում ցույց է տրված կտրիչների որոշման մեթոդը ըստ մա-



Նկ. 4. Կտրիչների որոշումը ըստ մատուցման ուղղության:

1—զլխավոր կտրող եղբեր,
2—ձափ կտրիչ, 3—աշ կտրիչ



Նկ. 5. Կտրիչների որոշումը ըստ զլխիկի ձևի և դիրքի:

- ա) ուղիղ կտրիչներ,
- բ) ծալած կտրիչներ,
- գ) ծուծ կտրիչներ,
- դ) ձգած զլխիկներ.

Առողջություն: Այս կտրիչները եւրիշում են այն կտրիչները, որոնց զլխավոր կտրող եղբն բնկնում է բռնի մասի կողմբ՝ եթև աշ ձեռքի ափը կրտրիչի վրա զնիչիս մատների ուղղված լինելու դեպքի կտրիչի դադարիչը: Զախ կտրիչները կոչվում են այն կտրիչները, որոնց զլխավոր կտրող եղբն բնկնում է բռնի մասի կողմը, երբ ճիշյալ ձեռի ձեռքի ափն է դրվում կտրիչի վրա: Խառաւային հաստոցների վրա աշ կտրիչներով աշխատում են աշից գետի ձափ (հաստցի առջեկի թամբի ուղղությամբ), իսկ ձախ կտրիչներով՝ ձախից գետի աշ հաստցի եանի թամբի ուղղությունում:

Ըստ զլխիկի ձևի և դիրքի, կտրիչները լինում են (Նկ. 5) ուղիղ (ա), ծալած (օտօղնության) (բ) և ծուծ (ազօղնության) (գ): Բացի դրանց, նրանք սառարաժանվում են ձգած (օտթյանության) (դ) և սովորական զլխիկներով կտրիչների (տե՛ս նկ. 3):

Կտրիչների անկյունները: Կտրիչի աշխատող մասը սրվում է երեք շարթությամբ (առչեկի, ետքե զլխավոր և ետքե օժանդակ): Սրման հետաքանով ստացվում են անկյուններ: Դրանք անհրաժեշտ են նյութերի կտրման միջոցով մշակման բարձր արտադրողականությունն ապահովելու համար: Անկյունների շափման (հաշվանքի) համար հետաքանակային բարյություններ՝ հիմնական հարթությունը և կտրման հարթությունը, որոնք ցույց են տրված նկ. 6-ում: Այսուհեղ նշված են նաև զետալի երկք մակերեսներ՝ մշակվող մակերեսը (1), կտրման մակերեսով (2) և մշակված մակերեսը (3):

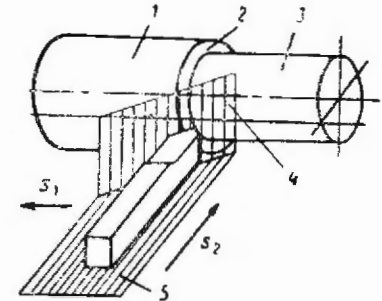
Կտրման հարթությունը և նիշը կազմում է այն հարթությունը, որն անցնում է կտրիչի զլխավոր կտրող եղբով և շղափող է կտրման մակերեսովին:

Հիմնական հարթությունը կոչվում է այն հարթությունը, որը գուգածն է կտրիչի երկայնական և լայնական մատուցումների ուղղություններին:

Կտրիչի անկյունները բաժանում են երկու խմբի՝ զլխավոր և օժանդակ: Նկ. 7-ում բերված է կտրիչի աշխատող մասը՝ անհրաժեշտ հատվածքներով, որն ուղարկած է զարդարության մատուցումները:

Կտրիչը գլխավոր անկյունները շափման համար հատող հարթության վրա, որն ուղարկած է զարդարության վրա, կտրիչի զլխավոր կտրող եղբի պրայեկցիային՝ հիմնական հարթության վրա (Նկ. 7 ա, բ):

Գլխավոր առջեկի անկյունը (7) կոչվում է այն անկյունը, որը կաղմվում է կտրիչի առջեկի մակերեսով և նրա զլխավոր եղբով անցնող ու կտրման հարթության ուղղահայաց հարթությամբ: Այն կտրող է լինել զրական (Նկ. 7, բ), հավասար զրոյի (Նկ. 7, գ) կամ բացասական (Նկ. 7, դ):



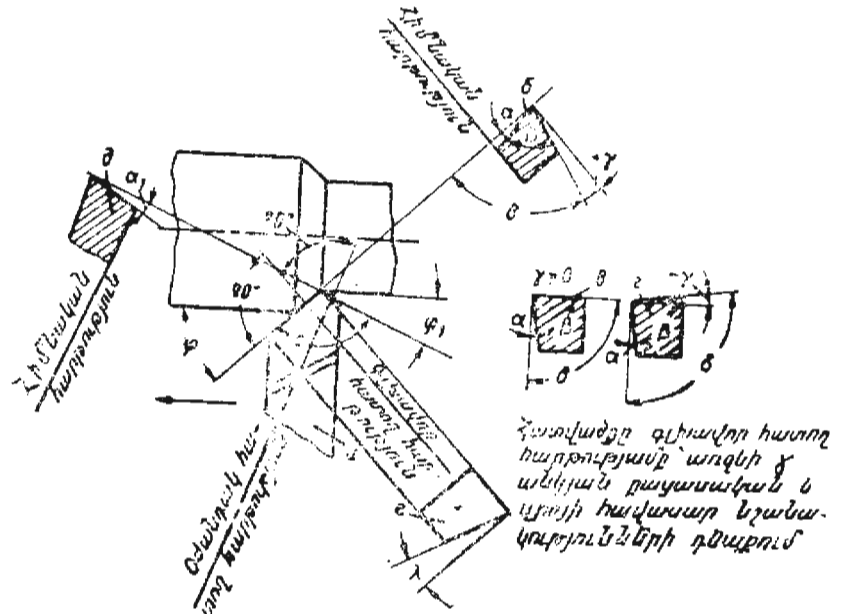
Նկ. 6. Կտրիչի զլխավոր անկյունների ուղղման ելակետային հարթությաններ:

1—ծալած մակերեսովի, 2—կտրուած մակերեսովի, 3—մշակված մակերեսովի, 4—կտրման հարթություն, 5—հիմնական հարթություն: S_1 —երկայնական մատուցումների ուղղություն, S_2 —լայնական մատուցումը, S_3 —զարդարության ուղղություն:

Գլխավոր ետևի անկյունը (χ) այն անկյունն է, որը կազմվում է կտրիչի գլխավոր ետևի մակերեսութով և կտրման հարթությամբ:

Կտրման անկյուն (δ) կոչվում է այն անկյունը, որը կազմվում է կտրիչի առջևի մակերեսութով և կտրման հարթությամբ:

Սրության անկյուն (β) կոչվում է այն անկյունը, որը կազմվում է կտրիչի առջևի և գլխավոր ետևի մակերեսությներով:



Ակ. 7. Խառատային անցահատ կտրիչի գլխավոր և օժանդակ անկյունները

Օժանդակ անկյուններ և հատակագծի անկյուններ: Օժանդակ անկյունների ստացման համար անհրաժեշտ է օժանդակ կտրող եղբայր համել օժանդակ հատող հարթությամբ, ինչպես այդ ցույց է տրված նկ. 7-ում: Այդ հատվածը պետք է ուղղահայաց լինի օժանդակ կտրող եղբայր սրբութեային՝ հիմնական հարթության վրա:

Օժանդակ ետևի անկյունը (χ) այն անկյունն է, որը կազմվում է օժանդակ ետևի մակերեսութով և օժանդակ կտրող եղբայր անցնորդ, հիմնական հարթությանն ուղղահայաց հարթությամբ (նկ. 7, Ն):

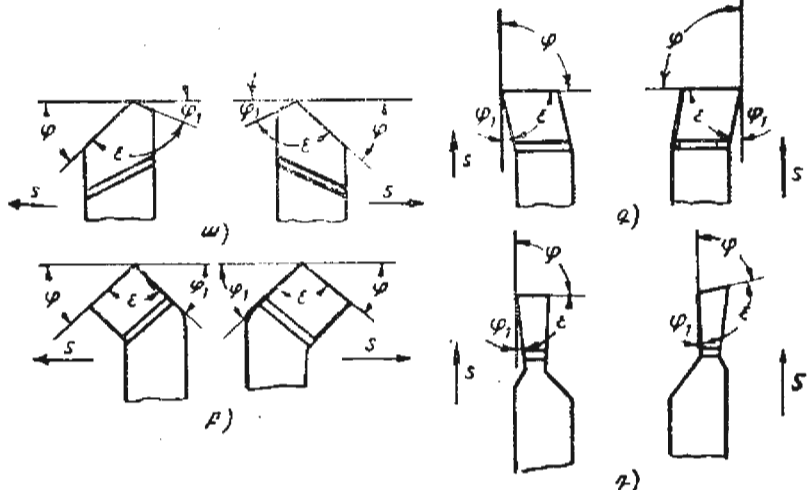
Հատակագծի գլխավոր անկյուն (φ) կոչվում է այն անկյունը, որը կազմվում է հիմնական հարթության վրա կտրիչի գլխավոր կտրող եղբայրի պրոյեկցիայով և մատուցման ուղղություններով:

Հատակագծի օժանդակ անկյունը (φ_1) կոչվում է այն անկյունը, որը կազմվում է հիմնական հարթության վրա կտրիչի օժանդակ կտրող եղբայրի պրոյեկցիայով և մատուցման ուղղություններով:

Նկ. 8-ում ցույց են տրված անցահատ (ա, թ), ճակատատաշ (թ) և կտրահատ (թ) կտրիչների անկյունները հատակագծում:

Կտրիչի գլխավոր անկյունը (φ) կազմվում է հիմնական հարթության վրա կտրող եղբայրի պրոյեկցիայով:

Կտրիչի օժանդակ անկյունը (φ_1) կազմվում է գլխավոր կտրող եղբայրի դադարձով հիմնական հարթությանը զուգահեռ տարված գծի միջև ընկած անկյունը:



Ակ. 8. Խառատային կտրիչների հատակագծի անկյունները.

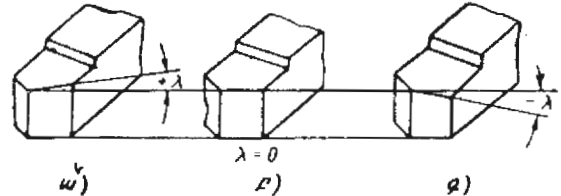
ա) անցահատ ուղիղ, թ) անցահատ ժայռած, թ) ճակատատաշ, շ) կտրահատատաշ

Այն շափումը է գլխավոր կտրող եղբայր անցնող և հիմնական հարթության ուղղահայաց հարթության վրա: Նկ. 7, գ-ում ցույց է տրված և անկյունը զիմավոր ետևի մակերեսութիւնը կողմից: Կտրիչի գլխավոր կտրող եղբայրի թեքման անկյունը (λ) կարող է լինել դրական (ա), բացասական (թ) և հավասար զրոյի (թ) (նկ. 9):

Մենք քննարկեցինք կտրիչների երկրաչափությունը, կոորդինատային հարթությունները և որոշ տարրերի դերը:

Երտադրության ռեալ պայմաններում կտրիչների աշխատող մասի երկրաչափությունն առաջարկում են տեխնոլոգիաները՝ հաշվի առնելով մի-

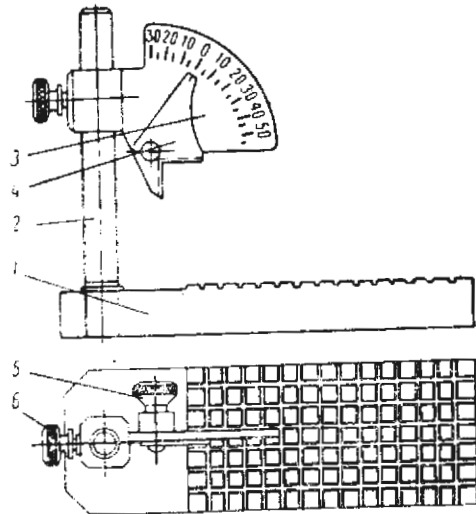
շարք գործուները: Գործիքային արտադրամասը պատրաստում է այդ կտրիչները: Տեխնիկական վերահսկողության բաժինը պարագաներ է բառուգել, թե արդյոք կտրիչի անկյունների մեծությունները համապատասխանում են գծագրի վրա ցույց տրված մեծություններին: Անկյունների չափման համար պահանջվում են հատուկ սարքեր՝ անկյունաշա-



Նկ. 9. Գլխավոր կտրող եզրի թերման անկյուններ

իչը: Քննարկենք անկյունների չափման համար կիրառվող անկյունաշատիչի հիմնական կոնստրուկցիաները:

Պրիզմայած կտրիչների անկյունների չափման անկյունաշափ: Ան-



Նկ. 10. Պրիզմայած կտրիչների անկյունների չափման անկյունաշափ

ռեկոռդարվում է պատուակով (5): Նկ. 11-ում ցույց է տրված խառապաշին անցածառ կտրիչի առջևի անկյան չափումը:

Պրիզմայած կտրիչների չափման ունիվերալ անկյունաշափ: Ունիվերսալ անկյունաշափը նախատեսված է կտրիչի առջեխ (γ), ետքի գլխավոր (τ) ու ետքի օժանդակ (α₁), հատակագծի գլխավոր (β) ու հատակագծի օժանդակ (φ₁) և գլխավոր կտրող եզրի թերման (γ) անկյունների չափման:

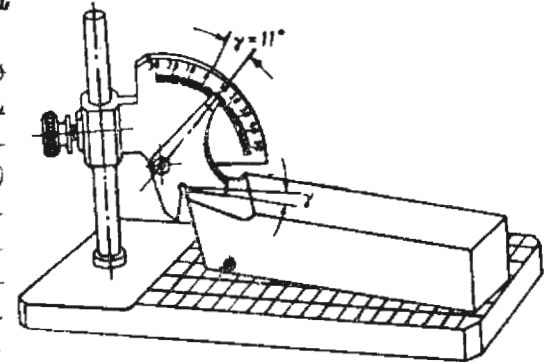
Համար:

Անկյունաշափը կազմված է (նկ. 12) հիմքից (1), կանգնակից (2), որով տեղափոխվում է բլոկից (3) և շափիչը քանոններ (4) ունեցող երեք նշանառականակներից բաղկացած հարմարանքը: Այդ հարմարանքը կանգնակի վրայով տեղափոխվում է երիթային ակոսով, պատվում է կանգնակի շուրջը և սենորից (6) ամրացվում է բարձրության ցանկացած դիրքում: Նշանառակների չափիչ եղբերն ունին չափվող մակերեսովթի նկատմամբ դրանք անհրաժեշտ դիրքում սենորակայող պատուակներ: Անկյունաշափի հիմքին կառողըրդիչ քանոն (5), որը ծառայում է կտրիչի ճիշտ աեղակայման համար գ և φ₁ անկյունները չափելիս:

Առջեկի անկյունը (γ) չափելու համար օգտագործվում է շափիչը քանոն (4) (նկ. 12, ա):

Քանոնը զլխավոր կտրող եզրին տեղադրվում է (աշքաշախով) ուղղահայաց՝ մինչև կտրիչի առջեխ մակերեսովթին հավելվը: Այդ գեպքում չափիչը քանոնի ցուցիչը, թերքելով դրայից գեպի ձախ, ցույց է տալիս γ անկյան դրական մեծությունը: γ-ի բացասական նշանակության դեպքում անկյան հաշվումը կատարվում է զրոյից գեպի աջ: Ետքի չ անկյան չափումը կատարվում է վերը նշվածի նման: Այս գեպքում չափիչը քանոնը տարվում է մինչև ետքի զլխավոր մակերեսովթի հատ լրիվ կոնսական մեջ մանելու: Չ անկյան մեծության հաշվումը կատարվում է զրոյից դեպի աջ:

Հատակագծի գլխավոր (τ) և օժանդակ (φ₁) անկյունների չափման համար կտրավում է շափիչը քանոն (4) (նկ. 12, թ): Կտրիչը տեղակայվում է հիմքի (1) վրա՝ մինչև ուղղորդիչը քանոնին հպվելը, իսկ նշանառական կանգնակի (2) վրա դրվում է անհրաժեշտ դիրքում՝ մինչև



Նկ. 11. Խառապային անցանուտ կտրիչի առջեկի անկյան (γ) չափումը

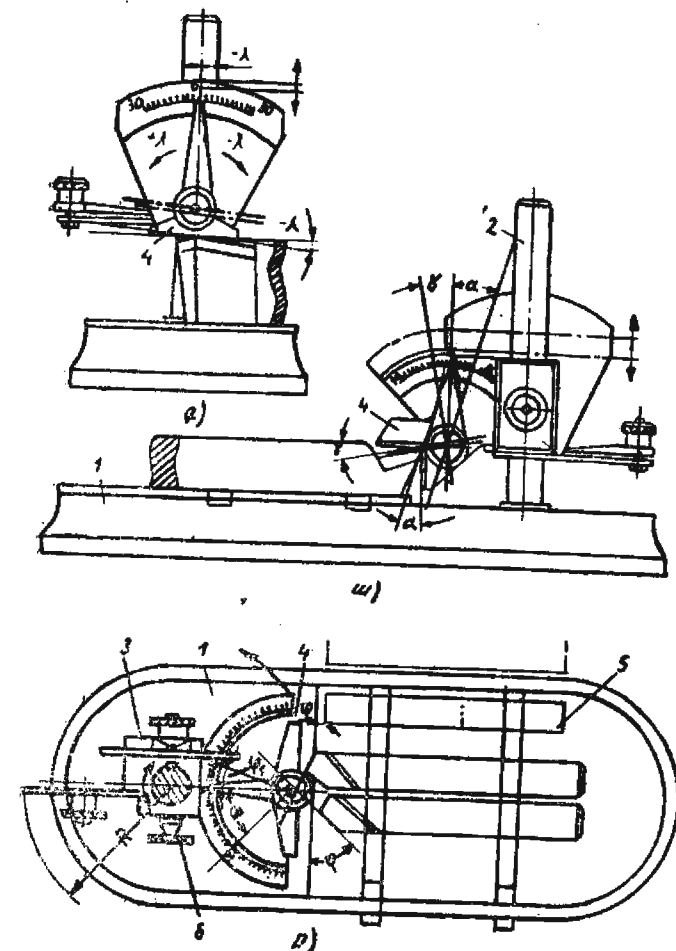
որ շափիչ քանոնը հպվի առաջին դեպքում գլխավոր կտրող եղբին, երկրորդ դեպքում օժանդակ կտրող եղբին: Վ անկյան հաշվումը կատարվում է զրոյից դեպի ձախ, իսկ Չ₁ անկյան հաշվումը՝ զրոյից դեպի աջ:

Գլխավոր կտրող եղբի թեքման անկյունը (Նկ. 1) շափելու համար օգտագործվում է շափիչ քանոնը (4): Նշատախտակները դրվում են կանդամիկ վրա անհրաժեշտ դիրքում՝ մինչև կտրիչի գագաթին հպվելը: Այդ ժամանակ գլխավոր կտրող եղբը զուգահեռ է լինում քանոնի շափիչ հարթությանը: Զափիչ քանոնը գլխավոր կտրող եղբին հպվելու ժամանակ ցուցիչը ցույց է տալիս զլիտուվոր կտրող եղբի թեքման աւելյան (Նկ. 1) մեծությունը և անկյան մեծությունը աջից դեպի զրո հաշվելիս ստացվում է բացասական, իսկ զրոյից դեպի ձախ՝ դրական:

Հնեանակային անկյունաչափը (Նկ. 13) կազմված է իրանից (8), որի հիմքին ամրացված է շափիչ քանոն (9): Իրանի մեջ, առջևի և ետևի պատերի միջև պտտվում է սունին (4), որի վրա ամրացված է բեռով (6) սկավառակը (3): Սկավառակի սոնու վրա արտաքին մասից ամրացված է սլաք (5), որը պտտվում է սկավառակի հետ: Սկավառակը բեռով շնորհանդիպ կատարելիս սլաքով հաշվում են թեքման անկյունը ըստ առջևի կափարիչի (7) վրա աստիճանավորված նշատախտակի: Սկավառակը (3) ոչ աշխատանքային դիրքում դրվում է արդելակիչ հարմարանքով, որի կոճակը (1) սեղմում է սկավառակը պարուրած էսպանակի (2) ճնշման տակ: Զափիչիս սեղմում են կոճակը (1), որի շնորհիվ սկավառակը (3) բեռով (6) հետ ազատվում և հորիզոնի նկատմամբ տեղակայվում է ուղղաձիգ: Սարքի քանոնը թեքելիս իրանը նշատախտակի հետ շրջադարձվում է սկավառակի շուրջն անհրաժեշտ անկյունով՝ սլաքի ուղղաձիգ դրո դիրքի նկատմամբ: Անկյունը հաշվում են ըստ սարքի նշատախտակի: Այսպիսի անկյունաչափով միշտ շափումը կատարվում է հորիզոնական կամ ուղղաձիգ հարթությունից, որը ելակետային բազա է հանդիսանում հաշվում կատարելու համար: Սարքի նշատախտակը 45°-ի անկյան տակ բաժանվում է ութ մասի, որը հնարակարգություն է տալիս հաշվումը կատարելու զրոյից՝ շափիչ քանոնի ցանկացած դիրքում:

Նկ. 14-ում ցույց է տրված անկյան (γ) շափումը: Այս անկյունաչափով կարելի է շափել նաև ետևի անկյունը (z), գլխավոր կտրող եղբի թեքման անկյունը (λ) և հատակագծի անկյունները (φ և φ₁):

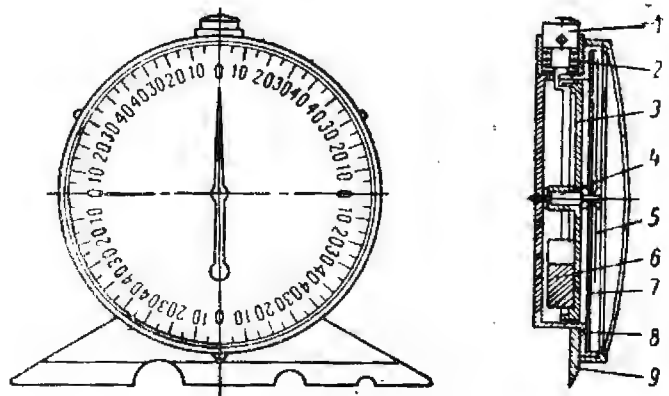
Անհիմեալ անկյունաչափ: Հատակագծի անկյունների (Փ, ζ₁ և ε) չափման համար կիրառվում է ունիվերսալ անկյունաչափը Նկ. 15-ում ցույց է տրված և անկյան շափումը ունիվերսալ անկյունաչափով:



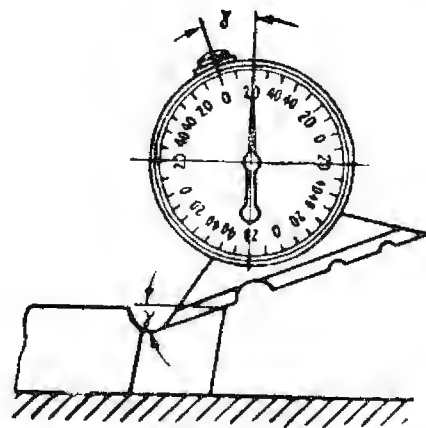
Նկ. 12. Պրիզմայած կտրիչների անկյունների շափման ուժիվեւալ անկյունաչափ.

Ա—Շ և անկյունների չափումը, Բ—Չ և Չ₁ անկյունների չափումը, Գ—Լ անկյան չափումը

Կողավոր բուրգով կատարվող շափումը: Կողավոր բուրգը մասսական և սերիական արտադրության մեջ ծառայում է կտրիչների ետևի անկյունների մեծություններն ստուգելու համար: Նկ. 16-ում ցույց է տրված կողավոր բուրգով ետևի անկյան շափման օրինակ:



Նկ. 13. Ձեռանուկային անկյունունչափ

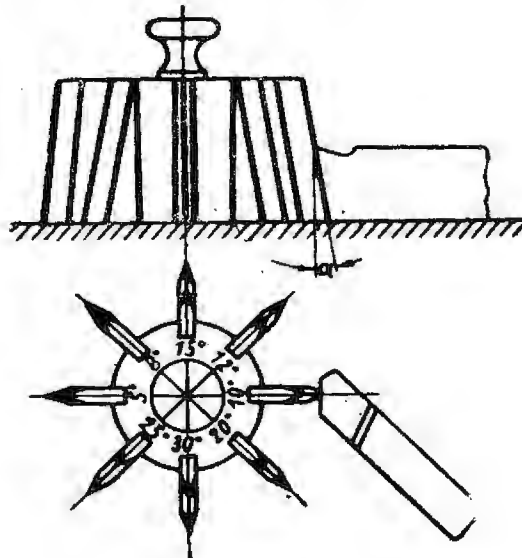


Նկ. 14. Առջեխ անկյան չափումը հնանակային անկյունունչափով



Նկ. 15. Հատակաղծի զիտավոր անկյան (շ) չափումը անիվերսալ անկյունունչափով

1. Ուսումնասիրել կտրիչների հիմնական կոնստրուկցիաները, հատուկ ուշադրություն դարձնելով աշխատող մասին՝ այդ մասի կառուցվածքին, շերտահիների ամրացման մեթոդներին, առջևի մակերևույթի ձևին, կտրաղ եզրերին և այլ տարրերին:

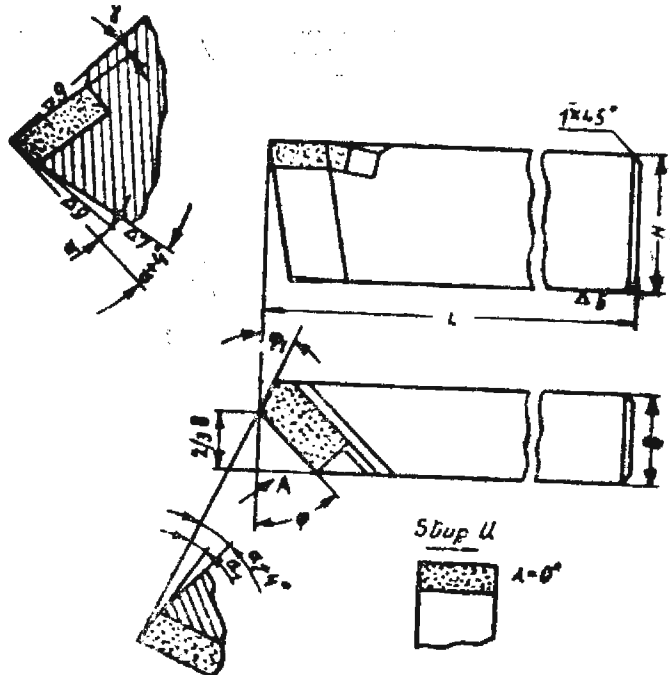


Նկ. 16. Եռեխ անկյան (շ) չափումը կողավոր բուրգով

Դասախոսի ցուցումով նկարել երեք կտրիչների էսքիզներ: Կատարել որանց չափումը: Չափման արդյունքները դրառել № 1 արձանագրության մեջ:

Արձանագրություն № 1

Կտրիչի համարը	Կտրիչի անկյունները աստիճանով				
	Կտրիչի անկյանումը	զիտավոր	կտրացած	հատակաղծի	օժանդակ
Աղյահատ	0°	0°	0°	0°	0°
Հակատատաշ	—	—	—	—	—
Կտրահատ	—	—	—	—	—



Ակ. 17. Խառատային անցանցություն կուրշ

2. Կազմել մեկ կորիշի գծագիրը՝ նրա անհրաժեշտ հատվածքներով, և դնել բոլոր անկյունային ու գծային չափերը, ինչպես այդ ցույց է տըրպած նկ. 17-ում:

U 2 JUN 1966 G P N 2

ՄԵՏԱԴՆԵՐԻ ԴԵՖՈՐՄԱՑԻԱՅԻ ՊՐՈՑԵՍ

Կտրման միջոցով մետաղների մշակման պրոցեսն ուղեկցվում է առածքական և պլաստիկ դեֆորմացիաներով: Պլաստիկ դեֆորմացիաների ազդեցության գոտում փոխվում են մետաղների հատկությունները՝ մըշակված մակերեսույթի կարծրությունն ավելի է մեծանում, քան սկզբանայութի կարծրությունն է: Մշակված մակերեսույթի դեֆորմացիայի հետ մեկտեղ տեղի է ունենում կտրվող շերտի դեֆորմացիա: Կտրվող շերտի պլաստիկ դեֆորմացիայի հետևանքով տաշեղը կծկվում (կարճանում) է:

Դեփորմացման գոտու մեծությունը և տաշեղի կծկումը կախված են մշակվող նյութի պլաստիկության աստիճանից, կտրման ռեժիմներից (կտրման արագությունից, մատուցումից, կտրման խորությունից) և կրառուղ դորձիքի աշխատող մասի երկրաչափությունից:

Տաշեղի կծկումը փոփոխեց
լու համեմատ փոփոխվում էն
նաև կտրման ուժեղը, հզու-
րությունը, մշակված մակե-
րեսույթի գեֆորմացիան և այլ
գործուներ:

Հետևաբար, տաշեղի կրծ-
կումը և գեֆորմացման գո-
տու մեծությունը հայտնի շա-
փով որոշում են կտրման մի-
ջոցով մշակման գրացեսի բր-
նութիւն ու պրոցեսի բնթացքի
ինտենսիվությունը։ Աւստի-
տաշեղի կծկման ու դեֆորմա-
ցիայի ուսումնասիրությունը
հետաքրքրություն է ներկա-
լազնում։

Տաշեղի և երկարությունը փոքր է կտրվող շերտի Լ₁ երկարությունից (L₁>L նկ 18), առաջեղի ա₁ հաստությունը մեծ է կտրվող շերտի հաստությունից՝ ա (a₁>a), իսկ տաշեղի ել լայնությունը մեծ է կտրվող շերտի ել լայնությունից (b₁>b):

Կտրվեղ շերտի երկարության և տաշեղի երկարության հարաբերությունը կռավում է տաշեղի երկարությանը՝ դուքսակից՝

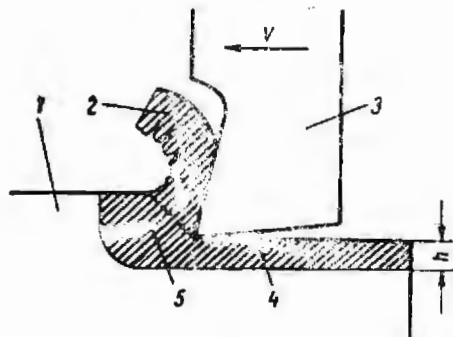
$$K = -\frac{L}{L_0} :$$

Նկ. 19-ում ցույց է տրված կտրման միջոցով մետաղների մշտկման ժամանակ տեղի ունեցող դեֆորմացման գոտու ուսումնասրման կայանքի ընդհանուր տեսքը։ Կայանքը մոնտաժված է փրեզիլ հաստոցի միջնաւորագույն պահումունքում։



Նկ. 19. Դեֆորմացման զոտու սառմնախթման կայտնք

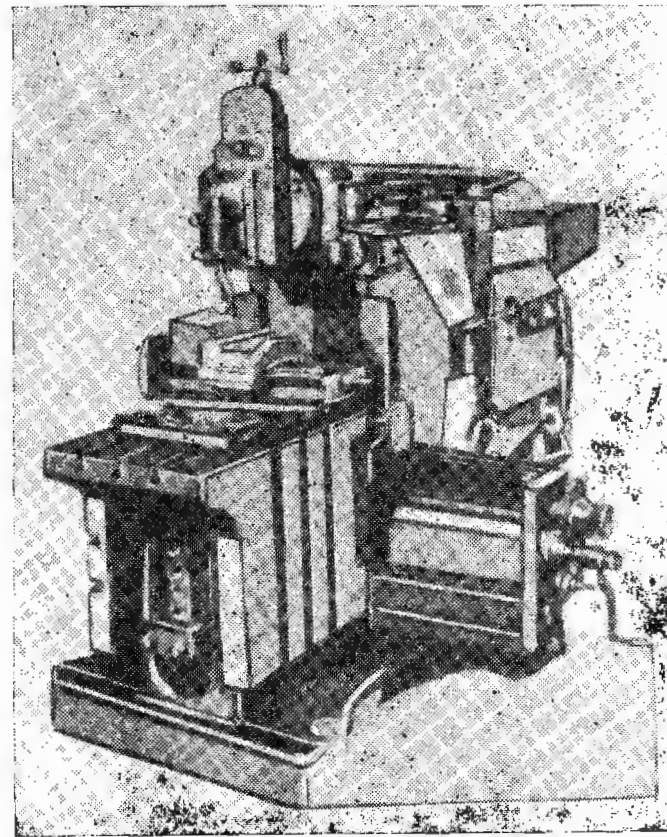
Նկ. 20-ում ցույց է տրված ազատ կտրման ժամանակ տեղի ունեցող գեֆորմացման գոտու տարածման սկզբունքային սխեման (ղեֆոր-



Նկ. 20.Առջեկի աճկյան ազդեցությունը կտրման դժվարությունը և առջեկի աճկյան ազդեցությունը կտրման դժվարությունը

Վրա կտրիչի առջեցների մեծությունը որոշելու համար, Փորձերը կատարվում են $\gamma_1=0^0$, $\gamma_2=10^0$, $\gamma_3=20^0$, $\gamma_4=30^0$ և $\alpha=10^0$ դեպքերի համար:

Այդ փորձերում փոփոխական մեծովիզյուններ են միայն առջեկի անկյունները, մնացած բոլոր գործոնները հաստատում են: Փորձերը կատարվում են լայնական-ուսանողիչ հաստոցի վրա (նկ. 21):



Նկ. 21. Կայնական-ռանդիշ հաստոց

Նկ. 22-ում ցույց է տրված հանձնարարված ծրագրով ռանդման ենթարկվող նախապատրաստվածքը: Նախապատրաստվածքի երկարությունը՝ $L=200$ մմ, կտրվող շերտի հաստությունը՝ $a=0,5$ մմ, կրտրվող շերտի լայնությունը՝ $b=3$ մմ: Կտրված տաշեղի երկարությունը չափվում է ճկում չափիչով (թելով, հաղորդվալարով) և մասշտաբային բանոնով, իսկ արդյունքները գրանցվում են 2, արձանագրության մեջ:

Փորձերի երկրորդ փուլը իրականացվում է տաշեղի կծկման վրա կտրման արագության ազդեցությունը որոշելու համար։ Փորձերը կատարվում են ուղղաձիգ-ֆիզիկական հաստոցի վրա, որը ցույց է տրված նկ։
23-ում։



Նկ. 22. Ռանդման ժամանակ օգտագործվող նախապատճենավաճա՞ն

Ֆրեզումը կատարվում է՝ մԵկ առամ ո նեզող՝ ճակասալիքն ֆրեզով
 $v_1=50$ մ/րոպի, $v_2=110$ մ/րոպի, $v_3=220$ մ/րոպի և $v_4=384$ մ/րոպի
 կարման արագության, $t=2$ մմ կտրման չափանիւն խոսաթյան, $S_z=1,5$
 մմ տառմի համար ժամանական և $L=100$ մմ ֆրեզման լայնության
 դեպքում: Մատուցումը՝ S_z ՝ կարգող չելափառության հետ կապված է
 հետեւալ հավասարումով՝

$$S_z = \frac{v}{\sin \varphi} :$$



Նկ. 23. Աղղաձիք-ֆրեզիչ հաստոցի վրա տեղակայակած միատամ նակատառաշ ֆրեզ

Սովորաբար, հատակագծում գլխավոր անկյունը՝ $\varphi=45^\circ$, կտրման
 արարեր արագություններով փորձեր կատարելիս պետք է յուրաքան-
 չչուր փորձից վերցնել 2—3-ական տաշեղ, կատարել շափումներ և ար-
 ացունքները գրանցել № 2, բ արձանագրության մեջ: Տաշեղի երկայնա-
 կան կծկման գործակիցը հաշվվում է $K=\frac{L}{L_1}$ բա: ածեռով:

Արձանագրություն № 2, ա

Տաշեղի կծկման վրա առնելի անկյան ազդեցության հատագույնը մը					
Կարիչների անկյունները առանց առանց առանց		Կարիչների անկյունները առանց առանց առանց		Բարակ հազարդա- լարի հծկման սրացումը	
Փրեզիչ համարի կամացը	Առանց առանց առանց առանց	Կարիչների անկյունները առանց առանց առանց	Կարիչների անկյունները առանց առանց առանց	Կարիչների անկյունները առանց առանց առանց	Կարիչների անկյունները առանց առանց առանց
φ_1	α_1	β_1	γ_1	β_1	K
φ_2	α_2	β_2	γ_2	β_2	$\frac{L}{L_1}$
φ_3	α_3	β_3	γ_3	β_3	K
φ_4	α_4	β_4	γ_4	β_4	$\frac{L}{L_1}$

Այստեղ L -ը ֆրեզի ատամի անցած ճանապարհի երկարությունն
 է, որը հավասար է մշակվող նախապատճենավածքի աղեղի երկարու-
 թյանը (նկ. 24), իսկ L_1 -ը տաշե-
 ղի երկարությունն է, որը շափ-
 ված է տաշեղի կորիչին կից
 մակերեսովը:

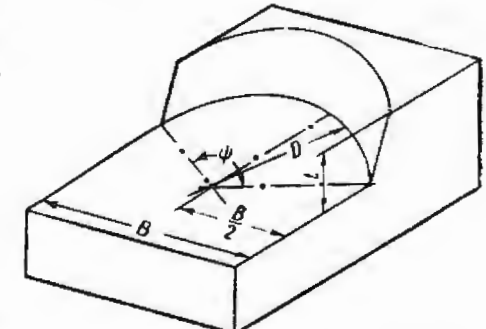
Աղեղի երկարությունը հաշվում
 են ըստ հետեւյալ բանաձեկ՝

$$L = \frac{\pi D \varphi}{360},$$

որտեղ D -ն ֆրեզի արամագիծն
 է մմ-ով:

Տաշեղի երկարությունը շափ-
 վում է թելով, երբեմն տաշեղի
 ամբողջ երկարությունը հարավոր չէ շափել: Այդ գեպքում դիմում են
 տաշեղի երկայնական կծկման գործակցի որոշման կշռային մեթոդին:

Նկ. 24. Նախապատճեն նակատային
ֆրեզով մշակելու ընթացքում



Տաշեղի կծկումը որոշելու կշռային մեթոդը: Կտրվող շերտի դեֆորմացման որոշ պայմաններում տաշեղն այնպես խիստ է ոլորվում, որ նրան դժվար է ուղղել և երկարությունը չափել: Այդ գեպքում տաշեղի երկայնական կծկումը որոշելու համար օգտվում են կշռային մեթոդից:

Այդ մեթոդը կայանում է հետևյալում. վերցնում են 5—10 մմ երկարությամբ տաշեղի կտոր, մաքրում ճակատները և կըշռում անալիտիկ կշեռքների վրա (բարձր ճշգրտություն ունեցող կշեռքների վրա) և հաշվում տաշեղի եծկման գործակիցը հետևյալ բանաձևով՝

$$K = \frac{Q}{\gamma_{\text{տե}} \cdot l_1 \cdot s \cdot t},$$

որտեղ Q -ն տաշեղի կտորի կշեռքն է մզ-ով,

$\gamma_{\text{տե}}$ -ը՝ տաշեղի մետաղի տեսակարար կշիռը $\Phi/\text{սմ}^3$ -ով,

l_1 -ը՝ տաշեղի երկարությունը մմ-ով,

t -ն՝ կտորման իրուրելունը մմ-ով,

s -ը՝ մատուցումը մմ-ով:

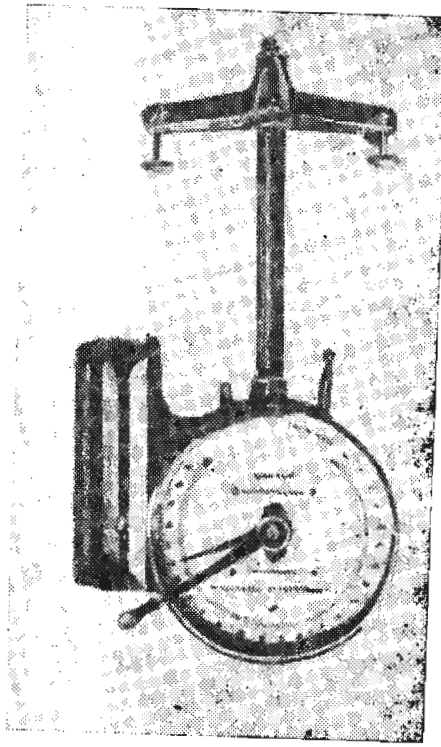
Նկ. 25-ում ցույց է տրված

տորսիոն կշեռք, որն օգտա-

գործում են տաշեղը կշռելու համար: Կշռելուց առաջ կշեռքն անհրաժեշտ է նախապատրաստել:

Կշեռքների նախապատրաստման մեջ մտնում է հետևյալը: Կշեռքները պարուակների միջոցով տեղակայում են ըստ հարթաշափի (յօքանենք):

Դրանից հետո ամրացման ձողիկը տեղաշարժելով դեպի աջ ազատում են լժակը: Կշեռքի ցուցիչը, ձգման ձողիկի օգնությամբ, զնում են զրոյի վրա: Հավասարակշռության ցուցիչը համատեղում հն հավասա-



Նկ. 25. Տորսիոն կշեռք

քակշռության խաղի հետ՝ պատաելով ստուգաճշտման գլխիկը: Կշռման համար անհրաժեշտ է բացել կափարիչը, ձողիկի բաժակի մեջ զնել կրշռովով տաշեղը և փակել կափարիչը, ամրացման ձողիկը տեղաշարժել դեպի աջ և ազատել լժակը: Այնուհետև ձգման ձողիկի միջոցով շրջել կշեռքի ցուցիչը մինչև հավասարակշռության ցուցիչը:

Ավելի ճշգրիտ արդյունքներ ստանալու համար կշռելու ժամանակ անշրջաժեշտ է տաշեղը կշեռքի վրա զնել միայն պինցետով: Զավում և կշռում են տաշեղի ոչ պակաս երեք կտոր: Որպես վերջնական արդյունք բնունում են K մեծության երեք արժեքների միջին թվարանականը: Հաշվարկի արդյունքները դրառել № 2, բ արձանագրության մեջ:



Նկ. 26. Անզեկ անկյան ազդեցությունը կծկման գործակի վրա

Արձանագրություն № 2, բ

Կտրիչի երկրաչափությունը՝ $x \dots \dots \gamma \dots \dots \varphi \dots \dots \varphi_1 \dots \dots \lambda \dots \dots \tau \dots \dots \delta \delta$

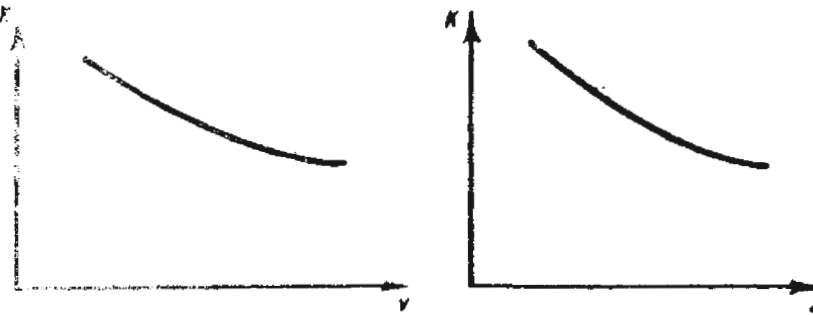
Ֆրեզի տրամագիծը՝ D $\dots \dots \text{մմ}$, կտրման խորությունը՝ t $\dots \dots \text{մմ}$:

Ֆրեզման լայնությունը՝ B $\dots \dots \text{մմ}$,

Մշակող նյութը՝ HB:

Կծկման որոշումը	
Բարակ հակոբաւարոկ	Կշռումնի
$Q = \frac{\gamma_{\text{տե}} \cdot l_1 \cdot s \cdot t}{\text{մմ}^3/\text{տուրունուկ}}$	$K = \frac{l}{L_1}$
$Q = \frac{\gamma_{\text{տե}} \cdot l_1 \cdot s \cdot t}{\text{մմ}^3/\text{տուրունուկ}}$	$K = \frac{\gamma_{\text{տե}} \cdot l_1 \cdot s \cdot t}{\text{մմ}^3/\text{տուրունուկ}}$
$Q = \frac{\gamma_{\text{տե}} \cdot l_1 \cdot s \cdot t}{\text{մմ}^3/\text{տուրունուկ}}$	$K = \frac{\gamma_{\text{տե}} \cdot l_1 \cdot s \cdot t}{\text{մմ}^3/\text{տուրունուկ}}$
$Q = \frac{\gamma_{\text{տե}} \cdot l_1 \cdot s \cdot t}{\text{մմ}^3/\text{տուրունուկ}}$	$K = \frac{\gamma_{\text{տե}} \cdot l_1 \cdot s \cdot t}{\text{մմ}^3/\text{տուրունուկ}}$

Փորձերի երրորդ փուլը: Այս փուլի փորձերը կատարվում են տաշեղի կծկման վրա մատուցման մեծության ազդեցությունը որոշելու համար: Փորձերը կատարվում են ուղղաձիգ-ֆրեզի հաստոցի վրա (նկ. 23) մատուցումների հետևյալ արժեքների դեպքում՝ $S_{z1}=0,12$ մմ, $S_{z2}=0,24$ մմ, $S_{z3}=0,42$ մմ: Այդ փորձերում վիզովիսական մեծությունը է համարվում միայն մատուցումը, մնացած բոլոր գործոնները մնում են հաստա-



Նկ. 27. Կտըման առաջարյան ազդեցույնը կծկման գործակցի վրա

առն: Փորձերը կատարվում են աշխատանքի դեկավարի կողմից նշված նախապարաստվածքի նյութի վրա:

Փորձերի արդյունքները գրի առնել և 2, ը արձանագրության մեջ: և 2, ա և 2, բ արձանագրություններում գրի առնված և մշակված տվյալներով անհրաժեշտ է կառուցել $K=f(\gamma)$, $K=f(v)$, $K=f(S)$ օրինաչափությունները (տես նկ. 26, 27 և 28): Աշխատանքն ավարակեցն հետո անհրաժեշտ է անել համառոտ գրավոր եզրակացություն:

Խնդրություն ԱՇԽԱՏԱՆՔԻ ԿԱՏԱՐՄԱՆ ԱՌԱՋԱԴՐԱՆՔ

1. Ուսումնասիրել կատարվող աշխատանքի նպատակը, մեթոդիկան և տաշեղի կծկման հետազոտման ժամանակ օգտագործվող սարքավորումն ու շափիչ սարքը:

2. Կատարել կտրման գոտում մետաղների դեֆորմացման պրոցեսի դիտարկումներ և նկարել կտրվող շերտի՝ տաշեղի վերածման պրոցեսը (ֆրազմենտ):

3. Փորձնական հետազոտություններ կատարել տաշեղի երկայնական գործակի որոշման համար՝ կախված Վ կտրման արագությունից, չ մատուցումից, չ առջեկ անկյունից և մշակվող նյութի (պողպատ, չուգում

Նկ. 28. Մատուցման ազդեցույնը կծկման գործակցի վրա

և այլն) մեխանիկական հատկություններից՝ տվյալ աշխատանքում շարադրված մեթոդիկայի համաձայն:

4. Ստացված տվյալներով կառուցել փունկցիոնալ կախվածության գրաֆիկներ և տալ համառոտ գրավոր եզրակացություն կատարված աշխատանքի մասին:

Աշխատանք №3

ԿՏԲՄԱՆ ՈՒԺԵՐԸ ՇՐՋԱՏԱՇՄԱՆ ԺԱՄԱՆԱԿ

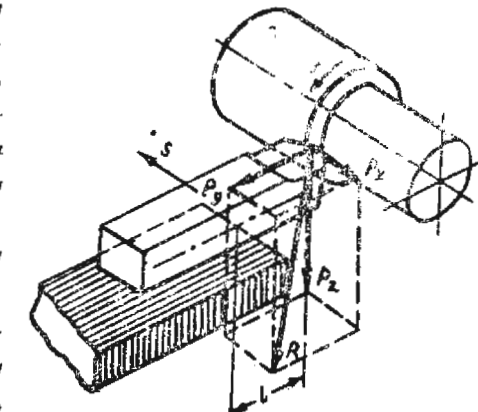
Շրջատաշման ժամանակ առաջացող ուժերն ազդում են կտրիչի, մշակվող նախապարաստվածքի, հաստոցի և հարմարանքների վրա: Ուժերի մեծությունը կախված է մշակվող նյութի ամրությունից, կտրիչի երկրաշափությունից, կտրման խորությունից և այլ գործոններից: Ուժերի մեծության և ուղղության գիտենալը անհրաժեշտ է հաստոցների, կտրող գործիքների, հարմարանքների, մշակվող դետալի ճշգրտության հաշվարկի և այլ ինժեներական հաշվարկների համար:

Տվյալ աշխատանքի նպատակն է՝

1) ծանոթանալ կտրման պրոցեսում ազդող ուժերի չափման սարքերի (գինամոմետրերի) հետ,

2) հմտանալ դինամոմետրի ստուգաճշտման մեջ,

3) որոշել կտրման խորության, մատուցման և արագության ազդեցությունը R համազոր կտրման ուժի բաղադրիչներ հանդիսացող P_z , P_y և P_x ուժերի վրա (նկ. 29):



Նկ. 29. R համազոր ուժի բաղադրումը P_z , P_y և P_x բաղադրիչների

1) ծանոթանալ կտրման պրոցեսում ազդող ուժերի չափման սարքերի (գինամոմետրերի) հետ,

2) հմտանալ դինամոմետրի ստուգաճշտման մեջ,

3) որոշել կտրման խորության, մատուցման և արագության ազդեցությունը R համազոր կտրման ուժի բաղադրիչներ հանդիսացող P_z , P_y և P_x ուժերի վրա (նկ. 29):

Համարակալությունը կատարվում է աշխատանքի մեջ՝ P_z , P_y և P_x ուժերի չափման սարքերը և դրանց սարուցանշառումը: Համարակալությունը կատարվում է աշխատանքի մեջ՝ համարական խմբերի հիմնական խմբերի հիմնավոլիկական և էլեկտրական շիղրավոլիկական գինամոմետրերը շահագործման ժամանակ հուսալի են, սակայն մեծ են, իներցիոն հակում ունեն տատանումների, նվազ զգացում են (հատկապես 100 կԳ-ից փոքր բեռնվածքների դեպքում):

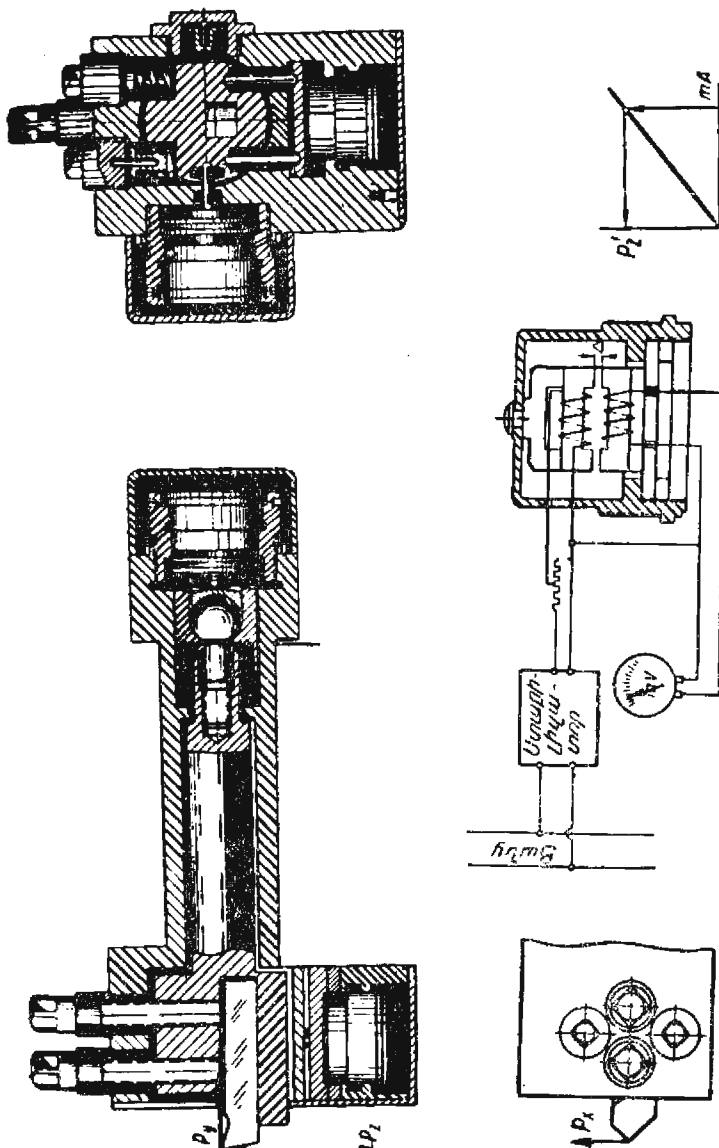
Էլեկտրական դինամոմետրերը կոմպակտ են, ցուցարերում են բարձր զգայնություն, իներցիոն չեն: Էլեկտրական դինամոմետրի հիմնական հանգույցը տվիչն է, որը փոքր առածքական գեֆորմացիաները փոխակերպում է փոփոխվող էլեկտրական մեծությունների: Դինամոմետրում կտրման ուժի չափման համար կիրառում են պյուզոէլեկտրական, էլեկտրակոնդենսատորային, մետաղալարե, էլեկտրակինդուկտիվ և այլ տվիչներ:

Նկ. 30-ում ցույց է տրված ինդուկտիվ տվիչով դինամոմետրի սխեմա: Կիրառվող բեռնվածքի ազգեցության տակ փոփոխվում է միջուկների միջև հեռավորությունը (Δ), որն առաջ է բերում մաղնիսային դիմադրության փոփոխում և, հետևաբար, հոսանքի ուժի փոփոխում շղթայում, որը զրանցվում է համապատասխան սարքով: Այդպիսի տվիչները դինամոմետրի մեջ տեղադրվում են P_x , P_y և P_z ուժերի ազգման ուղղությամբ: Էլեկտրակինդուկտիվ դինամոմետրերը պարզ են և հարմար են անհրաժեշտ է ունենալ P_x , P_y և P_z ուժերի փոփոխման դիագրամ, ապա սարքին կարելի է միացնել շենքային օսցիլոսկոպաֆի:

Քննարկենք էլեկտրակինդուկտիվ տվիչներով հռակոմպոնենտ ինաստալին դինամոմետրի ստուգա աճ շաման պրոցես:

Սառարար ժամանակ դինամոմետրն ամրացվում է (նկ. 31) չառուկ ստուգաձշտիչ սալին (1): Դինամոմետրում (10) կորիչի փոխարեն դնում են խորացումներ ունեցող հատուկ ձող (2), որի փոսիկին հենվում է կոնը (3): Խորացումների կենարունները, որոնք կիրառվում են ըստ P_x և P_z ուժերի ստուգաճշտման համար, պետք է դանվեն այդ ուժերի ազգման հարթության վրա և համապատասխան կարիչի գաղաթի դիրքին, այսինքն՝ կտրման ժամանակ կտրիչի մեկնվածքը (ՅԵԼԵՇ) դինամոմետրից և հենման կետից մինչև խորացումների կենարունների հեռավորությունը պետք է միատեսակ լինի: Այդ կատարվում է հատուկ չեանմուշի միջոցով, որն օգտագործում են կարիչը դինամոմետրում աեղակայելու և ամրացնելու ժամանակ:

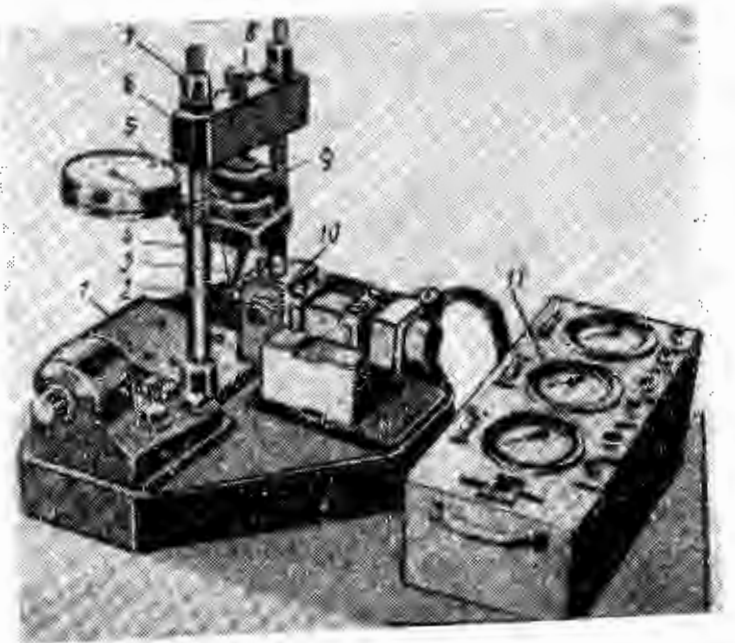
Հստ P_z ուժի դինամոմետրը սառարար ժամանակ (նկ. 31) սալի մեջ պատուակում են երկու կանգնակ (4), նրանց վրա հաղցնում են արագիրս (6), որը ներքեմից պահպում է զսպանակներով (9), իսկ վերեկից ամրացված է մանեկներով (7): Տրավերսի մեջ պատուակված է սեղմող հեղուս (8), որը հենված է ստուգի գինամոմետրի մխոցին: Քանալու միջոցով հեղուսը (8) պատուակելիս ստուգիչ դինամոմետրի (որը ցույց է տալիս, թե ինչպիսի բեռնվածք է տրվում այդ դեպքում) ու կոնի միջոցով P_z ուժի ուղղությամբ ձողի (2) վրա ստեղծվում է մի բեռնվածք, որը, ներգործելով էլեկտրակինդուկտիվ տվիչի վրա, փոփո-



Նկ. 30. Էլեկտրակինդուկտիվ սալին հարթությունը խորացումներ դինամոմետրի սխեմա

իսկամ է հոսանքը շղթայում. Հոսանքի մեծությունը ցույց է տալիս գալվանոմետրը (11):

Գինամոմետրի ստուգաճշտման պրոցեսը բառ Եւ ուժի (ակ. 2) Դ
յանում է հետեւյալում. գինամոմետրն էլեկտրական ցանցին միացնելիս
գալվանոմետրը (11) (որը ցույց է տալիս P_2 ուժի փոփոխությունը)
տեղակայում են զրո դիրքում: Այնուհետև պտուտակի (8) օգնությամբ
ստեղծում են 100 կՎ բեռնվածք, որը ազդում է ստուգի գինամոմետրի
(5) վրա: Դրանից հետո պտուտակի (8) գլխիկին 1-2 անգամ թեթև
(5) վրա:



Ակ. 31. Դիմանութեակ ստուգանշտամբ բառ՝ P_2 ուժի

Հարվածում են կարման պայմաններին մոտ պայմաններ ստեղծելու համար:

Եթե ստուգիչ դինամոմետրի սլաքը այդ դիպքում տեղաշախտվելը ուրիշ բանի բաժանում (գեպի փոքրացման կողմը), ապա անհրաժեշտ է պարագաների (8) սեղմենակի ստուգիչ դինամոմետրի ցուցմունքը հասցնելով մինչև 100 կԳ*:
Այդ բեռնվածքին համապատասխան գալվանոմետրի

*) Աղելին ճշգրիտ ստուգաճշտման ժամանակ բնույթածքների միջակայթը կարող է լուսաբանել 50 կմ:

Դինտմումներն ըստ բեռնման ըստ
տուղաճշտելուց հետո ստուգաճշ-
տում են ըստ բեռնաթափման (նույն
100 կմ միջակայքով): Ստացված
տվյալներով կառուցում են (նկ. 32)
բեռնման (1) և բեռնաթափման (2)
գծերը: Աերշնական ստուգաճշտման
դրաֆիկն իրենից ներկայացնում է
այդ գծերի միջին գիծը: Որքան
բեռնման և բեռնաթափման դժերը
ըլլ են իրարից տարբերվում, այսին
այսրան սարքը լավ է:

32. p_z կրօման ուժի ստուգանշան
գրաֆիկ.

Упаковка пакетов № 3, в

P _x πεδη		P _y πεδη		P _z πεδη	
βθανατ- βωφειλ	βθανατ- βωφειλ	βθανατ- βωφειλ	βθανατ- βωφειλ	βθανατ- βωφειλ	βθανατ- βωφειλ
կՊ	մա	կՊ	մա	կՊ	մա

Անհնալով այդպիսի ստուգաճշտման գրաֆիկ հեշտ է որոշել կտրը-ման պրցեսում կտրիչի վրա ազդող P_x ուժը: Եթե, օրինակ, կտրման ժամանակի գալվանոմետրը ցույց է տվել 2 մա, ապա նկ. 32-ի համաձայն P_x ուժը եղել է 800 կգ:

Դինամոմետրն ըստ P_x ուժի ստուգաճշտելու համար (տե՛ս նկ. 31) հանում են կանգնակները (4) և ծողի (2) նկատմամբ հորիզոնական հարթության վրա ստեղծում ճնշում նույնպես ստուգող դինամոմետրի (5) և համապատասխան կոնի (3) միջոցով, պտուտակի (12) օգնությամբ, որը պտուտակված է անկյունակի (13) մեջ (նկ. 33), P_x ուժը նշվում է դալվանումետրով (14):

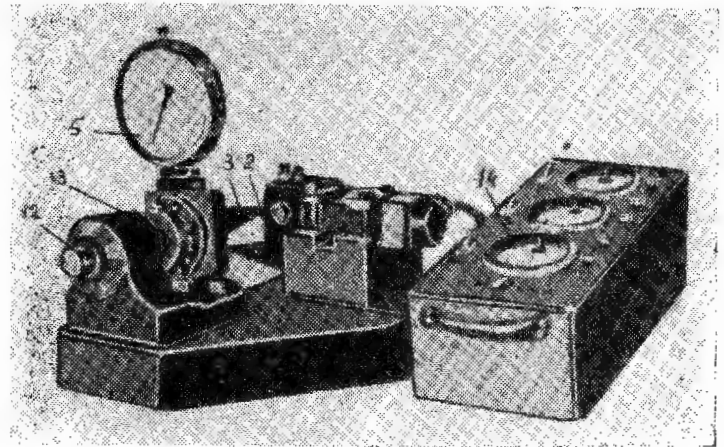
Համար P_y ուժի դինամոմետրը ստուգաճշտելու համար անկյունակը (13) տեղափոխում են ստուգաճշտման սալի այլ մաս և պտուտակով (12) ստուգող դինամոմետրի (5) և կոնի (3) միջոցով ձողի (2) ճակատում ստեղծում բեռնվածք (նկ. 34): Այդ բեռնվածքը համապատասխան էլեկտրահիդրոկայտիվ տվյալի վրա ներգրածելիս շղթայում առաջացնում է հոսանքի ուժի փոփոխությունը, որի մեծությունը նշվում է դալվանումետրի (15) վրա:

Կտրման խորության, մատուցման և կտրման արագության ազդեցուրյունը P_z , P_y և P_x ուժերի վրա: Այս առաջադրանքը բաժանվում է երեք մասի: Սկզբում կատարվում է կտրում և P_z , P_y և P_x ուժերի շափում փոփոխվող կտրման խորության (օրինակ՝ 8, 6, 4 և 2 մմ) և այլ գործոնների (մշակվող նախապատրաստվածքի նյութը, մատուցումը, կտրման արագությունը, կտրիչի երկրաշափական տարրերը և այլն) հաստատուն մնալու գեպքում: Այնուհետև փոփոխական է ընդունվում մատուցումը (օրինակ՝ 0,24, 0,48, 0,75 և 1 մմ/պտույտ, իսկ մնացած գործոնները պահպանվում են հաստատուն): Փորձերի պայմանները գրանցվում են լաբորատոր աշխատանքների տեսրի № 3, բարձանադրության մեջ:

Արձանադրություն № 3, բ

Մշակվող նյութը
կտրիչի երկրաշափությունը՝ $\gamma = \dots$, $\tau = \dots$, $\varphi = \dots$, $\varphi_1 = \dots$,
 $\lambda = \dots$, $t = \dots$, $d = \dots$:

Գործելու համարը	D առավելագույնը	D նվազագույնը	Կտրման ուժի տարրերը			Կտրման ուժերը		
			P _z	P _y	P _x	P _z	P _y	P _x
Կտրման իրացությունը՝ γ	Սարուցակային պատճենը՝ S	Պատճենի պահանջմանը՝ β	Կտրման արագությունը՝ λ					
Կտրման արագությունը՝ λ	Սարուցակային պատճենը՝ S	Պատճենի պահանջմանը՝ β	Կտրման արագությունը՝ λ					
Կտրման արագությունը՝ λ	Սարուցակային պատճենը՝ S	Պատճենի պահանջմանը՝ β	Կտրման արագությունը՝ λ					
Կտրման արագությունը՝ λ	Սարուցակային պատճենը՝ S	Պատճենի պահանջմանը՝ β	Կտրման արագությունը՝ λ					



Նկ. 33. Դինամոմետրի ստուգաճշտումը ըստ P_x ուժի



Նկ. 34. Դինամոմետրի ստուգաճշտումը ըստ P_y ուժի

P_x , P_y և P_z ուժերը չափվում են ՍԴՄ-1 ունիվերսալ դինամոմետրով:
Նկ. 35-ում ցույց է տրված կայանքի ընդհանուր տեսքը:

P_z ուժի կախումը կտրման խորությունից, մատուցումից և կտրման արագությունից՝ արտահայտվում է աստիճանային ֆունկցիայով՝

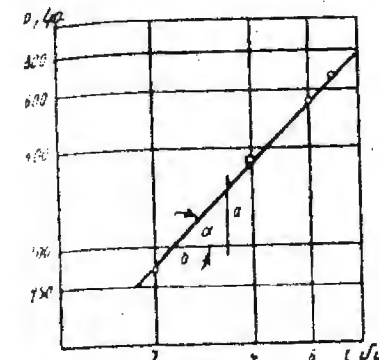
$$P_z = \frac{C p_z \cdot t^{xz} \cdot S^{yz}}{V^n_z},$$

որտեղ $C p_z$ -ն մշակման որոշ պայմանները բնութագրող գործակից է (մշակող նյութը և նրա ֆիզիկա-մեխանիկական հատկությունները, գործիքի կտրող մասի երկրաչափությունը, քառահովացնող հերուկը և այլն):

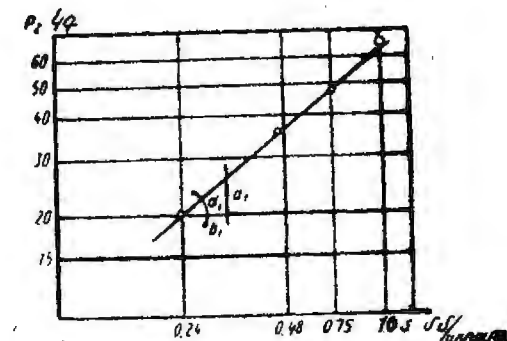


Նկ. 35. Կայանքի բնդմանուր տեսքը

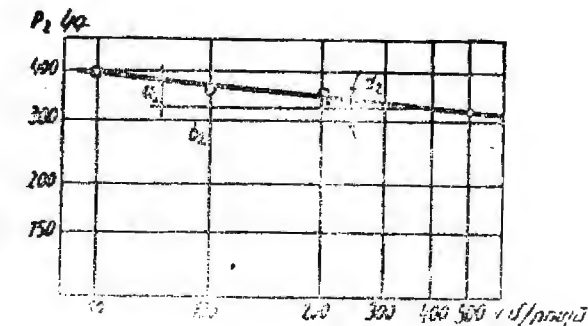
$C p_z$, x_z , y_z և n_z մեծությունների արժեքները որոշելիս օգտվում են գրաֆիկա-անալիտիկ մեթոդից: Առաջադրանքի առաջին մասի արդյունքների հիման վրա (երր կտրման խորությունը փոփոխական է) լուրարիթմական կոորդինատներում կառուցում են P_z ուժի կախումը կտրման խորությունից (նկ. 36), երկրորդ մասի արդյունքների հիման վրա (երր փոփոխական է մատուցումը)՝ t_z ուժի կախումը մատուցումից (նկ. 37), երրորդ մասի արդյունքների հիման վրա՝ P_z ուժի կախումը կտրման արագությունից (նկ. 38):



Նկ. 36. Կտրման խորության
ազդեցությունը P_z կտրման ուժի վրա



Նկ. 37. Մատուցման ազդեցությունը
 P_z կտրման ուժի վրա



Նկ. 38. Կտրման արագության ազդեցությունը
 P_z կտրման ուժի վրա

Կտրման խորության աստիճանացույցը որոշվում է նկ. 36-ից՝

$$x_z = \operatorname{tg} \alpha = \frac{a}{b} = \frac{\dots}{\dots} = \dots :$$

Մատուցման աստիճանացույցը որոշվում է նկ. 37-ից՝

$$y_z = \operatorname{tg} \alpha_1 = \frac{a_1}{b_1} = \frac{\dots}{\dots} = \dots :$$

Կտրման արագության աստիճանացույցը որոշվում է նկ. 38-ից՝

$$n_z = \operatorname{tg} \alpha_2 = \frac{a_2}{b_2} = \frac{\dots}{\dots} = \dots :$$

Հրշ գործակիցը որոշվում է հետեւալ կերպ: № 3, թ արձանագրությունից զերցվում են P_z -ի որեւէ արժեքը: Դիցուք $P_z = 360$ կԳ, $t=4մմ$, $s=0,48$ մմ/պառույտ և $v=100$ մ/րոպե: Այդ ժամանակ, նկատի ունենալով x_2 , y_2 և n_2 մեծությունների նախօրոք ստացված արժեքները ($oրինակ$, $x_2=1$, $y_2=0,75$, $n_2=0,15$), կարելի է գրել

$$360 = \frac{Cp_z \cdot 4 \cdot 0,48^{0,75}}{100^{0,15}},$$

որտեղից և որոշվում է Cp_z -ը:

P_z ուժի հաշվարկի բանաձեռի վերջնական ահանքը (տվյալ մշակվող նկարի, կտրիչի երկրաչափության և հովացման դեպքում) կլինի՝

$$P_z = \frac{\cdot \cdot \cdot ts \cdot \cdot \cdot}{v \cdot \cdot \cdot} \text{կԳ:}$$

Նման ձևով ստանում են P_y և P_x ուժերի որոշման բանաձեռը:

Խնդյուրություն ԱՇԽԱՏԱՆՔԻ ԿԱՏԱՐՄԱՆ ԱՌԱՋԱԴՐԱՅՔ

1. Ուսումնասիրել կատարվող աշխատանքի բովանդակությունը, մեխոդիկան, սարքավորումը և կտրման ուժի հետազոտման համար օգտագործվող շափիչ սարքերը:

2. Հիշյալ մեթոդիկայով կատարել դինամոմետրի ստուգաճշտում:

3. Փորձնականորեն հետազոտել կտրման խորության, մատուցման և էտրման արագության ազդեցությունը երկայնական շրջաաշաշման դեպքում կտրման պրոցեսում առաջացող ուժերի վրա:

4. Հետազոտությունների ժամանակ ստացված տվյալների հիման վրա կառուցել ֆունկցիոնալ կախվածության գրաֆիկներ, որոշել կտրման խորության, մատուցման և կտրման արագության աստիճանացույցները ըստ տվյալ աշխատանքում շարադրված մեթոդիկայի:

5. Դուրս բերել կտրման ուժի և կտրման խորության, մատուցման ու կտրման արագության միջև կախվածության բանաձեռը: Վերլուծել կտրման խորության, մատուցման և կտրման արագության ազդեցությունը կտրման ուժի վրա: Տալ համառոտ գրավոր եղակացություն կատարված աշխատանքի մասին:

Ա. ՀԱՄԱՍՏԱՑՈՒՅԹ ՆՈ 4

ԶԵՐՄԱՍՏԻԾԱՆԸ ՄԵՏԱՂՆԵՐԻ ԿՏՐՄԱՆ ԸՆԹԱՑՔՈՒՄ

Կտրման գոտում անջանավող զերմությունը կտրող գործիքը տարացնում է մինչև 800^0C և ավելի բարձր: Կտրման ուժերի և բարձր զերմաստիճանի ներգործության հետևանքով կտրող եզրերը բթանում են, և գործիքը դադարում է մետաղը կտրելուց: Բթացած գործիքը փոխարինում է նորով: Գործիքի հաճախակի փոխարինումը առաջացնում է շաստոցների պարապուրդ և իշեցնում մշակման պրոցեսի արտադրողականությունը:

Գործիքի աշխատող մասում առաջացող բարձր զերմաստիճանը կախված է մշակվող նյութի ամրությունից, գործիքի կտրող մասի երկրաշափությունից, կտրման արագությունից, մատուցումից, կտրման խորությունից և մի շարք այլ գործոններից: Այս աշխատանքում անհրաժեշտ է հետազոտել առանձին գործոնների ազդեցության աստիճանը կտրիչի տաքացման զերմաստիճանի (կտրման զերմաստիճանի) վրա:

Գոյություն ունեն կտրման գեպքում առաջացող զերմաստիճանի որոշման մի քանի մեթոդներ: Դրանցից են կալորիմետրական մեթոդը, արհեստական զերմազգույզի մեթոդը, կիսապրհետական զերմակույզի մեթոդը, բնական զերմազգույզի մեթոդը և մրկրոստրուկտորային անալիզի մեթոդը:

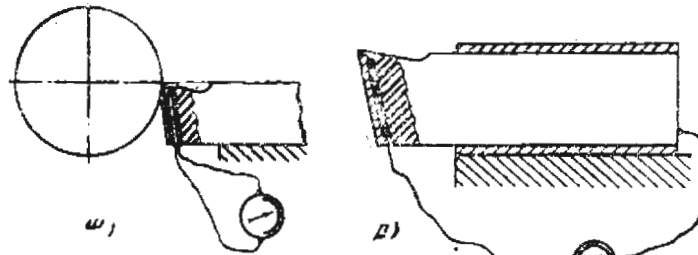
Կառուցել մեթոդիկայով կատարել դինամոմետրի ստուգաճշտում: Կայանում է նըրանում, որ կալորիմետրական կայանքների օգնությամբ շափվում է զերմաստիճանը և դրանք օգտագործում են, զիսավորապես, զերմային բաւանու որոշելու համար: Այս մեթոդը առաջին անգամ կիրառվեց Ռուսաստանում 1909 թվին: Մեխանիկական աշխատանքի և զերմության միջև փոխարաբերությունը որոշելու նպտակով օգտագործվեց բարակ, թերթավոր արույրից պատրաստված կալորիմետրական անոթը, որի մեջ տեղադրված էին մշակվող խողովակը և կտրիչի զիսիկը:

Իմանալով կալորիմետրի գետալների կշիռը, դրանց զերմունակությունները, ինչպես նաև զերմաստիճանների տարբերությունը կտրման սկզբում և վերջում, կտրիչի է հաշվարկել կտրման պրոցեսում առաջացած զերմության քանակը: Կտրման վրա ծախսված մեխանիկական աշխատանքը որոշվում է դինամոմետրի օգնությամբ:

Յա. Գ. Ուսաշևը 1912-14 թթ. կիրառեց կալորիմետրական մեթոդը, որոշելով տաշեղի զերմության քանակը և տաշեղի զերմաստիճանը: Այդ

նպատակով տաշեղը հավաքվում էր կալորիմետրում: Իմանալով տաշեղի կշիռը, կալորիմետրի ջրի կշիռը, ջերմունակությունները և ջերմաստիճանների նվազումը կալորիմետրում՝ տաշեղ հավաքվելու հետևանքով, կարելի է որոշել ջերմության քանակը տաշեղում և նրա միջին ջերմաստիճանը: Կարման պրոցեսում առաջացած ընդհանուր ջերմության քանակը Յա. Գ. Ուսաշեղ հաշվարկեց ըստ ծախսված աշխատանքի՝ Շ ուժը շափելու համար օգտագործելով յուրօրինակ ուժաշափ (գինամոմետր):

1912-1914 թթ. Յա. Գ. Ուսաշեղ առաջին անգամ կիրառեց արհեստական ջերմազույքի մեթոդ (նկ. 39, ա), որով շափեց կտրիչի աշխատող մասի ջերմաստիճանը: Այդ նպատակով կտրիչում գայլիկոնեց 1,5 մմ տրամադուվ անցք, որը կտրիչի առնի մակերեւույթից ցածր է մոտ 0,5 մմ: Անցքի մեջ տեղադրեց մեկուսացված ջերմազույք՝ պղինձի ունտանտան: Կարման պրոցեսում ջերմազույքը տաքանում է, որի հետևանքով ջերմազույքի շղթայում առաջանում է ջերմաէլեկտրաշարժ:



Նկ. 39. Ենորման համանակ տաքացող ջերմաստիճանի շափման սխեման ըստ
Յա. Գ. Ուսաշելի մեթոդների.

ա) արհեստական ջերմազույքով, բ) կիսապահանում ջերմազույքով:

ուժ: Այդ ուժը գրանցվում է դալվանոմետրով: Ջերմազույքը կարելի է հեշտությամբ սառուցածշտել և գալվանոմետրի ցուցմունքները սառուցածշտման գրաֆիկով վերածել առտիճանների:

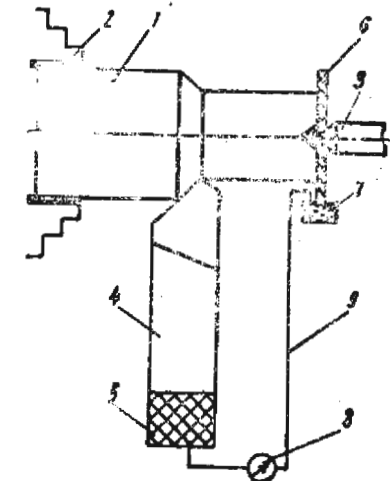
Այս մեթոդի թերություններն են ինչպես ջերմազույքի կայանքի բարդությունը, այնպես էլ այն, որ այդ մեթոդով չի շափվում ամենաբարձր ջերմաստիճանը շիման սահմանային մակերեւույթների վրա, այլ շափվում է որոշ ցածր ջերմաստիճանային դաշտ, որը կտրիչի առնի մակերեւույթից որոշ հեռավորություն ունի: Բացի դրանից, այս մեթոդը չի տալիս կտրիչի տաքացման ջերմաստիճանների փոփոխման ճիշտ պատկերը՝ կախված կարման ուժիմների փոփոխությունից: Թերություն է նաև այն, որ նշված անցքով կտրիչը թույլ է տալիս ընդամենը 1-2 վերասրում:

Յա. Գ. Ուսաշելի առաջարկած կիսաարագած կիսաարագած կան ջերմազույքի մեթոդի (նկ. 39, թ) էությունն այն է, որ ջերմազույքի տարրերից մեկը ինքն է՝ կտրիչը: Կտրիչում գայլիկոնված անցքի մեջ տեղադրվում է կոնստանտանե լար, որը գործում է բերվում առնի կամ ետևի մակերեւույթի, որտեղ և ամրացվում է: Անցքի լայն մասի տրամագիծը 0,4 մմ է: Կիսապահանում ջերմազույքի մեթոդը տալիս է ավելի հուսալի արդյունքներ, քան Յա. Գ. Ուսաշելի առաջին մեթոդը, սակայն ունի նույն թերությունները:

Յա. Գ. Ուսաշելի առաջարագած կիսաարագած կան ջերմազույքի մեթոդն այն է, որ որպես ջերմազույք ծառայում էն կտրիչը և մշակվող նախապատրաստվածքը, որոնց նյութերը տարրեր են Այդ դեպքում ջերմազույքի գորգածքը է կարման պրոցեսում կտրիչի ու տաշեղի և կտրիչի ու նախապատրաստվածքի հրաժան մասը (նկ. 40):

Մշակվող նախապատրաստվածքը (1) սեղմկում է կապիչի (2) բռունցք-ներում ու ետևի թամբի (3) կնիտրոնում: Նախապատրաստվածքի հետ հաստոցի դետալների կցատեղերում առաջացող լրացոցից ջերմազույթերը վերացնելու համար նախապատրաստվածքը մեկուսացնում են կապիչի բըռունցքներից և ետևի կենտրոնից: Կտրիչը (4) նույնպես մեկուսացված է սուլորաից միջադիրներով (5): Նախապատրաստվածքի աջ ծայրում նստեցվում է օղակ (6), որը պատվում է նախապատրաստվածքի հետ: Այդ օղակը շփվում է ավազանի մեջ լցված սնդիկի (7) հետ: Միլիվոլտմետրը (8) մի ծայրով միացված է կտրիչին (4), մյուս ծայրով՝ հաղորդալարով (9) սնդիկին (7): Այսպիսով, ստացվում է փակ շղթա:

Կարման պրոցեսում կտրիչի, տաշեղի և նախապատրաստվածքի շիման տեղատարացման և տարրեր նյութեր լինելու հետևանքով առաջանում է ջերմաէլեկտրաշարժ ուժ, որը և գրանցվում է միլիվոլտմետրով (8): Որքան մեծ է անշատվող ջերմությունը, այնքան մեծ է «կտրիչ-նախապատրաստվածք» բնական ջերմազույքի կոնստանտի կետերի տաքացումը, և, հետևաբար, այնքան մեծ է առաջացած ջերմաէլեկտրաշարժ ուժը (այնքան մեծ է միլիվոլտմետրի լարքի շեղումը): Միլիվոլտմետրի ցուցմունքները՝ ջերմաստիճանների վերածելու համար ջերմազույքը ստուգաճշտվում է: Ստուգաճշտման ժամանակ որպես ջերմազույք



Նկ. 40. Բնական ջերմազույքի մեթոդ նախապատրաստվածքը մեթոդի միջադիրներով (5): Նախապատրաստվածքի աջ ծայրում նստեցվում է օղակ (6), որը պատվում է նախապատրաստվածքի հետ: Այդ օղակը շփվում է ավազանի մեջ լցված սնդիկի (7) հետ: Միլիվոլտմետրը (8) մի ծայրով միացված է կտրիչին (4), մյուս ծայրով՝ հաղորդալարով (9) սնդիկին (7): Այսպիսով, ստացվում է փակ շղթա:

վերցվում է կտրման պրոցեսում օգտագործվող կտրիչի և մշակվող նախապատրաստվածքի նյութը:

Քանի որ կազմովի կտրիչները (զոդված թիթեղներով) միացման անդեմքում թիթեղները կալիչների հետ տալիս են լրացուցիչ ջերմագլեկուտրաշարժ ուժեր, որոնք աղավաղում են «կտրիչ-նախապատրաստվածք» հիմնական ջերմագույզի ցուցմունքը, ապա ավելի լավ է կիրառել ամբողջական կտրիչներ:

Հետազոտությունները ցույց են տվել, որ կապիչի բռունցքներից և ետևի կենտրոնից նտխապտրաստվածքի մեկուսացման բացակայության դեպքում լրացուցիչ ջերմահոսանքները հիմնական ջերմագույզից միինվաստերի ցուցմունքի վրա էական աղդեցություն չեն զորում: Առաջի բարձր ճշգրտություն չպահանջող հետազոտություններում ամբողջ կայանքն զգալիորեն պարզեցվում է: Այդ դեպքում նախապատրաստվածքը չի մեկուսացվում և գալվանոմետրը մի կողմից միացվում է մեկուսացված կտրիչի ճակաաին, մյուս կողմից՝ հաստոցի ցանկացած մասին (լավ է ետևի կենտրոնին), թղակը (6) և սնդիկով (7) լի ավագանը վերացվում են:

Բնական ջերմագույզի մեթոքը տալիս է կտրման դեպքում իրական առավելագույն ջերմաստիճանին ավելի մոտ արդյունքներ, քան արհետական և կիսաարհետական ջերմագույզերի մեթոդները: Այս մեթոդի թերություններն են՝ կտրող գործիքի ջերմաստիճանային դաշտի հետազոտման անհարինությունը և ստուգահշտման բարդությունը, որն անհրաժեշտ է կատարել յուրաքանչյուր մշակվող նյութի և յուրաքանչյուր կտրող գործիքի համար:

Մի կրոստրուկտուրային անալիգի մեթոդն առաջարկել են Ա. Պ. Գոլյանը և տեխն-դիտ. դոկտոր Բ. Ի. Կոստեցին: Այն հիմնված է կտրման պրոցեսում գործիքի մակերեսութիւն արտաքին ջերակում առաջացող ջերմության ներգործության հետևանքով ֆազային և միկրոստրուկտուրային փոխարկումների վրա:

Միկրոստրուկտուրային փոխարկումները (որոնք որոշվում են մետաղաբանական մանրադիտակով) և կարծրության փոփոխությունները (որոնք որոշվում են միկրոկարծրության շափման գործիքի օգնությամբ) գործիքի մակերեսութային շերտերում հնարավորություն են տալիս գաղափար կազմել մակերեսութիւն այս կամ այն կետում ջերմաստիճանի մասին: Ջերմաստիճանի շափման համար անհրաժեշտ է նախօրոք իմանալ գործիքի մետաղի միկրոստրուկտուրան, ֆազային վիճակը և կարծրությունը, որոնք համապատասխանում են այս կամ այն տաքացման ջերմաստիճանին: Այս տեսակետից սովետական հետազոտողների կողմից լավ ուսումնասիրված է Բ. 18 մակնիշի արագահատ պղպատը:

Խթնություն ԱՇԽԱՏԱՆՔԻ ԿԱՏԱՐՄԱՆ ԱՌԱՋԱԿՐԱՆՔ

Հետազոտել կտրման արագության, մատուցման և կտրման խորության ազդեցությունը կտրիչի տաքացման ջերմաստիճանի վրա: Զարումները կատարել միինվագուտմետրի օգնությամբ, բնական ջերմագույզի մեթոդով: Քննարկվող կտիվածությունները որոշելու համար կարելի է օգտվել միինվագուտմետրի ցուցմունքներից (ջերմաստիճանը առանց աստիճանի վերածելու):

Աշխատանքը կատարվում է խառատային հաստոցի վրա երեք փուլով:

1) Կտրման ջերմաստիճանի շափումը հաստատուն մատուցման և կորումն խորության, սակայն փոփոխական կտրման արագության դեպքում:

2) Կտրման ջերմաստիճանի շափումը հաստատուն կտրման արագության և կտրման խորության, սակայն փոփոխական մատուցման դեպքում,

3) Կտրմտն ջերմաստիճանի շափումը հաստատուն կտրման արագության և մատուցման, բայց փոփոխական կտրման խորության գեպքում:

Մինչև կտրումն սկսելը ընտրում են մշակվող նախապատրաստվածքի նյութը, ցույց տալիս նրա հատկությունները (ամրության սահմանը ձգման դեպքում կամ կարծրությունը) և նշանակում կտրիչի կտրող մասի երկրաշափական տարրերը:

Փորձարկման պայմանները և արդյունքները դրառվում են № 4 արձնագրության մեջ:

Փորձերը կատարելուց հետո անհրաժեշտ է կատարել ստացված արդյունքների գրաֆիկա-անալիտիկական մշակում: Դրա համար կոորդինատների կրկնակի լոգարիթմական սիստեմում կառուցվում են «սարքի ցուցմունք-կտրման արագություն» (նկ. 41, ա), «սարքի ցուցմունք-մատուցում» (նկ. 41, թ) և «սարքի ցուցմունք-կտրման խորություն» (նկ. 41, գ) կախվածությունները:

Կտրման ջերմաստիճանի և կտրման արագության միջև կապը կարելի է արտահայտել հետևյալ բանաձևով՝

$$IV = C_1 \cdot V_2;$$

Լոգարիթմմելով, կունենանք $\lg IV = \lg C_1 + z \cdot \lg V$, այսինքն՝ $\lg V = \frac{\lg IV - \lg C_1}{z}$ լոգարիթմական կոորդինատներում կունենանք ուղիղ գծի հավասարում, որի թեքության անկյան տանգենսը 7 աստիճանացուցյան է (նկ. 41, ա)

$$\tan \alpha_1 = z = \frac{a_1}{b_1} = \frac{\dots}{\dots} = \dots;$$

Արձանագրություն № 4

Կառատոյին հաստոց : U_2 ակվոդ նյութը $a_2 = \dots$ (HB)
 Կարիչի նյութը
 Կարիչի կարող մասի երկարչափական տարրերը
 $\gamma = \dots$, $a = \dots$, $\lambda = \dots$, $\varphi = \dots$, $\varphi_1 = \dots$, $t = \dots$ մմ:

Փուլութիւն	Նորագույնատվածքի տրամագիծը մմ-ով		Կարման ռեժիմի տարրերը				U_{t_1} ինդիկատորի գույնը
	ակվումական՝ սպառական՝ տարրերը	D_0	Կարման լուսական բարձրությունը՝ տարրերը	s	Պարունակած գույնը՝ տարրերը	Կարման արդարությունը՝ տարրերը	
1					n_1 n_2 n_3 n_4	v_1 v_2 v_3 v_4	
2				t	s		
3							
4							
5							
6							
7							
8							
9							
10							
11							
12							
				t_1 t_2 t_3 t_4	s	n	v

Նման ձևով լուծվում են $mV = C_2 s^y$, $mV = C_3 t^x$ հավասարութիւնները:

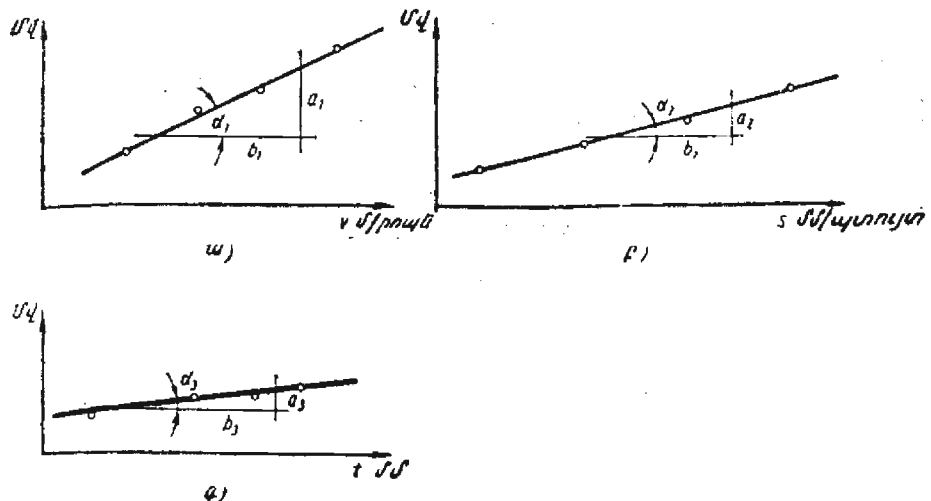
Մատուցման և կտրման խորության աստիճանացուցները համապատասխանաբար որոշվում են հետեւալ ձևով՝

$$\operatorname{tg} \alpha_2 = y = \frac{a_2}{b_2} = \dots \quad \dots \quad (\text{նկ. 41, p}),$$

$$\operatorname{tg} \alpha_3 = x = \frac{a_3}{b_3} = \dots \quad \dots \quad (\text{նկ. 41, q}),$$

Կտրման չերմաստիճանի ընդհանուր հավասարումը նայած կտրման արագությանը, մատուցմանը և կտրման խորությանը, կոնենա հետեւալ տեսքը՝

$$mV = C \cdot v^z \cdot s^y \cdot t^x = C \cdot v \cdot \dots \cdot s \cdot \dots \cdot t \cdot \dots :$$



Նկ. 41. Միլվոլտմետրի ցուցմունքների վրա կտրման ռեժիմի տարրերի ազդեցույթան գրաֆիկ.

ա) կտրման արագության, բ) մատուցման և գ) կտրման խորության:

Իրար հետ համեմատելով z , y և x ցուցիչների ստացված մեծությունները, հճամողվենք, որ կտրման չերմաստիճանի վրա ամենամեծ ազդեցություն է գործում կտրման արագությունը, փոքր՝ մատուցման ավելի փոքր՝ կտրման խորությունը ($z > y > x$):

Կատարված աշխատանքի մասին դրել համառոտ եզրակացություն:

Ա 2 խառարակ № 5

ԿՏՐԻՉՆԵՐԻ ՄԱԾՈՒՄԸ, «ԱՐԱԳՈՒԹՅՈՒՆ-ԿԱՅՈՒՆՈՒԹՅՈՒՆ»
ԿԱԽՎԱԾՈՒԹՅԱՆ ՈՐՈՇՈՒՄԸ

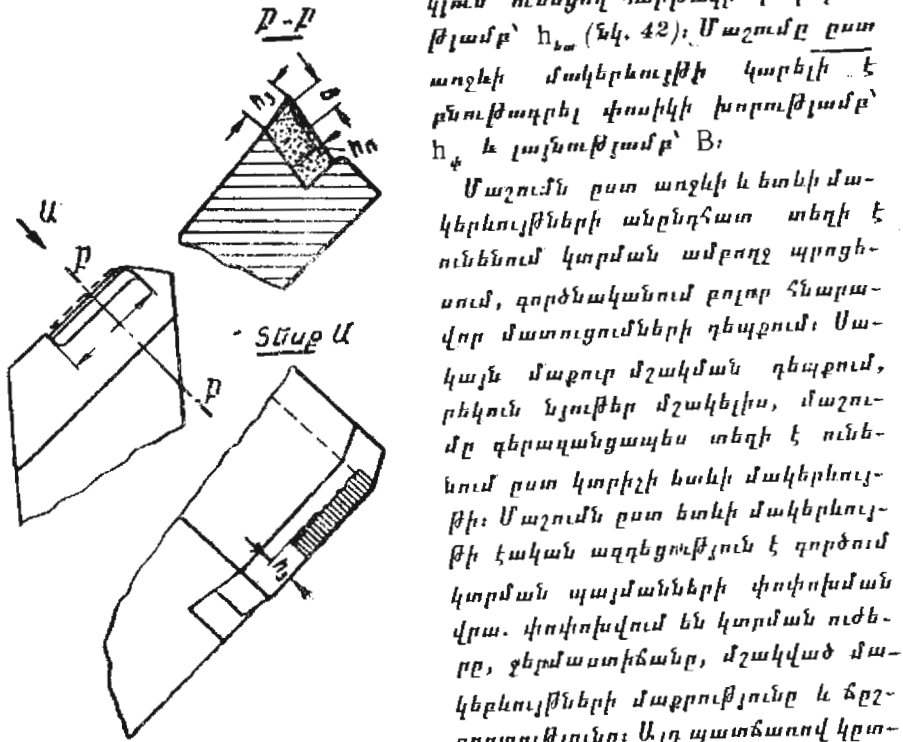
Կտրման պրոցեսում գործիքի աշխատող մասի վրա, մասնավորապես կտրիչի վրա, աղդում են մեծ տեսակարար ուժեր, բարձր չերմաստիճան, շփման ուժ և այլ գործոններ, որոնք առաջ են բերում կտրիչի մաշում (բթացում): Կտրիչի մաշվածին առաջացնում է դետալների անհրաժեշտ ճշգրտության և մշակված մակերևույթի մաքրության կորուստներ: Բթացած կտրիչն անհրաժեշտ է վերասրել:

Կտրիչների, ինչպես և այլ կտրող գործիքների, մաշումը կախված է մի շարք գործուներից: Մաշման վրա ազդող գլխավոր գործուներից մեկը կտրման արագությունն է:

Տվյալ աշխատանքում փոխադարձ կապ է հաստատվում կտրման արագության և կտրիչի կայունության միջև:

Կտրիչի աշխատանքի այն ժամանակը (բոպեներով), որն ընկած է կտրիչի աշխատանքի սկզբի և բթացման միջև, կոչվում է կտրիչի այլունություն: Կտրիչի մաշումը տեղի է ունենում ըստ առջևի և ետևի գլխավոր մակերեսությների:

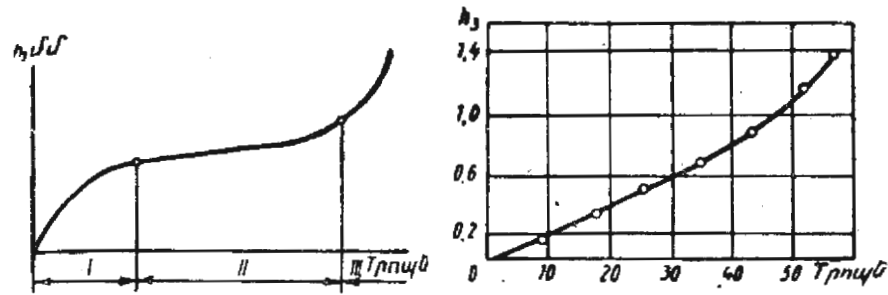
Մաշումը ըստ ետևի մակերեսությի ընութագրվում է ետևի զրո անկանոն ունեցող հարթակի բարձրությամբ՝ հետ (նկ. 42): Մաշումը ըստ առջևի մակերեսությի կարելի է ընութագրել փոսիկի խորովածք՝ հետևյալ բարձրությամբ՝ Յ:



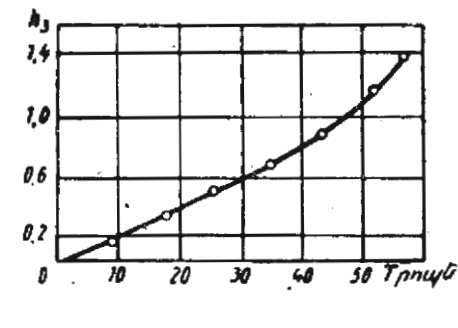
Նկ. 42. Կտրիչի մաշման ըստ առջևի և ետևի մակերեսությների

Արագահատ պողպատից պատրաստված կտրիչների մաշման մեծության կախումը կտրիչի աշխատանքի ժամանակից արտահայտվում է նկ. 43-ում բերված կորով:

Մաշման հարթակի բարձրությունը՝ հետևյանսիվորեն աճում է կտրիչի աշխատանքի սկզբնական շրջանում (սկզբնական մաշման գոտի՝ I): Ետքի մակերեսությի շրման հարթակի աճին զուգընթաց հետևյանսիվությունը աստիճանաբար փորբանում է (նորմալ մաշման գոտի՝ II): Հետագայում ըստ ետևի մակերեսությի մաշման և առջևի մակերեսությի փոսիկի աճին զուգընթաց կտրող եղրը ճեղքվում է և սկսվում է կտրիչի վթարային մաշումը (վթարային մաշման գոտի՝ III):



Նկ. 43. Արագահատ պողպատից պատրաստված կտրիչների մաշման կախումը կտրիչի մաշման առջևի առաջանակից



Նկ. 44. Կարծե միահավածներով պատրաստված կտրիչների մաշման կախումը կտրիչի աշխատանքի ժամանակից

Կարծր միահավածք թիթեղներով պատրաստված կտրիչների մաշման կորը (նկ. 44) նկ. 43-ում բերված կորից տարրերվում է ժամանակի ընթացքում մաշման սահուն աճով. այստեղ չկա վթարային մաշման գոտի:

Կտրող գործիքի ռացիոնալ շահագործման և հանձնարարված որակով մշակված դետալներ ստանալու համար անհրաժեշտ է ի հայտ բերել թույլատրելի մաշման մեծությունը, որին հասնելուց հետո գործիքն անհրաժեշտ է վերասրբել:

Գործիքի բթացման շափանիշ կարող են լինել՝

1) Կտրման ուժի կտրուկ մեծացումը, որն առաջանում է կտրիչի մեծ մաշման հետեանքով (ուժային շափանիշ),

2) դետալների անհրաժեշտ ճշգրտության կամ մշակված մակերեսությի մաքրության դասի կորուստը (տեխնոլոգիական շափանիշ),

3) մաշման աճը մինչև մի այնպիսի օպտիմալ մեծություն, որը համապատասխանում է գործիքի ծառայության առավելագույն ժամկետին (օպտիմալ մաշման շափանիշ):

Մշակման կոնկրետ պայմաններին համեմատ, կիրառում են կըտրիչների թթացման այս կամ այն շափանիշը (մաքուր մշակման ժամանակ կիրառում են տեխնոլոգիական շափանիշը):

Տվյալ լարորատոր աշխատանքի նպատակն է՝ ուսումնասիրել կըտրիչների մաշման և դրա հետ կապված մշակման ճշգրտության ու մշակված մակերևույթի խորդուրդության փոփոխությունը: Կտրիչների թթացման տեխնոլոգիական շափանիշի դեպքում (մշակված մակերևույթի մաքրության հանձնարարված դասը) փորձնականորեն որոշվում է «արագություն-կայունություն» կախվածությունը, որն արտահայտվում է հետևյալ տեսքով:

$$V = \frac{A}{T^n},$$

որտեղ A -ն մշակման պայմաններից կախված հաստատուն մեծություն է,

Դ-ն՝ կտրման արագությանն համապատասխանող կայունությունը բավարար:

Փորձերը տարվում են խառատապուտակահամ հաստոցի վրա կառուցվածքային ածխածնային կամ լինիրված պողպատից պտտրաստված զլանային նախապատրաստվածքի մաքուր շրջատաշման դեպքում:

Տ 15 Կ 6 մակնիշի կարծր միահալվածքի շերտիկներով օժտված կտրիչները սրում և վերջնասրում են հետեւյալ երկրաշափությամբ՝

$$\gamma = 5^\circ, \alpha = 8^\circ, \varphi_1 = 5^\circ, \lambda = 0^\circ, r = 1 \text{ մմ:}$$

Թթացման պրոցեսում կտրիչների մակերևույթի մաշման որոշումը կատարվում է հաստոցի վրա տեղակալված Բրինելի խոշորացույզով (նկ. 45): Կտրիչի մաշմանը զուգընթաց մեծանում է մշակված մակերևույթի խորդուրդությունը:

Աշխատանքի կատարման հաջորդականությունը: Կտրման V : արագության, $S = 0,15$ մմ/պտույտ մատուցման և $t = 0,5$ մմ կտրման խորության դեպքում կատարվում է նախապատրաստվածքի երկայնական շրջատաշում: Կտրիչի յուրաքանչյուր անցից հետո, նախապատրաստվածքի երկարության միատեսակ հեռավորությունների վրա գտնվող շորս կետերում ($0, 1, 2, 3$), շափում են մակերևույթի խորդուրդությունը և որոշում նախապատրաստվածքի տրամագծի աճը՝ ΔD : Մինչև շափման ամեն մի կետը կտրիչի աշխատանքի ժամանակը հաշվարկում են հետեւյալ բանաձևով՝

$$T = \frac{L}{n \cdot S};$$

Յուրաքանչյուր անցից հետո որոշում են մաշման հարթակի հեծելունը: Զափումների արդյունքները նշում են № 5 արձանագրության մեջ:

Արձանագրություն № 5:
Կտրիչի երկաչափությունը՝ $\gamma = 5^\circ, \alpha = 8^\circ, \varphi_1 = 5^\circ, \lambda = 0^\circ, r = 1 \text{ մմ:}$
Կտրման ռեժիմները՝ $t = 0,5 \text{ մմ}, S = 0,15 \text{ մմ/պտույտ:}$
Մշակող նյութը՝ պողպատ . . . , կարծրությունը՝ HB . . . ,
Կարծր միահալվածքի ժամկեցը՝ T 15 K 6:

Անցությունը գոյացումը	Կտրիչի մակերևույթի նյութը	Զափուղ կետերի տեղը մշակված մակերևույթի վրա				Համարը	ΔD մմ-ով	Մշակված մակերևույթի դաշտը միահալվածքի վրա	Հայոց մակերևույթի դաշտը միահալվածքի վրա
		0	1	2	3				
D մմ-ով									
R _Z մկ-ով									
T բոպեով									

Կոորդինատների պարզ սիստեմով կատարված փորձերի հիման վրա կառուցվում է երեք գրաֆիկ՝

1) կտրիչի մաշումը ըստ ետեւ մակերևույթի ժամանակի ընթացքում՝ $h_{\text{եւ}} - T$ (նկ. 46),

2) նախապատրաստվածքի տրամագծի փոփոխումը ըստ կտրիչի թթացման չափի՝ $\Delta D - T$ (նկ. 47),

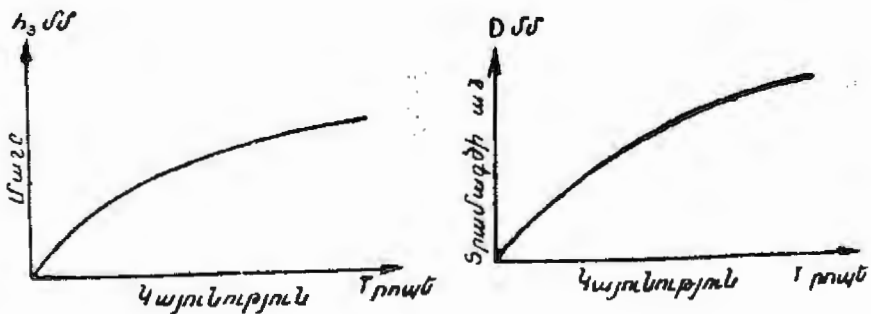
3) մշակված մակերևույթի խորդուրդության փոփոխումը ըստ կտրիչի մաշման չափի՝ $R_Z - T$ (նկ. 48):

Ըստ մաշման տեխնոլոգիական շափանշի, կտրիչը բութ է համարվում, երբ մշակված մակերևույթը դադարում է տեխնիկական պահանջներին բավարարելուց: Տվյալ աշխատանքում այդպիսի շափանշը է մըշակված մակերևույթի խորդուրդությունը: Օրինակ, մշակված մակերևույթը պետք է լինի 5-րդ դասի:



Ակ. 45. Ըստ ետեի մակերևույթի կտրիչի մաշման շափումը
բրինելի խոշորացույցով

$R_2 - T$ գրաֆիկով որոշվող կտրիչի բթացման մոմենտը համապատասխանում է մակերևույթի խորդուրդության փոփոխման կորի և մակերևույթի մաքրության ծ-րդու 4-րդ դասի անցման սահմանի հատման կետին: Աբսցիսների առանցքի վրա ըստ այդ կետի որոշվում է կտրիչի կայունությունը: Են— T գրաֆիկի վրա ըստ ստացված կայունության որոշվում է թույլատրելի, այսպէս կոչված, կտրիչի տեխնոլոգիական մաշումը:



Ակ. 46. Ըստ ետեի մակերևույթի կտրիչի
մաշման կախումը աշխատանքի
ժամանակից

Ակ. 47. Նախապատրաստվածքի
տրամագիծի փոփոխման կախումը
կտրիչի աշխատանքի ժամանակից



Ակ. 48. Մշակված մակերևույթի մաքրության փոփոխման կախումը
կտրիչի աշխատանքի ժամանակից

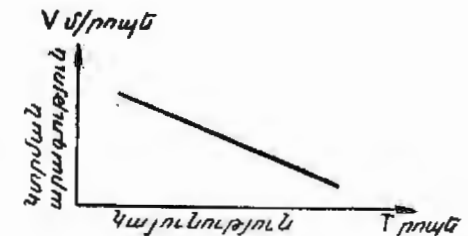
Առաջին փուլի փորձերի արդյունքներով պետք է որոշվի կտրիչի T_1 էայունությունը, որը համապատասխանում է ընդունված կտրման V_1 արագությանը:

Նման փորձեր կատարվում են V_2 , V_3 և V_4 կտրման արագությունների գեղքում, որոնց համար որոշվում են գրանց համապատասխանող կայունությունները՝ T_2 , T_3 և T_4 :

Կտրման արագության (V) և կայունության (T) միջև բանաձևի անսքով կախվածություն ստանալու համար կոորդինատների կրկնակի լոգարիթմական սիստեմում կառուցվում են գրաֆիկներ ըստ $v_1 T_1$, $v_2 T_2$, $v_3 T_3$ և $v_4 T_4$ կետերի (Ակ. 49):

Գրաֆիկի վրա ստացված ուղիղը թույլ է տալիս որոշել հարաբերական կայունության ցուցիչը՝ ուղիղ ուղիղի թեքության անկյան տանկենս T առանցքի նկատմամբ:

Ա հաստատունը, որը կախված է մշակվող նախապատրաստվածքի, դործիքի նյութից, գործիքի կտրող մասի երկրաչափական պարամետրերից և այլն, որոշվում է մասնավոր պայմաններից ($v_1 - T_1$):



Ակ. 49. Կախվածությունը կտրման
կայունության և արագության միջև

1. Ռատումնասիրել կտրող գործիքի մաշման դերն ու նշանակությունը, հետազոտման մեթոդիկան, սարքավորումը և կտրող գործիքի մաշման օրինաչափության հայտնաբերման համար կիրառվող ապարատները:

2. Կատարել հետազոտություններ մաշում-ժամանակ (հե—T) կորորդինատներում կտրիչի մաշման դինամիկայի գրաֆիկի կառուցման համար:

3. Կատարել հետազոտություններ և գործնական տվյալներով կառուցել «արագություն-կայունություն» կախվածությունը (V-T):

4. Գուրս բերել $V = \frac{A}{T^m}$ բանաձևը, հայտնաբերելով հարաբերական կայունության աստիճանի (π) ցուցչի թվային նշանակությունը:

Կազմել համառոտ գրավոր եղբակացություն կատարված աշխատանքի մասին:

Ա. ՀԱՄԱՑԱԿ ՆԵՐ

ԿՏՐՈՂ ԵԶՐԵՐԻ ԱՄՐՈՒԹՅՈՒՆԸ

Մետաղահատ գործիքների ամրության պրոբլեմն ունի մեծ ժողովրդատնտեսական նշանակություն: Ամեն տարի գործիքների ոլատրաստման համար ծախսվում է տասնյակ հազար տոննա թանկարժեք գործիքային սողութաներ և կարծր միահավածքներ: Մի շաբաթ մեքենաշինական գործարաններում գործիքների կոտրվածքը կազմում է 30%, իսկ նրա առանձին տեսակներինը (գալյուկոններ, անցքակոկիչներ, ներպարուրակիչներ և փոքր շափի այլ գործիքներ) զգալիորեն ավելի մեծ էն: Եթե հաշվի առնվի այն, որ խոշոր մեքենաշինական գործարաններն անեն գործիքներ, որոնց շարատեսակն իր մեջ բովանդակում է մինչև 70 000 տիպաշափ, ապա դժվար չէ պատկերացնել, թե ինչ կնատի կոտրմելու հետևանքով գործիքների շարքից դուրս գալը:

Քննարկելով այդ թողարկվող արտադրանքի տեսաման ու ինքնարժեքի վերլուծման տեսակեալից, սկսութիւնը է նշել, որ գործիքների վրա կատարվող ծախսերը հասնում են գործարանի հիմնական արտադրանքի ինքնարժեքի 10 տոկոսին: Բացի դրանից, գործիքի կոտրվե-

լը հաճախ առաջ է բերում բարդ հարմարանքների կոտրում, շարքից հանում հասաղողները, որը բարձրացնում է թողարկվող արտադրանքի ինքնարժեքը:

Ավտոմատ գծերում և ավտոմատ գործարաններում, որտեղ յուրաքանչյուր հաստոց տեղակայված է ընդհանուր տեխնոլոգիական շղթայում, գործիքների, հարմարանքի և հատկապես հաստոցի կոտրվելու հետեանքով կանգ է առնում ամբողջ գիծը, ցեխը: Ավտոմատ գործարանների, կոմպլեքսային մեքենայացման և տեխնոլոգիական պրոցեսների ավտոմատացման զարգացման կապակցությամբ մեքենաշինության մեջ բարձր արտադրողական գործիքների երաշխավորված ամրությունը տարեցտարի պեսը է աճի:

Մետաղահատ գործիքների շարքից դուրս գալու պրոցեսի վերլուծումը թույլ է տալիս եղբակացնել, որ մեծ մասամբ, որպես կանոն, գործիքի շարքից դուրս գալն սկսվում է կտրող եղբերից՝ գործիքի աշխատող մասից:

Կարելի է հեշտությամբ պարզել, որ գործիքների շարքից դուրս գալն սկսվում է ինչպես կտրող եղբերից (աշխատող մասից), այնպես և գործիքի ամրակման մասից (իրանից, մարմնից): Լաբորատոր աշխատանք № 6-ը նվիրված է գործիքի կտրող եղբերի ամրությանը:

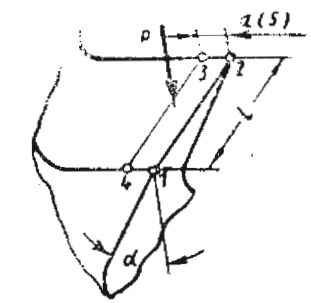
Տվյալ աշխատանքի նույառակն է.

1) Կտրիչների, գալյուկոնների, ներպարուրակիչների, ֆրեզների ու ձգիչների քայլքայցման տեսակների ուսումնասիրումը:

2) Սանոթացում կտրող եղբերի ամրության որոշման համար կիրավող սարքավորման, շափիչ գործիքի ու կտրիչների կառուցվածքի և գործողության սկզբունքի հետ:

3) Փորձերի կատարում և գործիքի աշխատող մասի նյութի ֆիզիկա-մեխանիկական հատկություններից ու աշխատող մասի երկրաշափությունից կտրող եղբերի ամրության փոփոխման փունկցիոնալ կախվածության գրաֆիկների կառուցում:

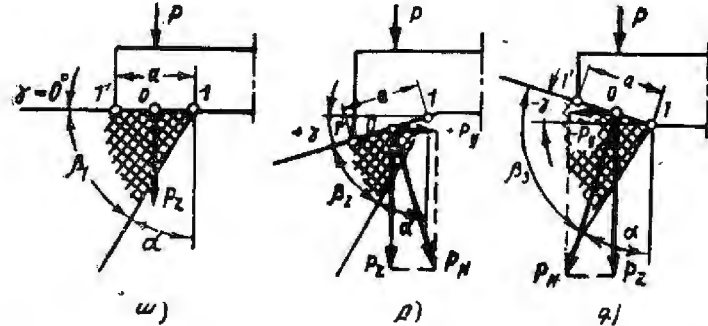
Գործիքի աշխատող մասի երկրաշափությանը: Նկ. 50-ում ընդհանուր տեսքով ցույց է տրված կտրող գործիքի աշխատող մասը: 1, 2, 3 և 4 հպման հարթակում ազդում է P ուժը, որը բոլոր ազդող տարրական ուժերի արդյունարար ուժն է: Կտրող եղբերի երկարությունը նշանակենք L տառով, իսկ հպման հարթակի լայնությունը՝ a տառով:



Նկ. 50. Գործիքի աշխատող մասի նյութը

Նկ. 51, առաջ բերված է կտրիչի աշխատող մասի երկրաշափությունը՝ $\gamma = 0^\circ$ -ի դեպքում, իսկ նկ. 51, բում և նկ. 51, գ-ում՝ համապատասխանաբար $+\gamma$ և $-\gamma$ դեպքում:

Հստ համան հարթակի բեռնավորման բնույթի, կտրիչն աշխատում է կտրման (նկ. 51, ա), կտրման ու ձգման (նկ. 51, բ) և կտրման ու սեղմման (նկ. 51, գ): Քանի որ գործիքի աշխատող մասը պատրաստվում է բարձր կարծրությամբ ու բեկունությամբ օժտված նյութից,



Նկ. 51. Կորման ուժերի ազդեցուրյունը, որը կախված է առշեք անկյան
մեծությունից

առաջ ավելի ճիշտ է քայլայումը համարել ոչ թե կտրում, այլ կոտրում: Այդ պատճառով հետագայում բեկուն քայլայման պրոցեսը կանվանենք կոտրում:

Առշեք անկյունն անհրաժեշտ է կտրվող շերահ նյութի դեֆորմացիան փոփոխելու համար: Առջեկի անկյան մեծությունը կախված է մշակվող նյութի մեխանիկական հատկություններից, և, միշտն հաշվով, լնտրվում է $\gamma = -15 \div 30^\circ$ սահմաններում: Ետքի անկյան առկայությունն անհրաժեշտ է կտրող գործիքի և մշակվող գետալի մեջև շփումը փոքրացնելու համար: Կտրող գործիքների ետքի անկյան մեծությունը լնտրվում է, միշտն հաշվով, $\alpha = 2 \div 15^\circ$ սահմաններում:

Սրության Յ անկյունը 1 կետի գագաթի անկյունն է (նկ. 51), որը բնութագրում է կտրող եզրի ամրությունը: Առջեկի անկյան դրական արժեքի դեպքում գոյություն ունի հետեւյալ կապը՝ $\gamma + \alpha + \beta = 90^\circ$, $\beta = -90^\circ - (\gamma + \alpha)$:

Այդ առնչությունից երևում է, որ առշեք և ետքի անկյունների կամ այդ անկյունների գումարի մեծացմանը համեմատ սրության Յ անկյունը փոքրանում է, իսկ այդ անկյան փոքրտցմանը համեմատ նվազում է կտրիչի կարող եզրի ամրությունը:

Այս աշխատանքում պետք է փորձարկել կտրիչի ուղղաձիգ ձև ուղղող կտրող եզրի ամրությունը:

Կտրող եզրի ամրությունը որպես են ձեռքով բեռնավորվող հիգրավիկական գործողության հատուկ մեքենայի վրա:

Նկ. 52-ում բերված է այդ մեքենայի ընդհանուր տեսքը: Առավելագույն առանցքային բեռնվածքը 3000 կգ է:

Նկ. 53-ում բերված է հարմարանքի ընդհանուր տեսքը՝ նրա մոտ տեղադրված ձեանմուշով (1), ամրության փորձարկման բազմայր կտրիչով (2) և շոշափիչով (3):

Հարմարանքի կառուցվածքի ըսկը գործունեության սխալման ցույց է տրված նկ. 54-ում: Հարմարանքն ունի բազային հարթություն՝ հորիզոնական (I—I) և ուղղաձիգ (II—II): Այդ հարթությունները հղված են այնպես, որ դրանց փոխազարձ ուղղահայացությունն ապահովված է բարձր ճշգրտության աստիճանով:

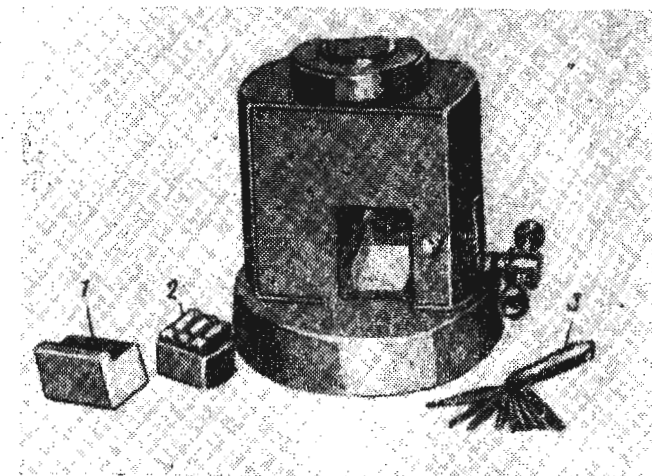
Զեանմուշը տեղակայում են հարմարանքի I—I հորիզոնական հարթության վրա: Զեանմուշի ուղղաձիգ և հարմարանքի II—II ուղղաձիգ հարթությունների միջև դընում են և հաստություն ունեցող շոշափիչ և ամրացնում ձեանմուշը:

Հետո տեղակայում են «գործիքն» այնպես, որ նա դեպքի ձեանմուշն ուղղված ճակատով շոշափիչ ձեանմուշի ուղղաձիգ հարթությունը 1 և 1' կետերում, ինչպես այդ ցույց է տրված նկ. 54, առաջ: Այդպիսի դիրքում ամրացնում են գործիքը: Գործիքն ամրացնելուց հետո ձեանմուշը և շոշափիչը հանում են, իսկ դրանց աելլը դնում են փորձարկվող բազմասայր կտրող գործիքը (նմուշը), ինչպես ցույց է տրված նկ. 54, բ-ում:



Նկ. 52. Կտրիչի կտրող եզրերի ամրության փորձարկման մեթեանի ընդհանուր տեսքը:

1—հենց, 2—իրան, 3—ուժային գլան՝ մխոցվ, 4—հարմարանք, 5—մանումետրը, 6—վերելքի թափանիվ, 7—սակղնավոր ամրացնելու կրան, 8—սուզակի բանակ:

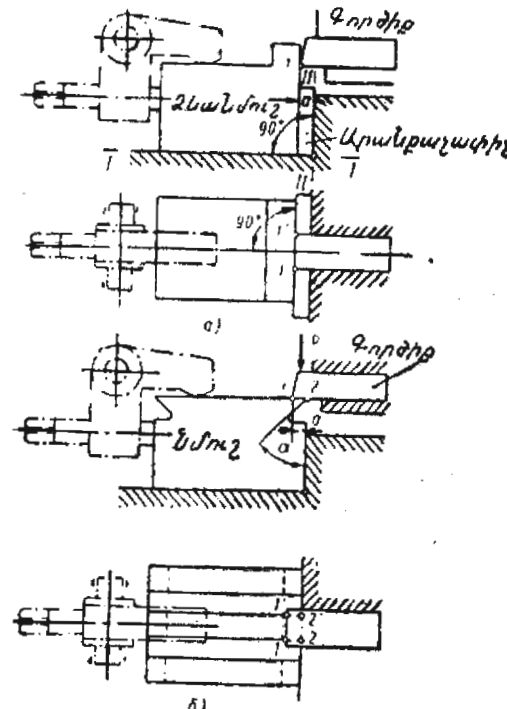


Ակտարանի բնդանուր տեսքը

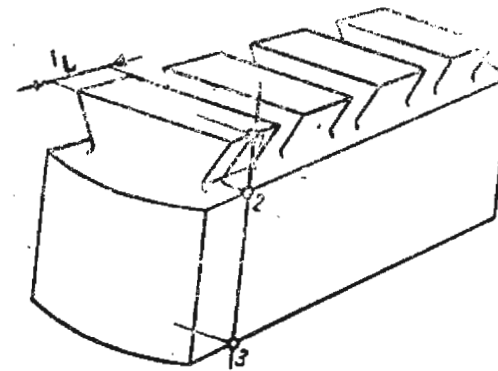
Այսպիսով, գործիքը և նմուշը կունենան 1, 1', 2, 2' հպման մակերեսը՝ որոշ մոտավորությամբ կորվող շերտի հպման մակերեսը կնմանվի կտրիչի տոշնի մակերեսութիւնն: Շոշափիչի հաստությունը համապատասխանում է կորվող շերտի հաստությանը: Այսպիսի ելակետային վիճակում է զտնվում հարմարանքը մեքենայի վրա:

Բեռնավորելոց առաջ, շրջելով (տե՛ս նկ. 52) վերելքի թափանիվը (6), պետք է բարձրացնել հարմարանքը՝ մխոցակոթի հետ սիերիկ կրունկի հպման համար, և ժամացույցի սլաքի ուղղությամբ աշխատեցնելով փակել ասեղնաձև ծորակը: Այնուհետև բռնակը (8), վերեներքև շարժելով, հավասարաշափ բեռնավորել առանցքային բեռնվածքով: Այդ ժամանակ ահրաժեշտ է ուշագրությամբ հետեւ մանոմետրի սլաքի ցուցմոնքներին: Բեռնվածքը մեծացնում են այնքան, որ կտրիչը քայլայվի: Քայլայման մոմենտում մանոմետրը ցույց է տալիս կրտսիչի քայլայման առավելագույն բեռնվածքը:

Թագմասայր կտրիչների ձևերն ու կառուցվածքները: Նկ. 55-ում ցույց է տրված բազմասայր երկկողմ կտրիչ: Կտրիչն այնպիս է պատրաստված, որ 2—3 ուղիղը համընկնում է կողային մակերեսութիւն և միաժամանակ 1 կետում շոշափում է տարրական կտրիչի գաղաթը: Խատի տարրական կտրիչների կտրող եզրերի բոլոր կետերը համընկնում են տրամադրով տեղադրված կողային մակերեսութիւններին: Կտրիչի բոլոր հարթությունները, բացառությամբ ճակատային երկու հարթությունների, հղկված են և միմյանց հետ կազմում են ուղիղ անկյուններ:

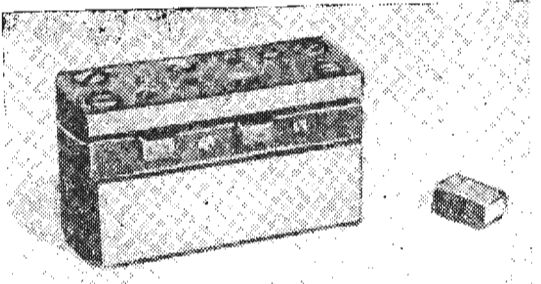


Ակտարանի ամրության փորձական կոյանի սկզբունքային սխեմա

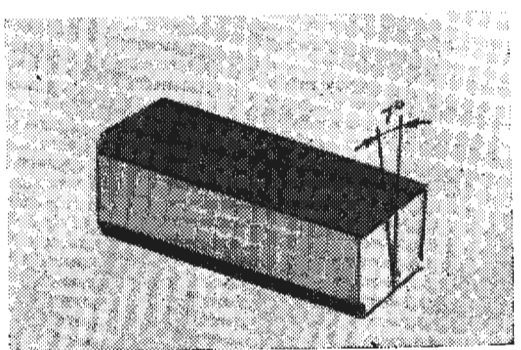


Ամրության փորձական ամրուշափան բազմասայր երկկողմ կտրիչի բնդանուր տեսքը

Նկ. 56-ում ցույց է տրված հայքաբովի ռազմասայր երկկողմ կտրիչը՝ կտրիչը կաղմված է իրանից (կալիչ) և տարրական կտրիչներից, որոնց կտրող եզրերը երկու կողմից են: Մեկ կտրող եզրի փորձարկումից հետո կտրիչը տեղակայում են կալիչում քայքայված ծացրով, որից հետո փորձարկում երկրորդ կտրող եզրի ամրությունը: Այսպիսով յուրաքանչյուր կտրիչի ամրությունը փորձարկում են երկու անգամ:



Նկ. 56. Հավանովի բազմասայր երկրող կտրիչ



Նկ. 57. Կարող եզրերի քայքայման գործիքի ընդհանուր տեսքը

Տարրական կտրիչները պատրաստում են իրանից, առանձին՝ փորձարկման ծրագրին համեմատ: Պատրաստված կտրիչները տեղակայում են իրանում ըստ ձեանմուշի և ամրացնում:

Կարող եզրերի քայքայման գործիքը¹, Նկ. 57-ում ցույց է տրված կտրող եզրը քայքայող գործիքը: Գործիքը պատրաստված է Բ18 մակ-

նիշի արագահատ պողպատից: Գործիքը և քայքայված կտրիչի միջև շիռումը վերացնելու կամ փոքրացնելու համար, միաժամանակ պահպանելով նրա ամրությունը, գործիքի աշխատող մասը սրվում է մոտ ժեկ աստիճան անկյան տակ: Գործիքի աշխատող մասի կարծրությունը՝ HRC 62-64 միավոր է: Գործիքի առջևի մակերեսույթը կտրիչի առջևի մակերեսույթին հպվելիս գործիքի հպման մակերեսույթի բոլոր կիտերը ունետք է շոշափեն կտրիչի հպման մակերեսի կետերը: Կտրիչի առջևի մակերեսույթի հպման մակերեսի վրա տեսակարար ճնշման հավասարաշափ համար, կտրիչի ամրությունը փորձարկելուց առաջ, կտրիչի և գործիքի արանքում դնում են 0,05 մմ հաստությամբ պղնձե դաշտաթիթեղ:

Զմիված պողպատից պատրաստված նմուշը ըստ ձգման փորձարկելիս քայքայումը տեղի էր ունենում նրա ամենափռք հատվածքով: Տվյալ նյութի ամրության սահմանը որոշելու համար անհրաժեշտ է բեռնվածքը բաժանել ընդհայնական հատվածքի մակերեսի վրա: Նման ձևով որոշվում է ամրության սահմանը սեղմման, կտրման և այլ տիպի դեֆորմացիաների դեպքում:

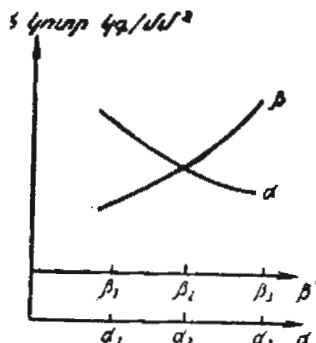
Երենց այլ կերպ են դրսերում միված պողպատից, կտրծը միահաւածքից կամ բարձր կարծրություն ու բեկունություն ցուցաբերող այլ դորձիքին նյութերից պատրաստված նմուշները: Բեկուն նյութերի մեջ ունեն եկած նախնական ճաքերը, որոնք առաջանում են սահմանային բեռնվածքի ազդեցությունից, ակնթարթորեն տարածվում են և երբեմն ամենափռք հատվածքով: ավելի հաճախ դրանք տարածվում են ցանհացած ուղղությամբ: Այդպիսի քայքայման պատճառ են դառնամամական ժամանակ առտղացող ներքին լարումները:

Աջակատների կառարման հաջորդականությունը: Ամենից առաջ անհամար է ծանոթանալ կտրող գործիքի հիմնական անսակների քայքայման բնույթին և գասափոսի ցուցումով նկարել երկու գործիք: Աւշադրություն դարձնել կոտրվածքի մակերեսույթի վրա: Չափել և արձանագրության մեջ նկարել կոտրվածքի մակերեսույթը:

Դասախոսի և վարպետի ղեկավարությամբ ծանոթանալ աշխատանքի կատարման մեթոդիկային և անցնել աշխատանքի կատարմանը: Կատարել փերձեր կտրող եզրերի ամրության վրա Յ սրության անկյան մեծության ազդեցությունը որոշելու համար: Փորձերը տարվում են հետեւալ պայմաններով՝ $\gamma=0^\circ$, $t=10$ մմ, սրության անկյունները՝ $\beta_1=75^\circ$ ($\alpha_1=15^\circ$) $\beta_2=70^\circ$ ($\alpha_2=20^\circ$), $\beta_3=60^\circ$ ($\alpha_3=30^\circ$), Այս դեպքում հաստատում են մնում կտրիչի հպման մակերեսի լայնությանը հավասար (ա=0,3 մմ) կտրվող շերտերի հասարակուների արժեքները: Կտրիչները պատրաստված են գործիքային պողպատից: Փորձերի արդյունքները և մյուս տվյալներն անհրաժեշտ է գրանցել փորձարկման № 6

¹ Հետազոտում կրծատ ձևով այն ուղղակի կանվանենք գործիք:

արձանագրության համապատասխան սյունակներում։ Փորձնական տվյալների մշակումից հետո արձանագրությունների մատյանում անհրաժեշտ



Ակ. 58. Կառուման ամրության կախումը $L=10$ մմ, $\beta=75^\circ$ ($\alpha=15^\circ$), $a=0,3$ մմ
ետքի և սրության անկյուններից պայմաններով։ Այդ փորձի արդյունքները

Այդ կետով տանում են շեռարթից (3) կորի նման զիծ՝ ածխածնային գործիքային պողպատից պատրաստված կտրիչների համար։ Անհրաժեշտ է պարզել, թե տվյալ նյութից պատրաստված կտրիչների ամրությունը քանի՛ անդամ է մեծ այլ նյութից պատրաստված կտրիչների ամրությունից։

$$U_{\beta} \triangleq u_1 u_2 \cdots u_{\beta} \in \mathcal{U}_{\beta}$$

ԻՆՔՈՒԹՈՒԳՆ ԱՇԽԱՏԱՏԲԻ ԿԱՏԱՐԱԿ ԱՌԱՋԱԴՐԱԿ

1. Ուսումնասիրել կատարվող աշխատանքի բովանդակությունը, մեթոդիկան, կտրող եզրերի ամրության հետազոտման սարքավորումն ու գործիքները:
 2. Փորձեր կատարել կտրող եզրերի ամրության հետազոտման ուղղամբ՝ կախված ետևի և անկյան մեծությունից և գործիքի աշխատասի նյութի մեխանիկական հատկություններից (արագահատ պողա, կարծր միահալվածք և այլն):
 3. Մշակել փորձնական տվյալները և դրանց հիման վրա կատուկտրող եզրերի ամրության և 2-րդ կետում նշված գործոններից նկցիոնալ կախվածությունները:

Վերլուծել կատարված աշխատանքը և տալ համառոտ գրավոր եզրացություն:

Л. 2 Інші матеріали № 7

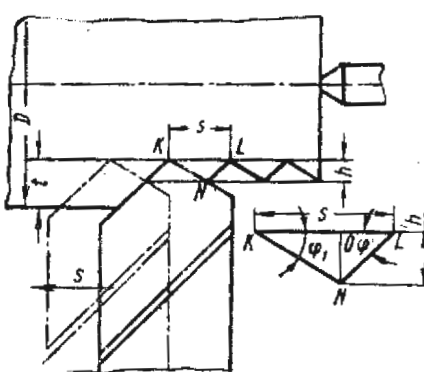
ՄԾԱԿՎԱԾ ՄԱԿԵՐԵՎՈՒՅԹԻ ԽՈՐԴՈՒԽՈՐԴՈՒԹՅՈՒՆԸ

Մեքնաների աշխատանքի ժառայության ժամեկող և հուսալիությունը զգալիորեն կախված է առանձին դետալների մշակման որակից: Մշակված դետալների որակի գնահատման պիխավոր շափանիշներից մեկը մշակված մակերեսով չի խորդութությունն է, որի վրա ազդում է ն կտրման արագությունը, մատուցումը, կտրման խորությունը, գործիքի կտրող մասի երկրաշափությունը և այլ գործոններ:

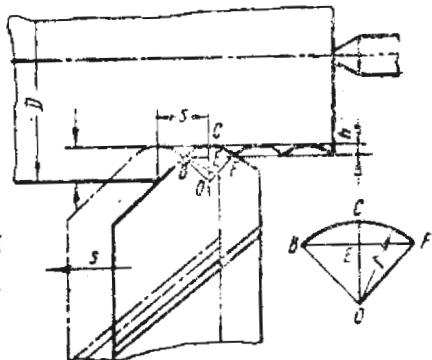
Տվյալ լաբորատոր աշխատանքի բովանդակությունն է՝ ուսումնա-
սիրել մշակված մակերևույթի խորդուրորդության վրա հիմնական գոր-
ծոնների՝ կտրման արագության, կտրիչի գագաթի կլորացման շառավղի
և հատակագծի օժանդակ անկյան ազդեցությունը:

Մշակված մակերնույթի խորպությունը որոշվում է միկրո-
անհարթություններով, որոնք կտրման ժամանակ առաջանում են մշակ-
վող դեսալի նյութի վրա կտրող գործիքի ազդեցության հետևանքով:

Նկ. 59 և նկ. 60-ում բերված են մշակված մակերևույթների տեսապահն պրոֆիլները, որոնք իրենցից կտրիչների կտրող և լցերի հետքերն են ներկայացնում:



նկ. 59. Մշակված մակերեսույրի տեսական պրոֆիլը $r=0$ դեպքում



նկ. 60. Մշակված մակերեսույրի տեսական պրոֆիլը $r>0$ դեպքում

Սիկրոանհարթությունների բարձրությունը, կարիչի գագաթի կլորացման շառավիղը (r) զրոյի հավասար լինելու դեպքում, որոշվում է չհանգալ արտահայտությունից (նկ. 59):

$$KO=ON \cdot \operatorname{ctg}\varphi_1 + h \cdot \operatorname{ctg}\varphi_1, \quad OL=ON \cdot \operatorname{ctg}\varphi = h \cdot \operatorname{ctg}\varphi$$

$$KO+OL=S=h \cdot (\operatorname{ctg}\varphi_1+\operatorname{ctg}\varphi)=h \cdot \frac{\sin(\varphi+\varphi_1)}{\sin\varphi_1 \cdot \sin\varphi},$$

$$h=\frac{s \cdot \sin\varphi_1 \cdot \sin\varphi}{\sin(\varphi_1+\varphi)} \quad (1)$$

Եթե տեսական պրոֆիլն առաջանաւմ է միայն որպես Ռ կլորացման շառավիղը BCF կտրող եզրի կորաղիծ տեղամասի հետք, ուղարկած արտահայտությունից

$$h=CE=OC-OE:$$

ՕԵ \perp եռանկյունուց

$$OE=\sqrt{OB^2-BE^2}=\frac{\sqrt{4r^2-s^2}}{2}, \text{ ապա կերչնականապես}$$

$$h=r-\frac{\sqrt{4r^2-s^2}}{2} \quad (2)$$

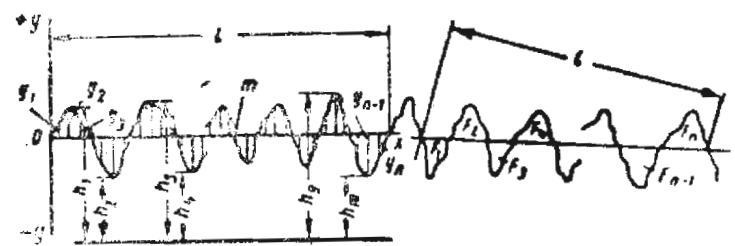
Դժվար չէ գուրս բերել հ-ի որոշման բանաձևը, եթե մակերկութիւն տեսական պրոֆիլը ձևավորվում է կտրող եզրի ինչպես ուղղաձիգ, այնպես էլ կորաղիծ տեղամասերով: Սակայն պետք է նշել, որ ավելի կործնական նշանակություն ունի (2) բանաձևը:

(1) և (2) բանաձևերի վերլուծումից հետեւում է, որ մատուցման (ε), հատակագծի գլխավոր (φ) և օժանդակ (φ_1) անկյունների փոքրացման, ինչպես նաև կտրիչի գագաթի կորացման շառավղի մեծացմանը համեմատ հ-ը փոքրանում է:

Ինչպես ցույց են տալիս փորձերը, մշակված մակերկութիւնի իրական պրոֆիլի և բարձրությունն զգալիորեն մեծ է տեսական պրոֆիլի բարձրությունից: Դա կտրման պրոցեսում մշակվող դետալի մակերկութային շերտի պլաստիկ և առաձգական գեֆորմացիաների արդյունք է հանդիսանում:

Ստանդարտով (ГОСТ 2789—59) մակերկութիւնի խորդուրուրդությունը որոշվում է հետևյալ պարամետրերից որևէ մեկով՝ պրոֆիլի միջին լիվաբանական շեղումով (R_a) և միկրոանհարթությունների բարձրությամբ (R_z):

Պրոֆիլի միջին թվաբանական շեղումը (R_a) պրոֆիլի միջին գրծից մինչև շափվող պրոֆիլի կետերի հեռավորությունների (y_1, y_2, \dots, y_n) միջին արժեքն է (նկ. 61):



նկ. 61. Մշակված մակերեսույրի խորդուրուրդությունը

Կետի հեռավորությունը մինչև պրոֆիլի միջին գիծը գումարվում է՝ առանց հաշվի առնելու հանրահաշվական նշանը՝

$$R_a=\frac{1}{l} \int_0^l |y| dx;$$

Առավորապես

$$R_a=\frac{\sum_{i=1}^n |y_i|}{n};$$

Միկրոանհարթությունների բարձրությունը (R_z) բազային երկարության ուսհմաններում գտնվող հինգ ամենաբարձր ելունների և հինգ

ամենացածր գողերի միջև եղած միջին հեռավորությունն է՝ շափած միջին գծին զուգահեռ գծին նկատմամբ (նկ. 61):

$$R_z = \frac{(h_1 + h_2 + \dots + h_9) - (h_2 + h_4 + \dots + h_{10})}{5};$$

ՄԱԿԵՐԵՎՈՒՑՔԻ ԽՈՐԴՈՒԹՈՐԴՈՒԹՅԱՆ ԶԱՓՄԱՆ ԴՈՐՍԻՒՆԵՐ

Մակերեւույթի խորդութորդության գնահատման ամենատարածված մեթոդները պրոֆիլային մեթոդներն են: Պրոֆիլային սարքերը բաժանվում են սուրացման օատիկական միջոցների (միկրոինտերֆերոմետրներ, կրկնակի մանրադիտակներ) և շոշափիչ սարքերի (պրոֆիլումետրեր և պրոֆիլուրաֆոներ):

Ամենատարածված սարքերն են ինտերֆերենցիոն մանրադիտակը, միկրոինտերֆերոմետրը, վ. Պ. Լիննիկի ՄԻԸ-11 կրկնակի մանրադիտակը և Վ. Ռ. Չառանի ՌԿ-3 պրոֆիլուրաֆոնը:

Միկրոինտերֆերոմետրը կրկնակի մանրադիտակը և օպտիկամեխանիկական պրոֆիլուրաֆոնները, որպես կանոն, ցեխային պայմաններում աշխատանքներ կատարելու համար չեն նույնառնությամբ: Այդպիսի սարքերը լայնորեն կիրառվում են լուրարատոր հետազոտթյունների մեջ և աշխատանքների մակերեւությունը (տոպոգրաֆիա):

Ցեխային պայմաններում մակերեւույթի խորդութորդությունը որոշելու համար կիրավում են Վ. Ռ. Չառանի կողմից մշակված ՌԿ-3 և ՌԿ-4 ինդուկցիոն պրոֆիլուրաֆոնը:

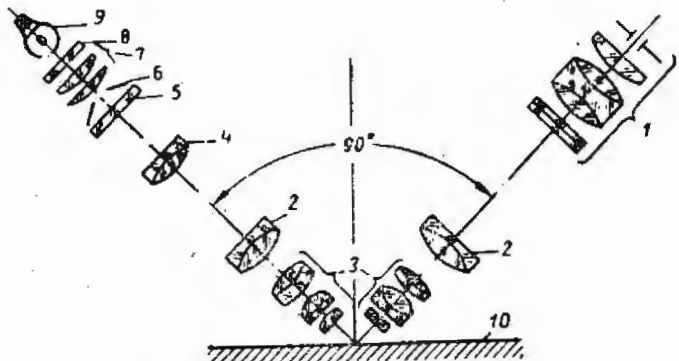
ՄԻԸ-11 կրկնակի մանրադիտակը հաստոցի վրա



Նկ. 62. Հաստոցի վրա տեղակայված Վ. Ռ. Չառանի կրկնակի մանրադիտակը և գագաթային մակերեւությունը (տոպոգրաֆիա):

աեղակայված ՄԻԸ-11 կրկնակի մանրադիտակի ընդհանուր տեսքը ցույց է տրված նկ. 62-ում: Սարքի սյունը (2) տեղակայված է հիմքի (1) վրա: Սյան վրա շարժական կալունակի (3) օգնությամբ ամրացված է մանրադիտակի լուսավորման (5) և դիտման (6) տուրունների կալիչը (4): Ցուրաքանչյուր տուրուսի ներքեւ մասում պտուտակիված են ոքեկտիվներ (7, 8): Տուրուսի (5) վերևի մասում է դրված կապիլը՝ էլեկտրալամպով, որը կարելի է տեղափոխել լուսավորումը կարգավորելիս և սեղմել պտուտակով (9): Դիտման մանրադիտակի վերևի մասում տեղակայված է պտուտակային օկուլյար-մանրադիտակը (10): Թմրուկի 0.01 մմ բաժանման արժեքով, որը նախատեսված է վիզուալ դիտման համար: Հետազոտվող պրոֆիլը լուսանկարելու գեպքում օկուլյար-մանրադիտակը փոխարինում են սովորական օկուլյար ունեցող լուսակցավողով (ֆոտոնածճակ): Տուրունների կալիչը (4) կարող է տեղակայվել սյան որոշակի բարձրության վրա հեղույսի (11) օգնությամբ և ամրանալ անհրաժեշտ դիրքում պտուտակի (12) միջոցով: Պտուտակը (13) և թմրուկի մեխանիզմը (14) ժառայում են օբեկտի վրա մանրադիտակները ֆոկուսի բերելու համար:

Կրկնակի մանրադիտակն իրենից ներկայացնում է պրոյեկտոր և գիտող երկու մանրադիտակների սխստեմ: Երկու մանրադիտակների



Նկ. 63. ՄԻԸ-11 կրկնակի մանրադիտակի օպտիկական սխստեմ

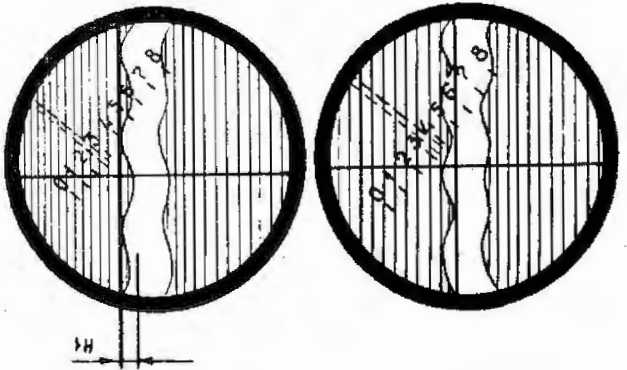
առարկայական կետերը համատեղված են: Մանրադիտակների առանցքները միմյանց հետ կազմում են 90° անկյուն: Իսկ այդ անկյան կիսորդը համընկնում է չափվող մակերեւությունը: Սարքի օպտիկական սխստեմ պատկերված է նկ. 63-ում:

Լուսավորման (պրոյեկտոր) մանրադիտակը կազմված է լումպից (9), պաշտպանիչ ապակուց (8), երկուազնական կոլեկտորից (7), (6) ճեղքից (պելի), կանաչ լուսափիլտրից (5), աքրումատիկ ուղղություններից

(4 և 2) և փոխովի օբեկտիվից (3): Կոլեկտորը (7) երկու աքրոմատիկ ոսպնյակների (4 և 2) միջոցով մանրադիտակի օբեկտիվի մուտքի թթի մեջ ցուց է տալիս լամպի թելի պատկերը, իսկ ճեղքը այդ երկու աքրոմատիկ ոսպնյակների և փոխովի օբեկտիվների (3) օգնությամբ պատկերվում է հետազոտվող մակերեսույթի վրա, որտեղ նա դիտարկվում է մանրադիտակի օդնությամբ: Մանրադիտակը կազմված է պատ-



Նկ. 64. M1C—11 կրկնակի մանրադիտակի լուսային համագույշների ուղղորդման սխեման



Համար նախատեսված որոշ սարքերում շառավիղը փոքրացնում էն մինչև 2—5 մկ: Եղափիչի մաշակույունությունը բարձրացնելու նպատակով ժայրը կոնական են անում՝ 90—100° անկյունով:

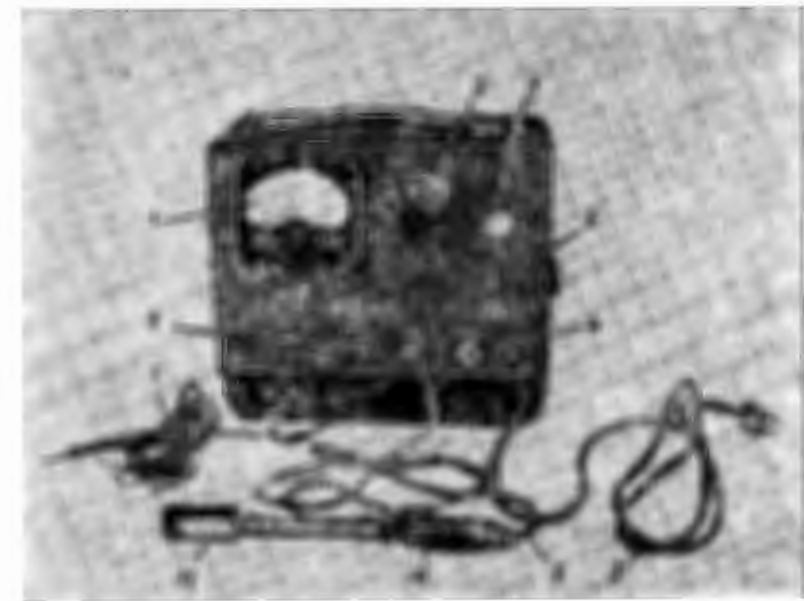
Պրոֆիլումետրի նորմալ աշխատանքի համար կարևոր նշանակություն ունի շոշափող գլխիկի հենարանների նկատմամբ շոշափիչի շարժման կարգավորումը: ΠԿ—3 պրոֆիլումետրում շոշափիչի շարժումը հենարանային կոճղակների նկատմամբ իրականացվում է գլխիկի իրանի

Աղյուսակ 1

Մակերեսությունը մաքրության դաշտում	Պրոֆիլի մեջին թվաքանական շեղումը՝ R _a , մկ-ով	Անհարթությունների թվաքումը՝ R _z , մկ-ով	Մակերեսության դաշտում՝ R _a , մկ-ով	Պրոֆիլի մեջին թվաքանական շեղումը՝ R _z , մկ-ով	Անհարթությունների թվաքումը՝ R _z , մկ-ով
	ոչ աղեղել			ոչ աղեղել	
	3	20	7	1,25	6,3
4	10	30	8	0,63	3,2
5	5	20	9	9,32	1,6
6	2,5	10			

նկատմամբ հենարանները տեղափոխելով. Նրա մեջ անշարժ ամրացված է շոշափիչը: Հենարանների շարժման մեխանիզմը կազմված է պտուտակային դուրգից: Պտուտակի հետ կոշտ միացած թափանքիկի (լիմբի) շրջումով հենարանային կոճղակները տեղաշարժվում են (գըլխիկի շարժմանը ուղղահայաց) գլխիկի իրանի նկատմամբ: Այսպիսով, շոշափիչը առաջ է ընթանում կոճղակների նկատմամբ: ΠԿ—3 պրոֆիլումետրը կազմված է ուժեղացուցիչից՝ մետաղական իրանի մեջ մոնտաժված ցուցմունք տվող սարքի հետ, և տվիչից՝ փոխովի հենարանների հետ, որոնք ձեռքով են շարժման մեջ դրվում: Պրոֆիլումետրի ընդհանուր տեսքը պատկերված է նկ. 66-ում:

Ուժեղացուցիչի երեսի պանելի վրա (տե՛ս նկ. 66) տեղափորված են՝ ցուցմունք տվող սարքը (1), դիապազոնների փոխարկիչը (2), ազդանշանային լամպը (3) և սնուցման ցանցի անջատիչը (5): Պանելի ներքեմի մասում, բացի դրանից, գտնվում են ապահովիչը (6) և ուժեղացման կարգավորիչը (4): Սարքի ներքեմի մասում, ձախից, իրանի փոքր հատվածամասում տեղափորված է տվիչ (11), իսկ մեծ հատվածամասում, աջից, տեղափորված են սնուցման լարը (8), տվիչի բռնակին



Նկ. 66. ΠԿ—3 պրոֆիլումետրի ընդհանուր տեսքը

(10) Ժիշտ միացած տվիչի լարը (9), որը սեղմակի հետ հողակցված է հաղորդալարով (7):

Ինքնուրության պահանջման կամացը առ առջևական առաջնային

1. Որոշել Տ մատուցման ազդեցությունը անհարթությունների R_z բարձրության վրա (մատուցումները ընտրվում են 0,1—0,7 մմ/պատուամաններում):

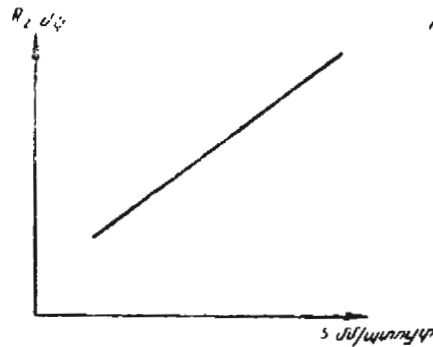
2. Որոշել հատակագծի օ₁ օժանդակ անկյան ազդեցությունը անհարթությունների R_z բարձրության վրա (անկյուններն ընտրվում են 20—30° սահմաններում):

3. Որոշել կորիչի դագաթի լ կլորացման շառավղի ազդեցությունը անհարթությունների R_z բարձրության վրա (լ=0,5—2 մմ):

4. Որոշել Կ կորման արագության ազդեցությունն անհարթությունների R_z բարձրության վրա (կորման արագություններն ընտրվում են կախված մշակվող նյութից):

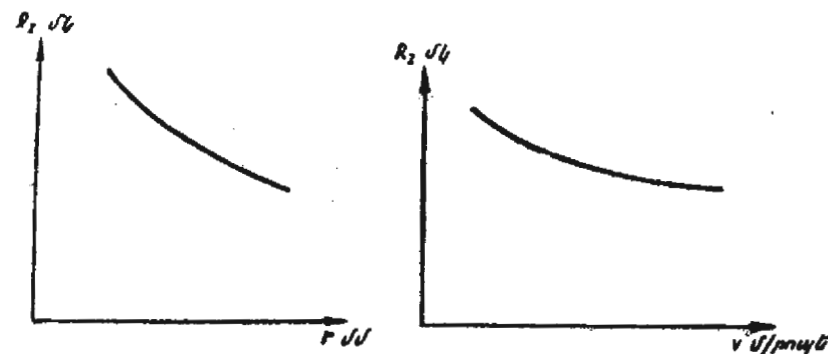
Բոլոր կախվածություններն ստանալու համար խառատային հաստոցի վրա կատարվում է արտաքին երկայնական շրջատաշղում ըստ

Նախօրոք պատրաստված ելումի: Բոլոր ելակետային տվյալները, որոնք հաղորդվում են զասախոսի կողմից և ընդունվում են փորձեր կատարելու համար, գրանցվում են № 7 արձանագրության մեջ: Մշակված մակերեսույթի խորդուրդությունը չափելու համար լաբորատոր աշխատանքում կիրառվում է ՄԿС—11 կրկնակի մանրադիտակը, որը տեղակայված և ամրացված է հաստոցի վրա (ան նկ. 62): Մշակված մակերեսույթի յուրաքանչյուր ելումի խորդուրդությունը սրոշվում է ոչ պահանքան հինգ կետերում, իսկ չափման արդյունքները գրանցվում են № 7 արձանագրության մեջ:



Նկ. 67. Մատուցման (s) ազգեցուրյան ամենաբարենքների R_z բարձրության վրա

Նկ. 68. Գծագրի φ_1 օժանդակ անլիստ ազգեցուրյան անհարության R_z բարձրության վրա



Նկ. 69. Կորիչի զագարի բարձրացման ազգային ազգեցուրյան անհարությունների R_z բարձրության վրա

Նկ. 70. Կորման և առագության ազգեցուրյան անհարությունների R_z բարձրության վրա

Արձանագրության տվյալներով կառուցվում են գրաֆիկական կախությունները (նկ. 67—70): Յուրաքանչյուր փորձի համար (2) բարձրաձեռվագությունը հաշվարկվում է տեսական պրոֆիլի մեծությունը:

Ա բ ձ ա ն ա գ ր ու թ յ ու ն № 7

Կորիչի երկրաչափությունը՝ $\alpha = \dots, \gamma = \dots, \zeta = \dots$

Կորիչի կտրող մասի նյութը՝ \dots

Մշակվող զետալի նյութը՝ \dots

Գործառնությունների համար	Մեծության նշանակությունը ըստ ՄԿՍ—11 սարքի					Մեջինը	Մասնակությունների հարաբեկությունը
	1	2	3	4	5		
Կորիչի զագարի բարձրության անհարությունը՝ R_z , μ_m	—	—	—	—	—	—	—

Անհարությունների R_z բարձրության հաշվարկային տվյալներով (նկ. 67—70) կառուցվում են տեսական գրաֆիկական կախվածությունները: Եթեկան գրաֆիկները համեմատելով աեսական գրաֆիկների հետ, սրոշում են պլաստիկ ու առաձգական դեֆորմացիաների ազգեցությունը մշակված մակերեսույթի խորդուրդությունների վրա:

Ա շ խ ա տ ա ն ը № 8

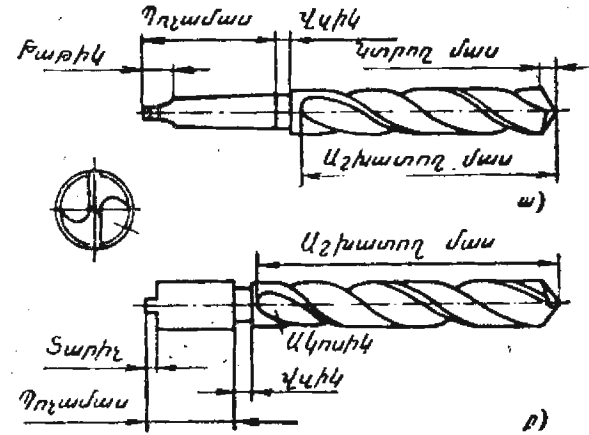
ՊԱՐԵԿԻՐԱԶԵՎ ԳԱՅԼԻԿՈՆՆԵՐԻ ԵՐԿՐԱՅԱՓՈԽԹՅՈՒՆԸ

Գայլիկոնումը տարբեր զետալներում անցքեր բացելու լայնորնն ապրածված մեթոդներից մեկն է: Անցք գայլիկոններու համար կիրառում են տարբեր տեսակի գայլիկոններ՝ պարուրածն, փետրածն, կարծր միավաճառքի շերտիկներով, խորը գայլիկոնման, կենտրոնակորման, լայնական անեզը և այլն:

Գայլիկոններն օգտագործվում են հոծ նյութի մեջ ինչպես միշան-

ցիկ, այնպես էլ խոր անցքեր բացելու համար, ինչպես նաև գոյություն ունեցող անցքերի լայնացման համար:

Ամենալայն տարածում են ստացել պարուրած կայլիկոնները: Այդ պատճառով տվյալ աշխատանքը զլիքավորապես բովանդակում է պարուրածն գայլիկոնի երկրաշափության ուսումնասիրումը, գայլիկոնի ոճագրի կազմումը, ծանոթացում գայլիկոնների երկրաշափական պա-



Նկ. 71. Պարուածն գայլիկոնի կառուցվածքը

րամետրերի շափման համար օգտագործվող սարքերի և դորձիքների հետ, ինչպես նաև գայլիկոնների պետական ստանդարտների (ГОСТ) հետ:

Պարուածն գայլիկոնի կառուցվածքը: Նկ. 71-ում բերված է պարուրած գայլիկոնը և տրված են նրա բոլոր հիմնական մասերի անվանումները: Գայլիկոնի աշխատող մասն ունի առվակներ, իսկ կտրող մասը՝ կտրող եզրեր, որոնք կատարում են կտրման հիմնական աշխատանքը:

Գայլիկոնի պոչամասը նախատեսված է գայլիկոնն ամրացնելու համար (սովորաբար պոչամասերը լինում են կոնաձև և զրյանաձև):

Գայլիկոնի վզիկը գայլիկոնի պոչամասի և իրանի միջանկյալ մասն է, որն իր մեջ ընդգրկում է նաև գայլիկոնի աշխատող մասը:

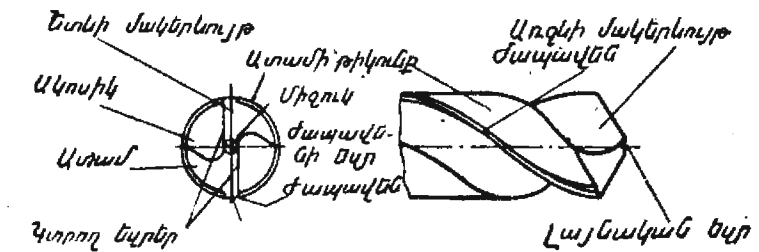
Գայլիկոնի թաթիկը նրա կոնաձև պոչամասի ծայրն է, որը հենարան է հանդիսանում հաստոցի իլի կոնական անցքից գայլիկոնը հանելու համար:

Գայլիկոնի տարրիչը գայլիկոնի գլանաձև պոչամասի ծայրը ծայրիկ, որը նախատեսված է կտրման լրացուցիչ ոլորող մոմենտ հազրիկ լայնացման համար:

Նկ. 72-ում ցույց են տրված գայլիկոնի տարրերը, մակերեսույթները և եզրերը:

Գայլիկոնի առամենքը նրա կտրող եզրը ունեցող ելունն է:

Գայլիկոնի ժամանակակից մակերեսույթի զուրս ելած նեղ շերտիկն է:



Նկ. 72. Գայլիկոնի տարրերը, մակերեսույթները և եզրերը

Գայլիկոնի առամենքի թիկունքը նրա առամի արտաքին մակերեսույթի խորացված մասն է:

Գայլիկոնի առվակը տաշեղի հեռացման համար ծառայող փոխիկ է:

Գայլիկոնի միջուկը նրա միջին մասն է, որը համապատասխանում է երկու առվակների մակերեսույթը շոշափող շրջանագիրն:

Գայլիկոնի առվակի մակերեսույթը նրա կտրող մասի վրա:

Գայլիկոնի ետևի մակերեսույթը առամի ճակատի մակերեսույթն է նրա կտրող մասի վրա:

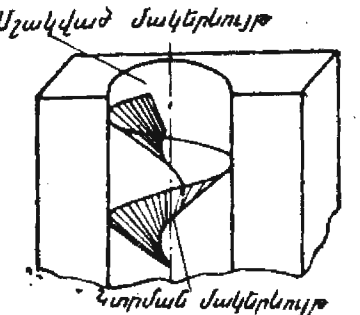
Գայլիկոնի կտրող եզրը մի գիծ է, որն առաջանում է առջևի և ետևի մակերեսույթների փոխհատումից:

Ժամանակակից մակերեսույթը նրա պատճենագիրը:

Նկ. 73-ում ցույց են տրված մշակվող գետալի մակերեսույթները:

Լայն ական եզրը մի գիծ է, որն առաջանում է առջևի և ժամանակակից մակերեսույթների փոխհատումից:

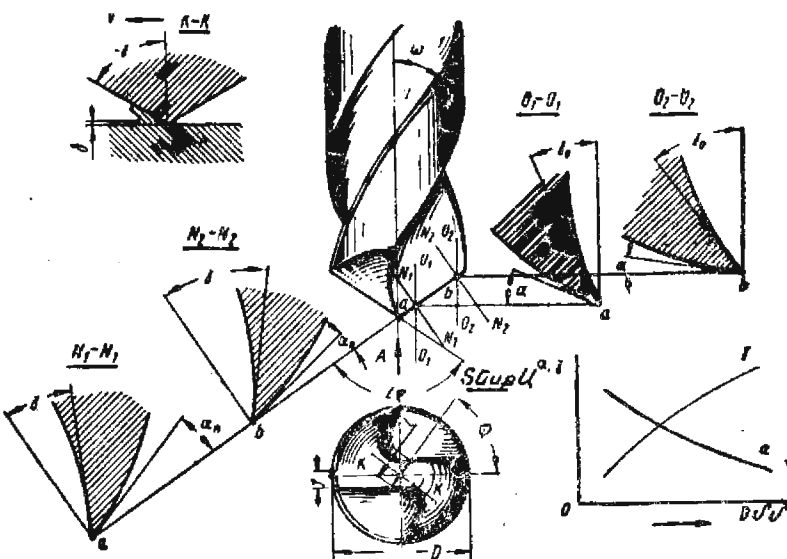
Մշակած մակերեսույթը գայլիկոնի պատճենագիրը մակերեսույթն է:



Նկ. 73. Մշակվող դետալի մակերեսույթները

Կ տ ր մ ա ն մ ա կ ե ր ե ռ ւ յ թ ը կ տ լ ո ղ ե զ ր ի պ ա տ ո ւ տ ա կ ա յ ի ն շ ա ր շ ո ւ մ ո վ գ ո յ ա ց ո ղ մ ա կ ե ր ե ռ ւ յ թ ն է :

Կ տ ր մ տ ն Հ ա ր թ ու թ յ ու ն ը կ տ ր մ ա ն մ ա կ ե ր ե ռ ու յ թ ի ն շ ո շ ա փ ո ղ Հ ա ր թ ո ւ թ յ ո ւ ն է և ա ն ց ն ու մ է կ տ ր ո ղ ե զ ր ի ք ն ն ա ր կ վ ո ղ կ ե տ ո վ :



Նկ. 74. Գալուստի կտրող տարրերի երկրաշափությունը

Նկ. 74-ում բերված է գալլիկոնի կտրող տարրերի երկրաչափությունը:

Ետեսի շանկումը շափառում է դլանային մակերևույթին շոշափող ծարթության մեջ, բայց որում գլանի առանցքը համընկնում է՝ դայլիկոնի առանցքի հետ։ Ետեսի անկյունը կազմվում է կտրող եղրի վրա քննարկվող պահում ետեսի մակերևույթին և գալլիկոնի պատաման առանցքի շուրջը շափառության առանձին տարրածք։

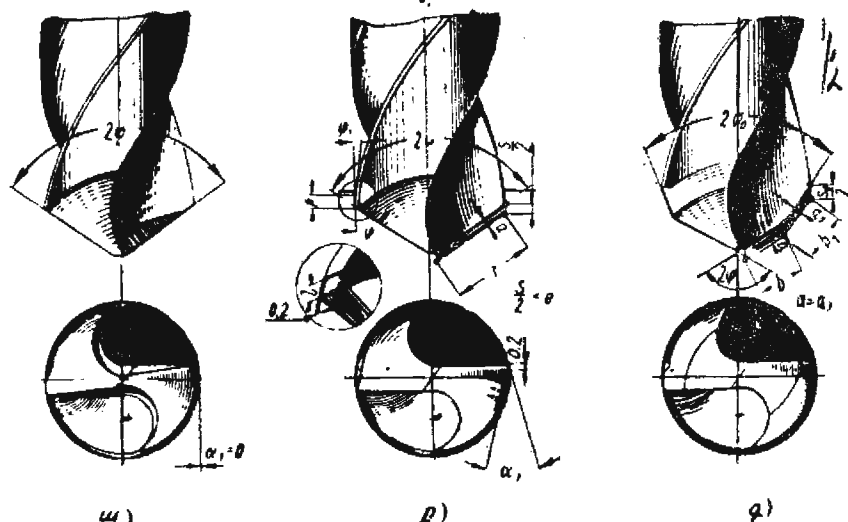
Φωιδικούνή կարող եղի տարբեր կետերում ետևի անկյունները տարբեր են:

Առջեկ շանկունը չափվում է գլխավոր կտրող եզրին տարված նորմալ N:N: Հարթության վրա: Առջեկ անկյունը կազմվում է կտրող եզրի վրա քննարկվող պահանջման մակերևությին տարված շրջափողվ և այդ կետում գայլիկոնի առանցքի շուրջը կտրող եզրի պահանջման մակերևությին տարված նորմալով: Լայնական կտրող եզրի վրա առջեկ սնկունը բացասական է (տե՛ս կ-կ հատվածը, պժ. 74):

կանական եղբի թերման վանակունի աշուհելունի ա-

սանցքին ուղղահայաց հարթության վրա լայնական և կտրող եղբերի պը-
ր ոյի կցիանն ըստ կազմված սուր անկյունն է (տե՛սք Ա.), ի այնական և կտրող
եղբերը պայմանականորեն ուղղագիծ են ընդունում: Նկ. 75-ում ցույց են
տրված պարուրած գալլիկոնի սրման տարբեր գեպքերը. նորմալ սր-
բում՝ լայնական եղբի ենթասրբումով (նկ. 75, ա), նորմալ սրում՝ ժա-
ռավենի ենթասրբումով (նկ. 75 բ) և կրկնակի սրում (նկ. 75, գ):

Կարող եղբերով կազմված անկյունը կոչվում է գագաթի անկյուն՝ այս առ 25°: Արկանի սրբած գալիքաններում առաջանում է 25° և 27° ասպաթային անկյունները՝ բեկյալ գծով գտնվող կարող եղբին համապատասխան (նկ. 75, գ):



Նկ. 75. Պարույրաձև զայտիկների սրման տեսակները

Նկ. 76-ում բերված է պտուտակային առվակի թեքման անկյունը՝ պարուրաձև գալյիկոնները պատրաստվում են ինչպես աշ, այնպես էլ ձախ պտուտակային առվակիներով։ Սովորաբար, գալյիկոններն ունենում են աշ պտուտակային առվակիներ և կիրառվում են աշ պտուտման շամար (պտուտակագիծ վեր է բարձրանում ձախից աշ)։

Պտուտակային առվակի թեքման անկյունը դայլիկոնի առանցքի և կտրող մասի ժապավենի եզրի փոված պտուտակակըծի միջև ընկած անկյունն է (նկ. 76): Պտուտակային առվակի քայլը (Ա) (տեսական) ժապավենի եզրի քայլն է, որը հաշվում է ըստ պտուտակային առվակի թեքման անկյան: Պտուտակային առվակի հաստատում քայլի դեպքում պարուուած գայլիկոնը կտրող եզրի

տարրեր կետերում ունի պտուտակային առվակների թեքման տարրեր անկյուններ (ω): Գայլիկոնի ծայրին մոտիկ պտուտակային առվակի թեքման անկյունն ամենամեծն է, և նրա կենտրոնին մոտենալիս այն դիբրանում է:

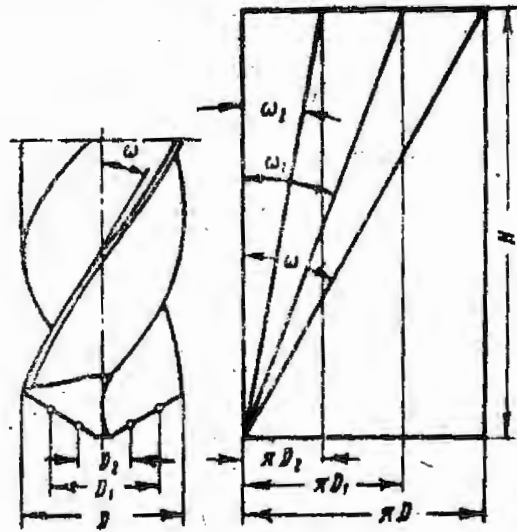
Պտուտակային առվակի թեքման անկյան (ω) մեծությունը որոշվում է հետեւյալ բանաձևով՝

$$\operatorname{tg} \omega = \frac{\pi \cdot D}{H},$$

որտեղ D -ն գայլիկոնի տրամագիծն է մմ-ով,

ի-ը՝ պտուտակային առվակի բայլը մմ-ով,

Պարուածն գայլիկոնի կտրող մասի երկրաչափական տարրերի շափման սարքեր: Նկ. 77-ում ցույց է տրված գայլիկոնի գագաթի ան-



Նկ. 76. Պտուտակային առվակի բերման անկյունը

կլան (2φ) շափումը ունիվերսալ անկյունաշափով, իսկ նկ. 78-ում՝ լայնական եզրի թեքման անկյան (ψ) շափումը նույն անկյունաշափով: Նկ. 79-ում ցույց է տրված անկյունաշափի և պրիզմայի վրա գտյալիկոնի տեղակայումը՝ պտուտակային առվակի թեքման անկյունը (ω) շափելու ժամանակ: Գայլիկոնը տեղակայելիս անհրաժեշտ է զիսավոր կարող եղություն տեղադրել հորիզոնական հարթության վրա:



Նկ. 77. Գայլիկոնի գագաթի անկյան
(2φ) շափումը ունիվերսալ
անկյունաշափով

Նկ. 78. Գայլիկոնի լայնական եզրի
թեքման անկյան (ψ) շափումը
ունիվերսալ անկյունաշափով



Նկ. 79. Գայլիկոնի պտուտակային առվակի բերման անկյան (ω):
շափումը անկյունաշափով

Նկ. 80-ում ցույց է տրված գայլիկոնի տրամագծի շափումը սովորական միկրոմետրով, իսկ նկ. 81-ում՝ գայլիկոնի միջուկի տրամագծի շափումը սուր ծայրապանակներ ունեցող միկրոմետրով: Լայնացրծի շափումը սուր ծայրապանակներ ունեցող միկրոմետրով:

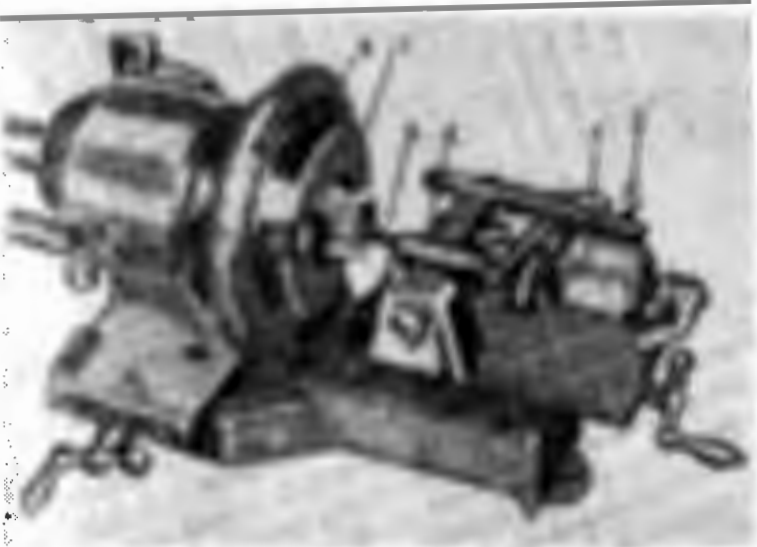


Նկ. 81. Գայլիկոնի ետևի անկյունների չափման սարք

Նկ. 82. Գայլիկոնի ետևի անկյունների չափման սարք

կան եղրի երկարությունը և ժապավենի լայնությունը գալիքոնի դաշտի մոտ չափում են ձողակարգինով:

Գայլիկոնի ետևի անկյունների չափման սարք: Սարք (նկ. 82) բաղկացած է կապիչից (1), որի մեջ սեղմված է գայլիկոնը, կալիչից (2)՝ չափիչ ձողով (3), և թմբուկից (4): Վրող մատիտով (5): Կապիչը տեղակայված է սահնակների վրա, որոնք կարող են տեղափոխվել զայ-



Նկ. 82. Գայլիկոնի ետևի անկյունների չափման սարք

լիկոնի առանցքին ուղղահայաց: Կալիչը չափիչ հետ միասին և որող սարքը նույնպես մոնտաժված են սահնակների վրա, որոնք կարող են շարժվել գայլիկոնի առանցքի ուղղությամբ: Դայլիկոնի պտույտը թմբուկին հաղորդվում է երկու անգամ փոքր արագությամբ՝ առամնակիվների օդնությամբ: Զողը միշտ սեղմված է գայլիկոնի ետևի մակերեսովին: Թափանիկի (6) օգնությամբ գայլիկոնը պտտեցնելիս չափիչ ձողը տեղափոխվում է գայլիկոնի առանցքի երկայնքով և այդ ժամանակամիջոցում մատիտը, շնորհիվ լծակալին փոխանցման, հակառակ սողությամբ թմբուկի վրա գծում է կոր գիծ:

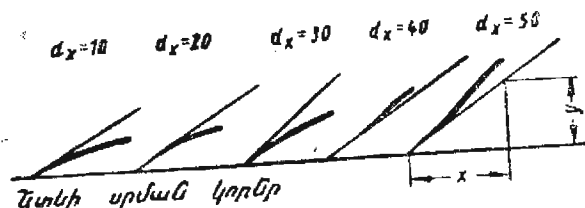
Նկ. 83-ում բերված է սարքի վրա գրանցված գայլիկոնների ետևի սակերեսովիների սրման կորերը, Եթե այդ կորերին տանենք շոշափողներ, ապա կարելի է որոշել որդինատները (յ)՝ ընտրված մեծություն-

Աերին (X) համեմատ զափված ետևի անկյունը (z) որոշվում է համելալ բանաձևով՝

$$\operatorname{tg} \alpha = \frac{7,5 \text{ y}}{\text{d}_x x},$$

որտեղ 7,5-ը սարքի դիմումի վրա մասշտարի փոքրացումը հաշվի առնելով ճշտապուն գործակից է:

Գալիքը կրների ետևի անկյունները կարող են շափվել նաև կոռոդի նատախին մեթոդով:



ԴԱ. 83. Գայլիկոնի ետևի մակերեռույթների սրման կորեր

Գայլիկոնի առջևի անկյունների որոշումը: Գայլիկոնի առչեմի անկյունը (՞) որոշվում է կտրող եզրին ուղղահայց հարթության վրա (անկյուն նկ. 74): Տարրեր հատվածքների համար ՞ անկյունը որոշվում է հետևյալ բանաձևով՝

$$\operatorname{tg} \gamma_i = \frac{\operatorname{tg} \omega_i}{\sin \varphi} :$$

Գայլիկոնի կտրող եղբի ընտրված կետերում առջևի անկյունը՝ (7) որոշելու համար անհրաժեշտ է սկզբում այդ կետերում որոշել պտու տակալին առվակների թեքման անկյունները օ:

Գայլիկոնի արտաքին տրամագծին համապատասխան անկյուն
շափվում է անկյունաշափով (տե՛ս նկ. 79):

Միջանկյալ հատվածքներում անկյունների որոշման հասանելիության մասին պարունակությունից սկզբում որոշվում է պարույրի քայլը

$$H = \frac{\pi D}{tg \omega},$$

իսկ այնուհետև Հ-ի հաստատում արժեքի դեպքում օլ անկյունը որոշվում է հետևյալ բանաձևից՝

$$\operatorname{tg}\omega_i = \frac{\pi d_x}{H}$$

որտեղ ձևը ընտրված է կետին համապատասխանող տրամադիմն է:

ԵՐԵՎԱՆԻ ԱՅԽՈՎՈՒԹՅԱՆ ԿԵՆՏՐՈՆԻ ՀԱՆՐԱՊԵՏՈՒԹՅԱՆ

1. Առկա գալլիկոնների կառուցվածքների հետ ծանոթանալուց և շափիչ գործիքի գործողության սկզբունքն ուսումնասիրելուց հետո յուրաքանչյուր ուսանող ստանում է երկու գալլիկոն (գալլիկոններից մեկն ունի կարծր միահալվածք շերտիկ) և շափում գալլիկոնների բոլոր կոնդակությունները: Գափման արդյունքները գրանցվում են և, առաջանագրության մեջ:

U. P. & M. V. M. q. P. n. L. P. J. n. L. N. N. S. m.

№-ը	Համակառներ	Գալուստ Մանուկյան	Վահագին	Տիգրան Մանուկյան	Արմավագիծը	Գայլիկոնի
1	Աղջամամակ Ժնան՝ D ₁	Գայլիկոնի արամագիծը մմ-ով	Գայլիկոնի միջնակի արամագիծը մմ-ով	Լոյնական ընթացքը՝ 1 մմ-ով	Կայականիան եղուկ ընթացքը՝ 1 մմ-ով	Գայլիկոնի արամագիծը մմ-ով
2	Աղջամամակ Ժնան՝ D ₂	Գայլիկոնի արամագիծը մմ-ով	Գայլիկոնի միջնակի արամագիծը մմ-ով	Բարձրական ընթացքը՝ 0 մմ-ով	Կայականիան եղուկ ընթացքը՝ 1 մմ-ով	Գայլիկոնի արամագիծը մմ-ով
3	Աղջամամակ Ժնան՝ D ₃	Գայլիկոնի արամագիծը մմ-ով	Գայլիկոնի միջնակի արամագիծը մմ-ով	Բարձրական ընթացքը՝ 0 մմ-ով	Կայականիան եղուկ ընթացքը՝ 1 մմ-ով	Գայլիկոնի արամագիծը մմ-ով
4	Աղջամամակ Ժնան՝ D ₄	Գայլիկոնի արամագիծը մմ-ով	Գայլիկոնի միջնակի արամագիծը մմ-ով	Բարձրական ընթացքը՝ 0 մմ-ով	Կայականիան եղուկ ընթացքը՝ 1 մմ-ով	Գայլիկոնի արամագիծը մմ-ով

2. Մեկ գալիքոնի տարրեր հատվածքներում կատարել ետևի անունների շափում և կառուցել գալիքոնի տրամադիր ետևի անկյան սխոփման կախվածության կորը: Զափման և հաշվարկի արդյունքները անցփում են № 8, բ արձանագրության մեջ:

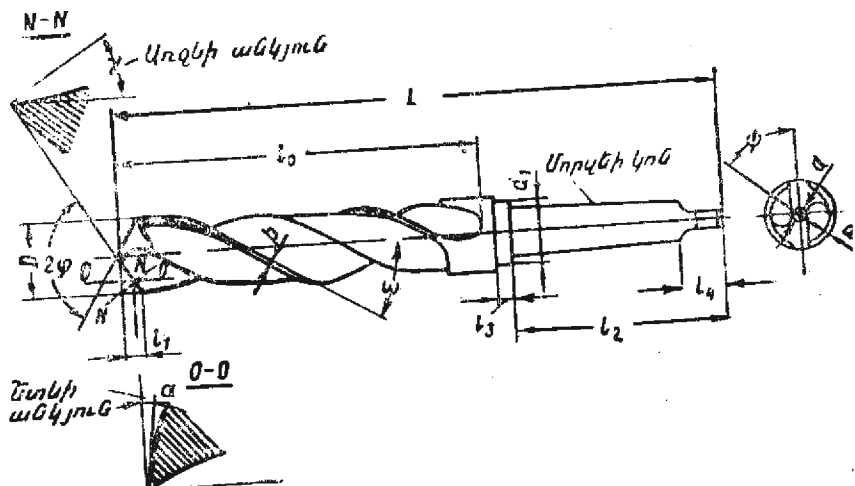
3. Կատարել առցեի անկյունների հաշվարկ մեկ գայլիկոնի տարրեր հատվածքների համար և որոշել առցեի անկյունների փոփոխման ուժինաշափությունը տարրեր տրամադերի համար: Գաֆման արդյունքները գրանցում են № 8, գ արձանագրության մեջ:

4. №8, բև №8, գարձանապուլիյուններում բերված չափումների

Updawm qpm 3n18, p

$\frac{d}{dx} \sin x$ $\cos x$	$\frac{d}{dx} \cos x$ $-\sin x$	$\frac{d}{dx} \tan x$ $\sec^2 x$	$\frac{d}{dx} \sec x$ $\sec x \tan x$	$\frac{d}{dx} \csc x$ $-\csc x \cot x$
x $\pi/2$	y 0			

U.P. & M.W. M.R. n. 1873, p. 18.



Նկ. 84. Պարուրաձև գայլիկոնի աշխատանքային գծապիր

և Հաշվարկների արդյունքների հիման վրա կառուցել նկ. 74-ում բերված
շ. և Դ անկյունների դրաֆիկական կախումը Ըստ արամագից:

5. Մեկ գալիքիոնի համար տալ գծադիր բոլոր անհրաժեշտ պրոյեկցիաներով ու հատվածքներով։ Նկ. 84-ում բերված է պարուրած գալիքիոնի աշխատանքային գծադիրը։

11. 2 խառանգք № 9

ԿՏՐՄԱՆ ՈՒՓԵՐԸ ԳԱՅԼԻԿՈՆՄԱՆ ԺԱՄԱՆԱԿ

Գայլիկոնման ժամանակ առաջողով առանցքային ուժի և մօմենտի իրենց վրա են ընդունում գայլիկոնը, մշակվող նախապատրաստվածքը, հաստոցը և հարմարանքները: Առանցքային ուժի (P) և մօմենտի (M) մեծությունները կախված են մշակվող նյութի ամրությունից, գայլիկոնի երկրաշափությունից, մատուցումից, գայլիկոնի տրամադրման և այլ գործուներից: Առանցքային ուժի (P) և մօմենտի (M) պիտենալն անհրաժեշտ է գայլիկոնի հաստոցների, գայլիկոնների, հարմարանքների, մշակված դետալի ճշգրտության և այլ ինժեներական հաշվարկների համար:

Էստ առանցքային ուժի (Р) ստուգաձևելու համար դինամոմետրը (1) դրվում է հատուկ սալի (2) վրա (նկ. 85), որին ամրացված են կանգնակներ (3). Դինամոմետրի վրա դրվում է ստուգի դինամոմետր (4), որի աշխատող զլանի կափարիչն հենվում է ետ զցովի տրավերսի (6) մեջ պտուտակված հեղույսը (ձ): Բանակ-բանալիով պտտեցնելով մանեկը (7), կարելի է առաջացնել արհեստական բեռնվածք առանցքային ուժի (Р) ուղղությամբ, որը նշում է գալվանոմետրը (8):

Ինչպես և խառուտային դինամոմետրի սուրճշտուման դեպքում սկզբում կատարվում է աստիճանական բեռնում ($50-100$ կԴ մեղքընդմեջ, նայած գինամոմետրի բնութագրին), իսկ այնուհետեւ բեռնաթափում։ Սուրճշտուման արդյունքները դրանցվում են № 9, ա արձանագրության մեջ։

Բեռնավորման և բեռնաթափման տվյալներն ստանալուց հետո կապուցիւմ են (նկ. 86) Պուժի և գալվանոմետրի ցուցմունքների միջև կախվածության ստուգաճշտման գրաֆիկ (բեռնման և բեռնաթափման գծերի միջև ընկած միջին գիծը):

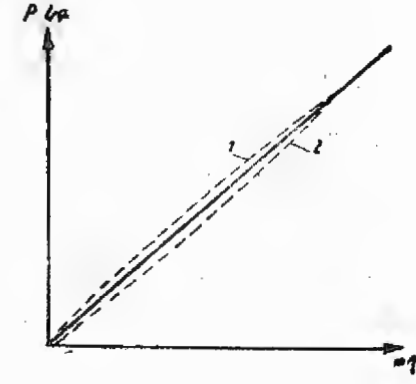
Արձանագրություն № 9, ա

Առանձին բային ուժը՝ Բ			Մ ա ժ ե ն ո ւ լ ։ Ա		
Բեռնավորման ուժը՝ Բ	Բեռնաթափման ուժը՝ Բ	Բեռնաթափման ուժը՝ Բ	Բեռնավորման ուժը՝ Բ	Բեռնաթափման ուժը՝ Բ	Բեռնավորման ուժը՝ Բ
Արձանագրի մակարդակը՝ կամ արժանացած է առանձին բային ուժը՝ Բ	Արձանագրի մակարդակը՝ կամ արժանացած է առանձին բային ուժը՝ Բ	Արձանագրի մակարդակը՝ կամ արժանացած է առանձին բային ուժը՝ Բ	Արձանագրի մակարդակը՝ կամ արժանացած է առանձին բային ուժը՝ Բ	Արձանագրի մակարդակը՝ կամ արժանացած է առանձին բային ուժը՝ Բ	Արձանագրի մակարդակը՝ կամ արժանացած է առանձին բային ուժը՝ Բ
1	2	3	4	5	6
7	8	9	10	11	12
13	14	15	16	17	18
19	20	21	22	23	24
25	26	27	28	29	30
31	32	33	34	35	36
37	38	39	40	41	42
43	44	45	46	47	48
49	50	51	52	53	54
55	56	57	58	59	60
61	62	63	64	65	66
67	68	69	70	71	72
73	74	75	76	77	78
79	80	81	82	83	84
85	86	87	88	89	90
91	92	93	94	95	96
97	98	99	100	101	102
103	104	105	106	107	108
109	110	111	112	113	114
115	116	117	118	119	120
121	122	123	124	125	126
127	128	129	130	131	132
133	134	135	136	137	138
139	140	141	142	143	144
145	146	147	148	149	150
151	152	153	154	155	156
157	158	159	160	161	162
163	164	165	166	167	168
169	170	171	172	173	174
175	176	177	178	179	180
181	182	183	184	185	186
187	188	189	190	191	192
193	194	195	196	197	198
199	200	201	202	203	204
205	206	207	208	209	210
211	212	213	214	215	216
217	218	219	220	221	222
223	224	225	226	227	228
229	230	231	232	233	234
235	236	237	238	239	240
241	242	243	244	245	246
247	248	249	250	251	252
253	254	255	256	257	258
259	260	261	262	263	264
265	266	267	268	269	270
271	272	273	274	275	276
277	278	279	280	281	282
283	284	285	286	287	288
289	290	291	292	293	294
295	296	297	298	299	300
301	302	303	304	305	306
307	308	309	310	311	312
313	314	315	316	317	318
319	320	321	322	323	324
325	326	327	328	329	330
331	332	333	334	335	336
337	338	339	340	341	342
343	344	345	346	347	348
349	350	351	352	353	354
355	356	357	358	359	360
361	362	363	364	365	366
367	368	369	370	371	372
373	374	375	376	377	378
379	380	381	382	383	384
385	386	387	388	389	390
391	392	393	394	395	396
397	398	399	400	401	402
403	404	405	406	407	408
409	410	411	412	413	414
415	416	417	418	419	420
421	422	423	424	425	426
427	428	429	430	431	432
433	434	435	436	437	438
439	440	441	442	443	444
445	446	447	448	449	450
451	452	453	454	455	456
457	458	459	460	461	462
463	464	465	466	467	468
469	470	471	472	473	474
475	476	477	478	479	480
481	482	483	484	485	486
487	488	489	490	491	492
493	494	495	496	497	498
499	500	501	502	503	504
505	506	507	508	509	510
511	512	513	514	515	516
517	518	519	520	521	522
523	524	525	526	527	528
529	530	531	532	533	534
535	536	537	538	539	540
541	542	543	544	545	546
547	548	549	550	551	552
553	554	555	556	557	558
559	560	561	562	563	564
565	566	567	568	569	570
571	572	573	574	575	576
577	578	579	580	581	582
583	584	585	586	587	588
589	590	591	592	593	594
595	596	597	598	599	600
601	602	603	604	605	606
607	608	609	610	611	612
613	614	615	616	617	618
619	620	621	622	623	624
625	626	627	628	629	630
631	632	633	634	635	636
637	638	639	640	641	642
643	644	645	646	647	648
649	650	651	652	653	654
655	656	657	658	659	660
661	662	663	664	665	666
667	668	669	670	671	672
673	674	675	676	677	678
679	680	681	682	683	684
685	686	687	688	689	690
691	692	693	694	695	696
697	698	699	700	701	702
703	704	705	706	707	708
709	710	711	712	713	714
715	716	717	718	719	720
721	722	723	724	725	726
727	728	729	730	731	732
733	734	735	736	737	738
739	740	741	742	743	744
745	746	747	748	749	750
751	752	753	754	755	756
757	758	759	760	761	762
763	764	765	766	767	768
769	770	771	772	773	774
775	776	777	778	779	780
781	782	783	784	785	786
787	788	789	790	791	792
793	794	795	796	797	798
799	800	801	802	803	804
805	806	807	808	809	810
811	812	813	814	815	816
817	818	819	820	821	822
823	824	825	826	827	828
829	830	831	832	833	834
835	836	837	838	839	840
841	842	843	844	845	846
847	848	849	850	851	852
853	854	855	856	857	858
859	860	861	862	863	864
865	866	867	868	869	870
871	872	873	874	875	876
877	878	879	880	881	882
883	884	885	886	887	888
889	890	891	892	893	894
895	896	897	898	899	900
901	902	903	904	905	906
907	908	909	910	911	912
913	914	915	916	917	918
919	920	921	922	923	924
925	926	927	928	929	930
931	932	933	934	935	936
937	938	939	940	941	942
943	944	945	946	947	948
949	950	951	952	953	954
955	956	957	958	959	960
961	962	963	964	965	966
967	968	969	970	971	972
973	974	975	976	977	978
979	980	981	982	983	984
985	986	987	988	989	990
991	992	993	994	995	996
997	998	999	999	999	999

Նկ. 85. Գինամոմետրի ստուգանշտումը ըստ Պուժի առանցքային ուժի:

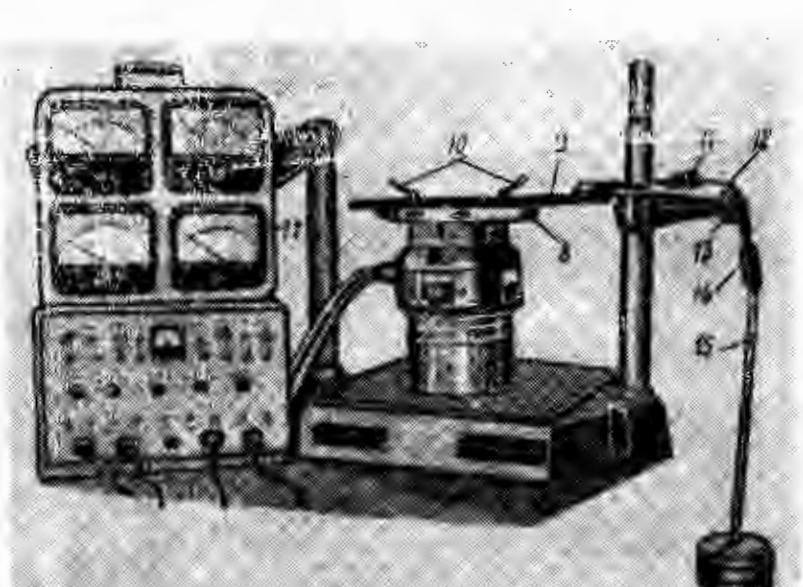
Հրկայնական ակոսները Քանոնի (9) պրիզմայի մեջ չենված է անրիկը (11), որին ամրացված է պողպատե ժապավենը (12): Ժապավենը (12) հագուստ է հոլովակին (13): Ժապավենի մյուս ծայրը ամրացված է անվագում ենանի (14), որը կարելի է սեղանակ-բառով (15): Գալվանոմետրի գալվանոմետրը (16):

Գիտենալով Պ ուժի կշիռը կ 1 բազուկը (նկ. 88), կարելի է հշատությամբ որոշել ոլորող մոմենտի Ակնավորման և բեռնաթափման տվյալներով (տե՛ս արձանագրություն № 9, ա) կառուցվածքը է մոմենտի և գալվանոմետրի ցուցմունքների միջև կախվածության ստուգաճշտման գրաֆիկ (նկ. 89):

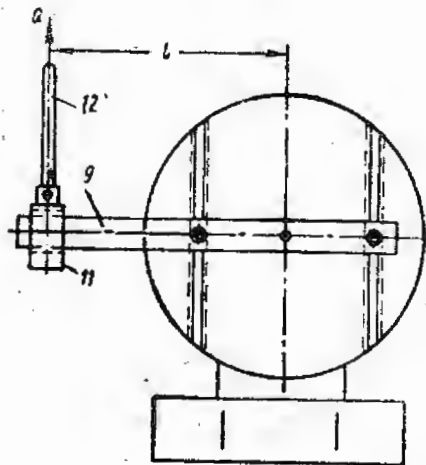


Նկ. 86. Առանցքային Պ ուժի ստուգանշտումը գրաֆիկ:

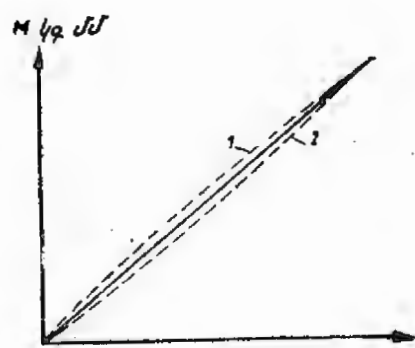
1 բեռնամունքը առանձին բառում



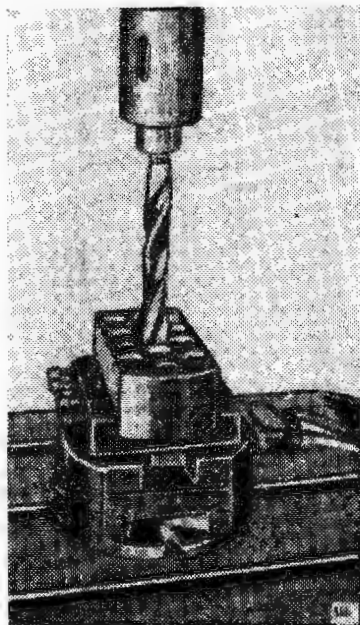
Նկ. 87. Գինամոմետրի ստուգանշտումը ըստ Ա մոմենտի



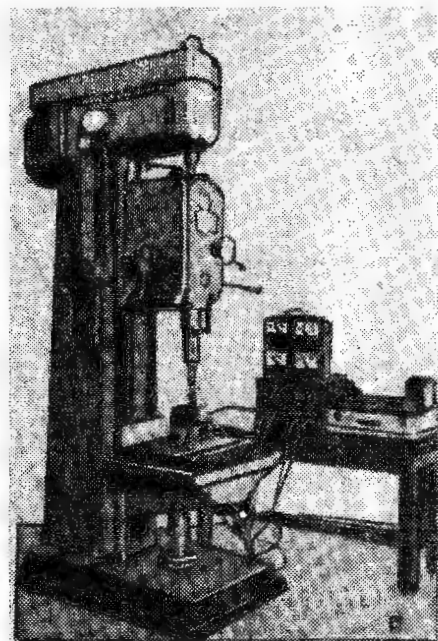
Նկ. 88. Գինամուտերի սեղանի վրա բակի տերուցման սխեմա



Նկ. 89. Ա մոմենտի ստուգանշտման գրաֆիկ
1—բեռնափուլ, 2—բեռնաբափուլ



Նկ. 90. Ուղաձիգ-գայլիկանի հասացի վրա դինամուտերի տեղակայման բնշանութ տեսքը



Գայլիկոնի տրամագծի և մատուցման ազդեցությունը P առանցքային ուժի և M մոմենտի վրա: Առաջադրանքը բաղկացած է երկու մասից և կատարվում է ուղղաձիգ-գայլիկոնի հաստոցի վրա՝ կորման ուժի չափման համար օգտագործելով ՍԴՄ-1 ունիվերսալ դինամումետրը (նկ. 90, տ և բ):

Առաջադրանքի առաջին մասում փոփոխվում է գայլիկոնի տրամագիծը (օրինակ՝ 15, 20, 25 և 30 մմ), իսկ երկրորդ մասում՝ մատուցումը (օրինակ՝ 0,14, 0,19, 0,27 և 0,40 մմ/պտույտ):

Պ առանցքային ուժի և M մոմենտի չափման արդյունքները գրանցվում են Նկ. 9, բ արձանագրության մեջ:

Չափման արդյունքներն այնուհետև ենթարկում են դրաֆուանալիտիկ մշակման՝ առանցքային ուժի (P) և մոմենտի (M) հաշվման բանաձևերում c_p , c_m գործակիցները և x_p , y_p , x_m ու y_m աստիճանացույցները որոշելու համար:

$$P = c_p \cdot D^x p \cdot S^y p \cdot \text{կՊ.}$$

$$M = c_m \cdot D^x m \cdot S^y m \cdot \text{կՄ.} \text{ մմ:}$$

x_p աստիճանացույցի որոշման համար կոորդինատների կրկնակիրգարիթմական սխստեմում կառուցում են $P - D$ կախվածության դրաֆիկը (նկ. 91): Ուղղղի թեքության անկյան տանգինաը, որը հավասար է D -ի աստիճանացույցին, որոշվում է հետևյալ հարաբերությունից՝

$$x_p = \operatorname{tg} \alpha_1 = \frac{a}{b} = \frac{\cdot \cdot \cdot}{\cdot \cdot \cdot} \cdot \cdot \cdot ;$$

Արձանագրություն Նկ. 9, բ

Մշակող նյութը				Կարծրությունը՝ 118 ·	
գայլիկոնի տրամագի- թը՝ D , մմ-ով	մատու- ցումը՝ S , մմ/պտույտ	ուսույու- ների թիվը	կորման արագու- թյունը՝ v , մ/րոպե-ով	առանցքային ուժը՝ P	մատ- հանուր մ՝ M

Մատուցման վրա աստիճանացույցը որոշելու համար կոորդինատների կրկնակիրգարիթմական սխստեմում կառուցում են $P - S$ կախվածության գրաֆիկը (նկ. 92), որից և գտնում են մատուցման վրա աստիճանացույցը՝

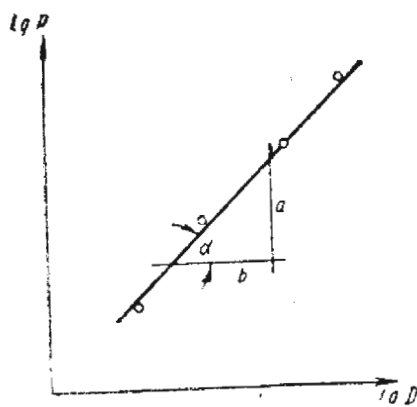
$$y_p = \operatorname{tg} \alpha_1 = \frac{a_1}{b_1} = \frac{\cdot \cdot \cdot}{\cdot \cdot \cdot} \cdot \cdot \cdot ;$$

Ըստ գործակիցը որոշելու համար № 9, քարձանագրությունից վերցնում են Բ-ի որևէ արժեքը (*որոշակի D-ի և S-ի դեպքում*) և, հաշվի առնելով ստացված տվյալները, չընուի յը-ն հաշվարկում են հետեւյալ բանաձևով՝

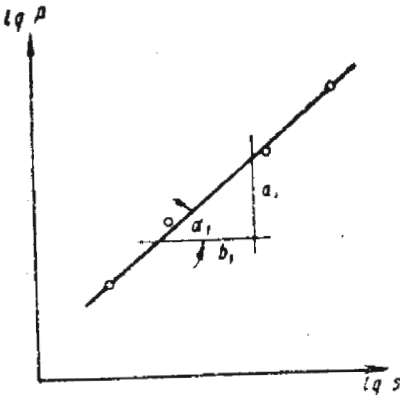
$$c_p = \frac{P}{D^x_p + S^y_p};$$

Նկատի ունենալով ելակետային տվյալները և բոլոր ստացված մեծությունները, P ուժի որոշման բանաձևը վերջնական տեսքով կդրվի հետեւյալ կերպ՝

$$P = \dots D \dots S \dots \text{կՊ:}$$



Նկ. 91. Գայլիկոնի տրամագծի աղղեցությունը առանցքային ուժի վրա



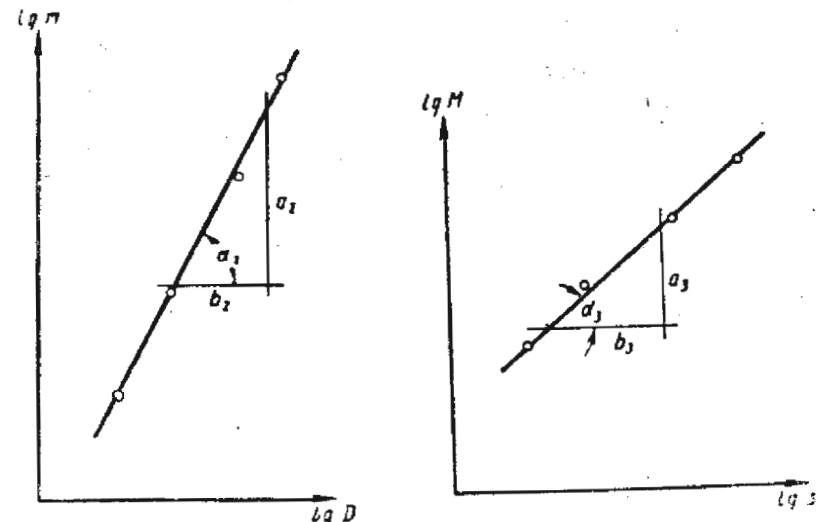
Նկ. 92. Մատուցման աղղեցությանը առանցքային ուժի վրա

Նման ձևով կտրման դիմադրության ուժերից առաջացած մոմենտի՝ Ա հաշվման բանաձևում որոշում են X_m, Y_m և C_m նշանակությունները, կառացելով $\lg M - \lg D$ (Նկ. 93) և $\lg M - \lg S$ (Նկ. 94) կախվածությունների գրաֆիկները:

Նկ. 84 և Նկ. 85-ից որոշվում են՝

$$X_m = \operatorname{tg} \alpha_2 = \frac{a_2}{b_2} = \dots, \quad Y_m = \operatorname{tg} \alpha_3 = \frac{a_3}{b_3} = \dots;$$

Նկատի ունենալով ելակետային տվյալները և ստացված մեծություն-



Նկ. 93. Գայլիկոնի տրամագծի աղղեցությունը մոմենտի վրա

և երրորդ Ա մոմենտի որոշման բանաձևը վերջնականորեն գրկում է հետեւյալ տեսքով՝

$$M = \dots D \dots S \dots \text{կՄ:}$$

ԽԵԹՈՒՐՈՒՅՆ ԱՇԽԱՏԱՆՔԻ ԿԱՏԱՐՄԱՆ ԱՌԱՋԱԴՐԱԿՐԱԿ

1. Ուսումնասիրել կատարվող աշխատանքի բովանդակությունը, մեթոդիկան, գայլիկոնման դեպքում կորման ուժերի հետազոտման սարավորումը, շափիլ գործիքները և գայլիկոնների կառուցվածքները:

2. Սառւաճշտել առանցքային ուժի և մոմենտի շափման դիմամոմետրը: Հատ շարադրված մեթոդիկայի կառուցել առանցքային ուժի (P) և մոմենտի (M) ստուգաճշտման գրաֆիկները:

3. Կատարել հետազոտություններ.

ա) գայլիկոնման դեպքում առաջացող առանցքային ուժի և մոմենտի մեծության վրա գայլիկոնի տրամագծի աղղեցությունը որոշելու համար: Այդ գործերը կատարվում են գայլիկոնների տարրեր (ոչ պակաս չորս) արամագծերի համար, հաստատուն մատուցման դեպքում:

բ) գայլիկոնման դեպքում առաջացող առանցքային ուժի և մոմենտի մեծության վրա մատուցման աղղեցությունը որոշելու համար: Փորձերը կատարվում են տարրեր մատուցումներով (շորսից ոչ պակաս) մեկ գայլիկոնով:

4. Մշակել փորձնական տվյալները, կառուցել ֆունկցիոնալ կախվածության գրաֆիկներ, որոշել գալիքոնի տրամագծի և մատուցման աստիճանացույցները, արտածել երկու հավասարումները, որոնցից մեկն արտահայտում է ուժի, տրամագծի ու մատուցման միջև կապը, մյուսը՝ մոմենտի կապը նույն դորձումների հետ: Վերլուծել ստացված տրվունքները և տալ համառոտ գրավոր հզրակացություն կատարված աշխատանքի մասին:

Ը շ խ ա տ ա ն ի թ Ա 10

ԱՐԵՋՆԵՐԻ ԵՐԿՐՈՍՑՈՒԹՅՈՒՆԸ ԵՎ ՖՐԵԶՄԱՆ ԴԻՆԱՄԻԿԱՆ

Նկ. 95, առաջ ցույց է տրված գլանալին ֆրեզով կատարվող ֆրեզման սխեման: Ֆրեզի ատամները հերթականությամբ կարում են մետաղի շերտը ստորակենարի տեսքով: Նկ. 95, բ-ում խոշոր պլանով ցույց է տրված մեկ ատամով կարման սխեման: Ատամն սկսում է կարել 1 կետում տաշեղի նվազագույն հաստությունից և ավարտում կարումը 2 կետում: Կարման ընթացքում, ցույց արված ուղղությամբ, կարվող շերտի հատվածքն աճում է, իսկ ատամի վրա ազդող ուժը՝ մհծանում: Կարման այլպիսի սխեման կոչվում է մատուցմանը հակառակ ֆրեզում (հանդիպակաց ֆրեզում): Նկ. 95, բ-ում պատկերված է մեկ ատամով ֆրեզման ուժի փոփոխման կորը՝ կախված կարվող շերտի հաստությունից:

Նկ. 96, առաջ բերված է ցլանալին ֆրեզով ֆրեզման սխեման: Փրեմի ատամները հերթականությամբ կարում են մետաղի շերտը ստորակետի տեսքով: Նկ. 96, բ-ում խոշոր պլանով ցույց է տրված մեկ ատամով կարման սխեման: Սակայն այժմ այդ ատամը սկսում է կարել ոչ ինչ նվազագույն, այլ տաշեղի առավելագույն հաստությունից 1 կետում և կարումն ավարտում 2 կետում:

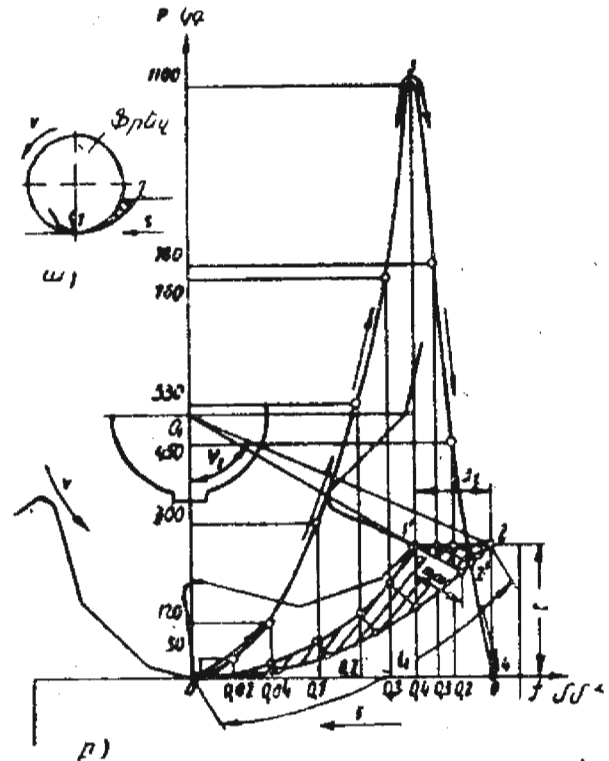
Ցույց տրված ուղղությամբ կարվող շերտի հատվածքը և, հետեւաքայլ, ատամի վրա ազդող կարման ուժը կփոքրանա: Կարման այդպիսի սխեման կոչվում է ֆրեզում մատուցման ուղղությամբ կամ համընթաց ֆրեզում:

Անհրաժեշտ է համեմատել ֆրեզման այդ երկու սխեմաները և ոչագրություն դարձնել 1 (նկ. 95) և 2 (նկ. 96) կետերում կիրառված արագության և մատուցման վեկտորների ուղղությունների վրա: Առաջին դիմքում վեկտորները կուղղվեն միմյանց հակառակ, իսկ երկորդ դիմքում նրանք կուղղվեն միմյանց հակառակ, իսկ երկորդ դիմքում նրանք կուղղվեն միմյանց հակառակ:

բում նրանք ուղղված են միևնույն կողմը: Վեկտորների ուղղություններն էլ հանդիսանում են համապատասխան ֆրեզման սխեմաների անվանման հիմքը:

Նկ. 96, բ-ում պատկերված է լ2 ճանապարհն անցնելու ժամանակաբնացքում ֆրեզի ատամի վրա ազդող ուժի փոփոխություց տըզող կորը (կորը ցույց է տրված բարակ սլաքներով):

Նկ. 95, բ-ում և նկ. 96, բ-ում ցույց տրված կարման ժամանակաբնացքում ազդող ուժերի փոփոխման կորերն ստացվել են օսցիլոգրաֆի միջոցով՝ հետագայում ենթարկվելով մաթեմատիկական մշակման:



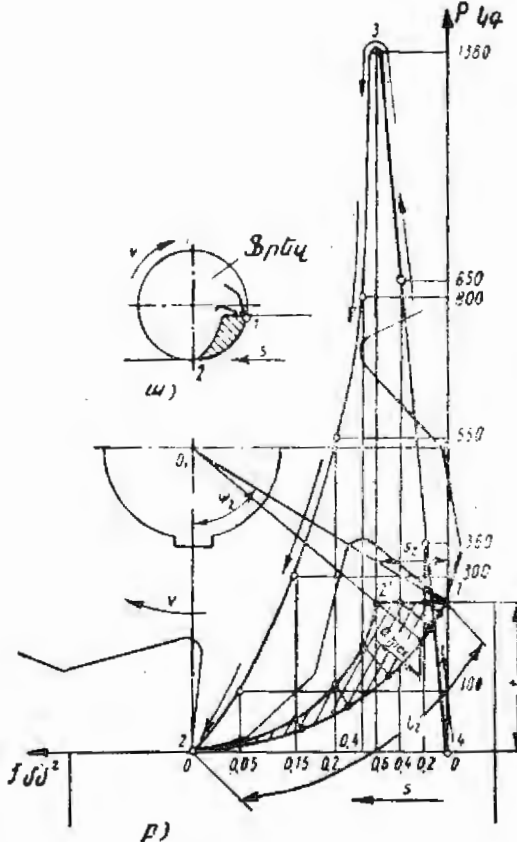
Նկ. 95. Գլանալին ֆրեզով մատուցման հակառակ կատարվող ֆրեզման սխեմա

Համեմատել և վերլուծել կարման ուժերի փոփոխման օրինաշափությունները ցույց տրված ֆրեզման երկու սխեմաների դեպքում:

Անհրաժեշտ է նկատի ունենալ, որ ֆրեզի ատամները մետաղի մեջ յուրաքանչյուր են ոչ սահուն կերպով, այլ հարվածով: Կարումն ընթացելու պահին տեղի է ունենում ֆրեզի ատամի ակնթարթային բեռնաթափում, որը նույնպես ցնցում է կարման պրոցեսին մասնակցող ամբողջ

սիստեմը: Անկատամով կտրման պրոցեսի համար պահանջվող ժամանակը հաշվվում է վայրկյանի հարյուրերորդական և հազարերորդական մասերով, և այդ ժամանակամիջոցում առաջանում է երկու դինամիկական իմպուլս:

Յուրաքանչյուր իմպուլսային բեռնվածք առաջացնում է կտրման պրոցեսին մասնակցող ամրող սիստեմի վիրացիաներ: Անհրաժեշտ է



Նկ. 96. Դլանույին ֆրեզով մատուցման ուղղությամբ կատարվող ֆրեզման սիստեմ

նկատի ունենալ և այն, որ կտրվածքի փոփոխական հատվածքը և կտրման պրոցեսի ընդհատությունը, որն առաջացնում է իմպուլսային բեռնվածք, տեղի է ունենում և ֆրեզման այլ տեսակների դեպքում: Առանձված, տեղի է ունենում և ֆրեզման այլ տեսակների դեպքում: Առանձված, վիրացիաները վատացնում են մշակված մակերևույթի որակը: Նվազեցնում են ֆրեզի կատունությունը և առտադրողականությունը:

Մետաղամշակման մեջ գոյություն ունի հավասարաշափ և անհավասարաշափ ֆրեզում: Անհավասարաշափ ֆրեզում ուղեկցվում է վիրացիաներով, այդ դեպքում ստացվում է մանրատված մակերևույթ:

Պրոցեսի հավասարաշափ ընթացքը կախված է մի շարք գործուներից, այդ թվում և ֆրեզի երկրաշափական պարամետրերից ու կտրման սեմիմետրից:

Ֆրեզների գլուխություն

Գլանային ֆրեզները նախատեսված են տարբեր հարթությունների մշակման համար: Նկ. 97, առաջ ցույց է տրված գլանային ֆրեզը աշխատանքի ժամանակ: Այդ ֆրեզները կիրառվում են աղիդ, իսկ հաճախ պատուակային աստամերուվ:

Նկ. 97, բառ ցույց է տրված գլանային ֆրեզ՝ աշխատող մասի հիմնական երկրաշափական պարամետրերով:

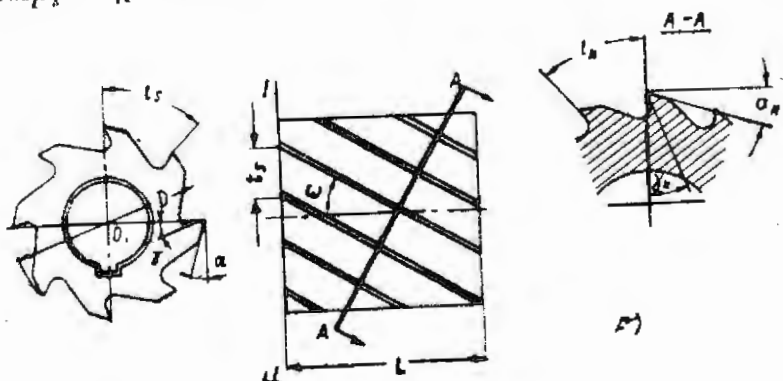
D—ֆրեզի տրամագիծն է, մմ-ով,

L—ֆրեզի երկարությունն է, մմ-ով,

t_s —ֆրեզի շրջանագծային քայլը է, մմ-ով,

t_N —քայլը է Ա.Ա. հատվածքում, մմ-ով,

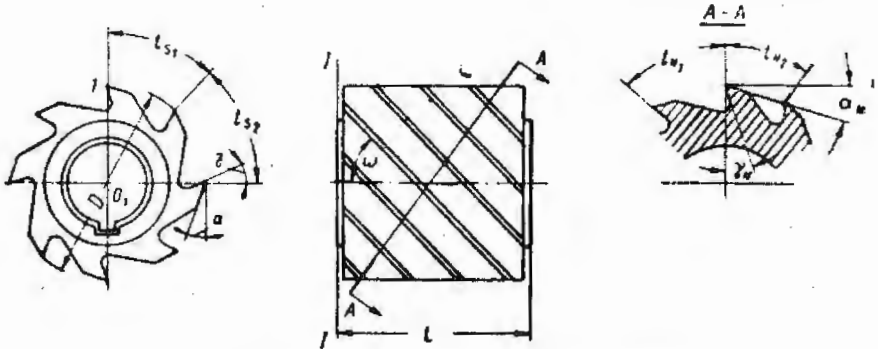
γ —ֆրեզի առշերջ անկյունն է 1—1 հարթության վրա, աստ-ով,



Նկ. 97. Գլանային ֆրեզ.

ա—աշխատանքի ժամանակ,

բ—աշխատող մասի երկրաշափական պարամետրերը



Նկ. 98. Փոփոխական քայլով զլանային ֆրեզ

- x—ֆրեզի ետևի անկյունն է 1—1 հարթության վրա, աստ-ով,
- γ_Н—առջեի անկյունն է կտրող եզրին ուղղահայաց հարթության վրա (Ա—Ա հատվածքը), աստ-ով,
- α_Н—ետևի անկյունն է կտրող եզրին ուղղահայաց հարթության վրա (Ա—Ա հատվածքը), աստ-ով,
- Փ—ֆրեզի պտուտակային առվակի թեքման անկյունն է, աստ-ով:

Նկ. 98-ում ցույց է տրված գլանային ֆրեզ՝ ատամների փոփոխական քայլով:

Ատամների փոփոխական քայլ ունեցող ֆրեզն ավելի սահուն է կատարում կտրումը, որը թույլ է տալիս մեծացնել կտրման ոեժիմները և, հետևաբար, աշխատանքի արտադրողականությունը:

Երկրորդ կարգի գործիք նախագծելու դեպքում և պատրաստված ֆրեզների ստուգման ձևանմուշներ պատրաստելու ժամանակ բոլոր շափերը տրվում են ֆրեզի ճակատի 1—1 հարթության վրա: Կտրման պրոցեսի ինտենսիվությունը նախորշում են Ա—Ա հարթության վրա գտնվող կտրման անկյունները: Ուստի ֆրեզի շահագործման ժամանակ հաճախ հետաքրքրվում են գլխավոր կտրող եզրին ուղղահայաց հարթության վրա զասավրված առջեի և ետևի անկյունների մեծություններով:

Նկ. 99-ում ցույց էն տրված ճակատային ֆրեզները աշխատանքի ժամանակ:

Ճակատային ֆրեզները պատրաստվում են ամրողական (ատամները ֆրեզի իրանի հետ միասին) և հավաքովի (ատամները պատրաստվում են առանցքային և դրվում են ֆրեզի իրանի մեջ):

Դնովի ատամներով ճակատային ֆրեզը (նկ. 100) բնութագրվում է հետևյալ պարամետրերով:

- D—ֆրեզի տրամագիծն է, մմ-ով,

- γ—առջեի շառավղային անկյունն է, աստ-ով,

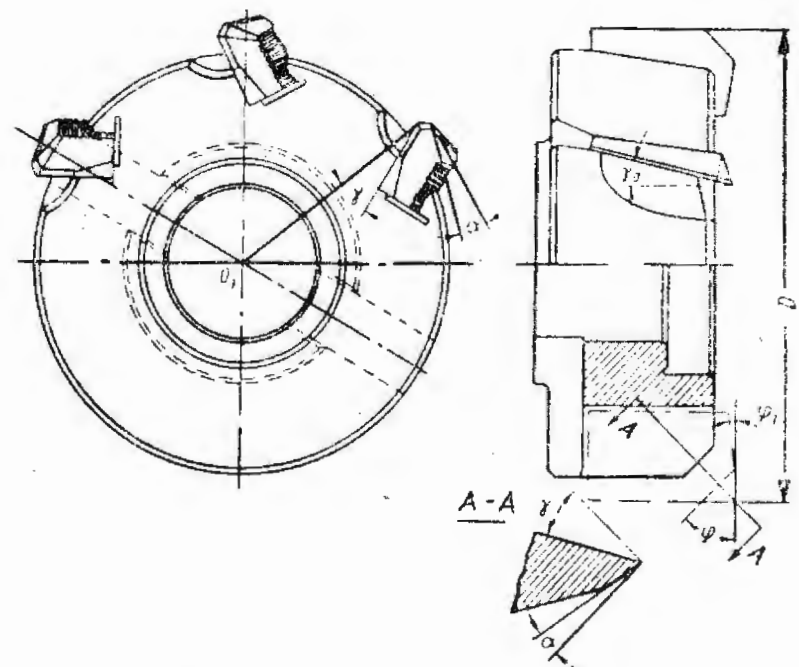
α—ետևի անկյունն է, աստ-ով,
φ—հատակագծի զլիւավոր անկյունն է, աստ-ով,
φ₁—հատակագծի օժանդակ անկյունն է, աստ-ով:
Նկ. 101, ա-ում ցույց է տըրված եռակողմ սկավառակային ֆրեզները աշխատանքի ժամանակի: Եռակողմ ֆրեզները նախատեսվում են ակտուների մշակման համար և արգում են ինչպես ամրողական, այնպես էլ հավաքովի՝ ուղիղ և տարրողված ատամներով:

Նկ. 101, բ-ում ցույց է տրված ուղիղ ատամներով ամրողական եռակողմ սկավառակային ֆրեզը: Սյդափիսի ֆրեզն ունի հետևյալ պարամետրերը.

D—ֆրեզի տրամագիծն է, մմ-ով,



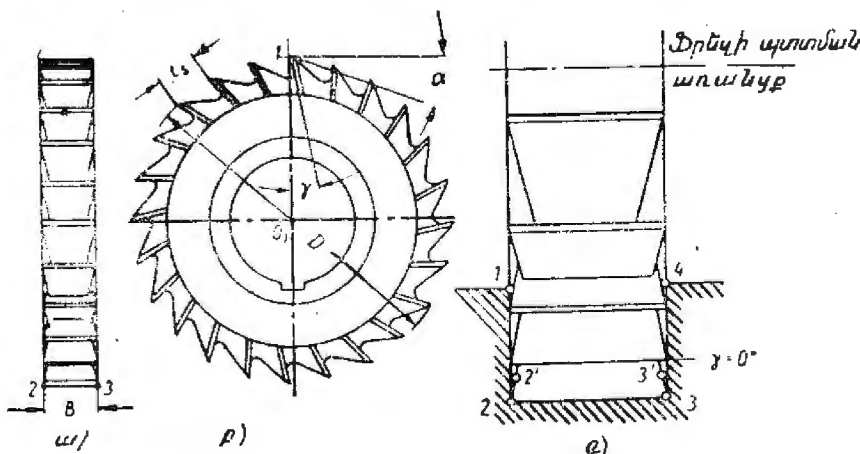
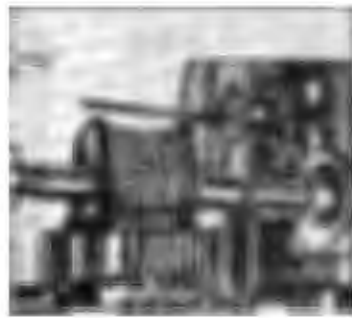
Նկ. 99. Ճակատային ֆրեզներն աշխատանքի ժամանակ



Նկ. 100. Դնովի ատամներով ճակատային ֆրեզ

- т_с— фրեզի շրջանագծային քայլն է, մմ-ով,
 В— фրեզի հաստությունն է, մմ-ով,
 γ— առջևի անկյունն է շառավղային ուղղությամբ, ասա-ով,
 γ₀— առջևի անկյունն է առանցքային ուղղությամբ, ասա-ով,
 α— ետևի անկյունն է, ասա-ով:

Սկավառակային ֆրեզների երկրաշափությունն ուսումնասիրելու ժամանակ անհրաժեշտ է ուշադրություն դարձնել ֆրեզի ատամների կուռցվածքի և կտրող եզրերի աշխատանքի պայմաններին, քանի որ է կարենու նշանակություն ունի կտրողի պարզաբանության բարձրացման ուղիների ու ոճերի վերաբերյալ կանխորոշան համար: Քննարկենք այդ գրույի երկու տարրեր կառուցվածքների ըկամառակային ֆրեզների օրինակով:



Նկ. 101. Խոակողմ սկավառակային ֆրեզ

Նկ. 101, գ-ում ցույց է տրված սկավառակային ֆրեզով մշակվող ակոսների պրոֆիլը: Ակոսի հատակը մշակվում է 2—3 գլխավոր կտրող աղբով, իսկ կողային ձախ 1—2 պատը մշակվում է 2—2' օժանդակ կտրող եղբով: Կողային աղ 4—3 պատը մշակվում է 3—3' երկրով օժանդակ կտրող եղբով: Ակոսի հատակը մշակող գլխավոր կտրող եզր

աղամ կտրում է կատարում, որովհետեւ ատամը շառավղային ուղղությամբ ունի գրոյից մեծ շառավղայի անկյուն (գործնականում այն հաշվարք է 15° — 20°):

Ակոսի պատճենի մշակման ժամանակ երկու օժանդակ կտրող եղբորք, մշակելով ակոսի երկու ուղղաձիգ պատճերը, կտրվող շերտի դեմքում աշխատառով ենթարկվում են մեծ ուժաչին լարումների, բանի որ առանցքային առջևի շառավղային անկյունը շատ փոքր է: Տվյալ դեպքում այդ անկյունը հավասար է զրոյի (նկ. 101, գ):

Քննարկենք սկավառակային եռակողմ ֆրեզով կտրման պրոցեսը, որն ունի ոչ թե ուղիղ, այլ տարրողական ատամները:

Նկ. 102, բ-ում ցույց է տրված տարրողական ատամներով սկավառակային ֆրեզը: Այդպիսի ֆրեզները, ինչպես և ուղիղ ատամներով ֆրեզները, նախատեսվում են նկ. 102, ա-ում ցույց տրված ակոսների մշակման համար: Տարրողական ատամներով ֆրեզն ունի հետեւալ պարամետրերը:

Д— ֆրեզի տրամագիծն է, մմ-ով,

т_с— ֆրեզի շրջանագծային քայլն է, մմ-ով,

В— ֆրեզի հաստությունն է, մմ-ով,

γ— առջևի անկյունն է շառավղային ուղղությամբ, ասա-ով,

γ₀— առջևի անկյունն է առանցքային ուղղությամբ, ասա-ով:

Այդպիսի ֆրեզն ակոսի 2—3 հատակը մշակում է գլխավոր կտրող եղբով, որը հավասար է երկու հարեան ատամների գումարին, այսինքն՝ Ե-ին հավասար ֆրեզի հաստությանը: Ֆրեզի յուրաքանչյուր ատամ միաժամանակ շրջված է շառավղային առջևի անկյուն (նկ. 102, բ):

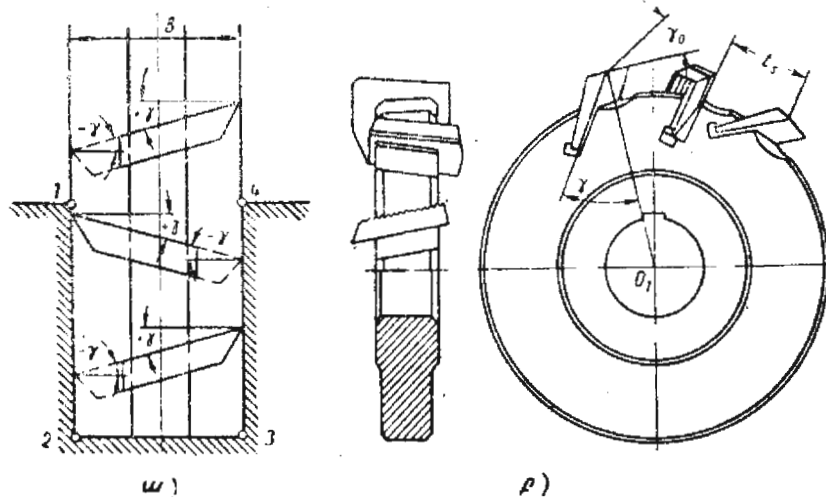
Այդպիսի շրջման ժամանակ եղբար հեշտությամբ է կտրում, որովհետև այն ունի դրական շառավղային առջևի անկյուն ($\gamma = 15^{\circ}$): Հեշտ կրինի մշակել 3—4 ուղղաձիգ պատը, որովհետեւ այն ունի դեռևս դրական սուանցքային առջևի անկյուն (γ_0), որը նույնպես հավասար է 15° :

Ակոսի ձախ (1—2) պատը մշակում է հաջորդ ատամի (որը շրջապատ է նույնպիսի γ_0 անկյան տակ՝ միայն դեպքի այլ կողմ) օժանդակ կտրող եղբով:

Դիմենք նկ. 102, ա-ին, որտեղ որոշ պայմանականությամբ սկավառական մշակման պրոֆիլը մշակող ատամների սխեման: Ֆրեզի յուրաքանչյուր ատամ միաժամանակ շրջվում է ակոսի երկու պատճերին, ընդ որում մեկ կտրող եղբար ունի դրական առջևի անկյուն, իսկ նույն ատամի մյուս կտրող եղբար, որը մշակում է ակոսի հատակ պատը, ունի բացասական առջևի անկյուն: Քանի որ երկու պատճերի մշակումը կատարվում է բացարձակ տարրեր արժեքով առջևի անկյուններ

ունեցող ֆրեզով, ստացվում են և ըստ մեծության տարրել ուժային լարումներ: Դա առաջ է բերում կտրող եզրերի ուժեղ մաշում:

Ավելի բարենպաստ պայմաններում են գտնվում առջևի դրական անկյուններ ունեցող կտրող եզրերը, ավելի վատ պայմաններում՝ բացա սական առջևի անկյուններ ունեցող կտրող եզրերը: Որպեսզի ֆրեզը



Նկ. 102. Տարագրված ատամներվ սկավառակային ֆրեզ

հեշտ և արտադրողական աշխատի, առջևի բացասական անկյուններ ունեցող ատամները կտրում են և թողնում միայն առջևի դրական անկյուններ ունեցող ատամները: Այդպիսի տեխնիկական հնարքը թույլ է տալիս բավականին մեծացնել ֆրեզի աշխատունակությունը:

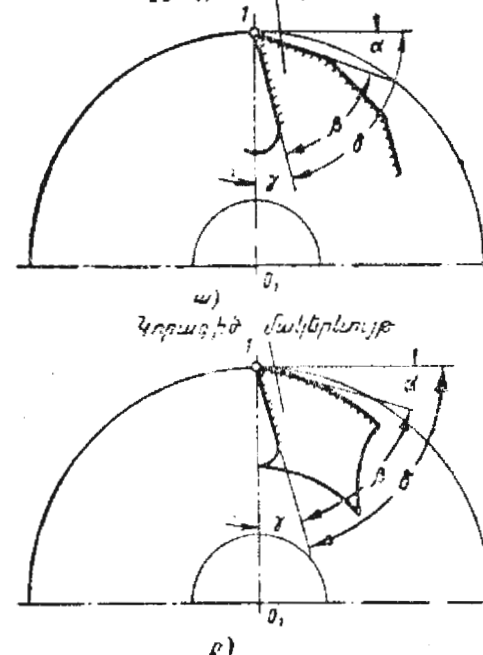
Ֆրեզների ատամների նիմեական ձևերը: Ֆրեզի ատամներն ըստ ձևի ստորաբաժանվում են երկու խմբի՝ սրածայր ատամներով ֆրեզներ և բր ատամի ուրվագիծը գծված է ուղղղներով (նկ. 103, ա) և ծոծրակ ված ատամներով, երբ ատամի ուրվագիծը գծված է կորերով (նկ. 103, բ):

Սովորաբար հասարակ ֆրեզները պատրաստվում են սրածայր ատամներով, իսկ ձևավոր ֆրեզները՝ ծոծրակված ատամներով:

Կտրման բարձր արտադրողական պրոցես ապահովելու համար ֆրեզի ատամներն ունենում են տրված երկրաշափությունը (առջևի անկյուն՝ γ և ետևի անկյուն՝ α , սրածայր անկյունը՝ β , կտրման անկյունը՝ δ հատակագծի անկյունները և այլն):

Գործիքի երկրաշափական պարամետրերի չափումը կտրդիմառների մեթոդով: Մետաղահատ գործիքի բոլոր գծային չափերը, նաև անհամար անհրաժեշտ ճշգրտությանը, որոշում են մասշտաբային քանոնով, ձողակարկինով և միկրոմետրով:

Աւզգագիծ մակերեսով

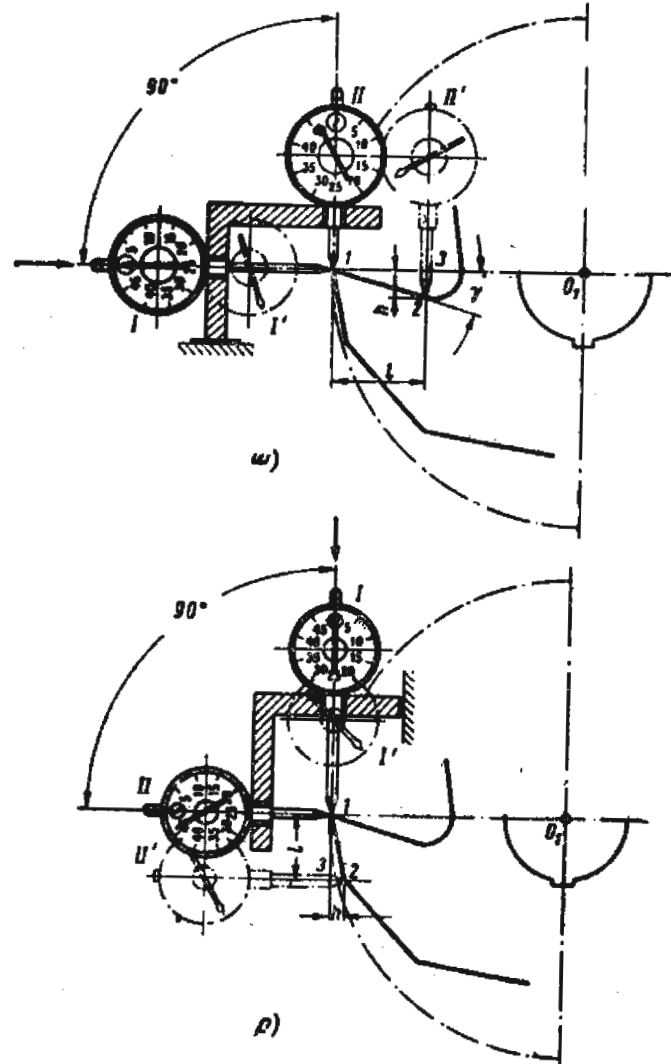


Նկ. 103. Ֆրեզների ատամների ձևեր

Կտրող գործիքի աշխատող մասի անկյունները, օրինակ՝ առջևի անկյունը (γ), ետևի անկյանը (α), հատակագծի անկյունները (Φ և Φ_1), պատուակագծի անկյունը (ω), և այլն, սովորաբար, չափվում են տարրեր կառուցվածք ունեցող անկյունաչփերով:

Կտրող գործիքների անկյունների մեծությունը շատ տարրեր է, օրինակ՝ ձգիչի ետևի անկյունը հավասար է $0^\circ - 30^\circ$ (կալիբրող մասինը), ներսուարուակիչների ետևի անկյունը, միջին հաշվով, հավասար է $8^\circ - 12^\circ$, իսկ շլիֆա-ակոսահան ֆրեզներինը հասնում է 30° և ավելի: Փոքր անկյուններով գործիքները (մոտ մինչև 5°) չեն կարելի շափել անկյունաշափով, որովհետև այն չի ապահովում չափման անհրաժեշտ ճշգրտություն: Այդ գեպքում պետք է օգտվել չափման կոորդինատային մեթոդից: Անկյունաշափերը կորագծով աշխատող մակերեւությունը ունեցող զորիքների (ներպարուրակիչներ, ծոծրակված ֆրեզներ, կլոր, ձևավոր խա-

ուասային կտրիչներ և այլ գործիքներ) շափման համար շեն կիրառվում Այդ դեպքում նույնպես պետք է օգտվել կոորդինատային մեթոդից Նիրառվում են փոքր շափեր ունեցող շատ կտրող գործիքներ, այս դեպքում նույնպես նպատակահարմար է կիրառել կոորդինատային մե.



Նկ. 104. Կոորդինատային մեթոդով ֆրեզների անկյունների շափման սխեմա.

ա—առջեկի γ և բ—ետեկի չ

Բողը: Գործնականում կարելի է հանդիպել և այլ դեպքերի, երբ կիրառվում են շափման նշանակած մեթոդը:

Նկ. 104-ում ցույց է տրված կենտրոններում շափման երկու սխեմաներ:

Որպես օրինակ քննարկենք առջեկի անկյան շափման մեթոդը: Դրա ամար անհրաժեշտ է ֆրեզն ամրացնել հաստոցի կամ հարմարանքի կենտրոններում: Ատամի գագաթի 1 կետը պետք է տեղակայվի 0; էկինտրոնների առանցքին համապատասխան, ինչպես այն ցույց է տրված նկ. 104, ա-ում: 90° անկյան տոկ տեղակայել երկու ինդիկատոր: Եկզրնական դրությամբ երկու ինդիկատորների ոտիկները պետք է գտնվեն ատամի գագաթի մոտ (1 կետ): Երկու ինդիկատորները պետք է ունենան նախնական ձգվածք, մոտ 2—3 շրջադարձ (2—3 մմ), ուղղությունում պետք է դրվեն զրոյի վրա:

Եթե բռնիլը տեղաշարժենք շառավղի ուղղությամբ, ինչպես ցույց է տրված սլաքով, բռնիչի հետ կտեղաշարժվեն նաև երկու ինդիկատորները: Տեղաշարժումից հետո 1 ինդիկատորը կգրավի 1' դիրքը և նշատախտակի վրա ցույց կտա անցած ճանապարհի թվային արժեքը, իսկ 2' ինդիկատորը նույն մեծությամբ տեղաշարժելիս կգրավի 2' դիրքը: Նշատախտակի վրա 2 ինդիկատորը ցույց կտա ինդիկատորի ոտիկի ուղղաձիգ տեղափոխման և մեծությամբ թվային տրժեքը:

2, 1, 3 եռանկյունուց որոշենք γ անկյունը հետևյալ բանաձևով

$$\operatorname{tg} \gamma = \frac{h}{l};$$

Ինդիկատորների տեղափոխման մեծությունը շառավղի ուղղությամբ կազմում է մոտավորապես 2—3 մմ, որը լինի բավարարում է ամենամշշղրիտ շափման գեպքում: Ետեւ անկյունը (α), որի շափման սխեման ցույց է տրված նկ. 104, բ-ում, շափման է այնպես, ինչպես առջեկի անկյունը, իսկ α անկյան մեծությունը որոշվում է հետևյալ բանաձևով՝

$$\operatorname{tg} \alpha = \frac{h}{l};$$

Նույնպիսի եղանակով շափում են նաև պտուտակագծի թեքման անկյունը (ω): Ն. անկյունը և այլ անկյունները նշված անկյունների շափման ժամանակ ինդիկատորները տեղափոխվում են ոչ թե շառավղի ուղղությամբ, այլ շափվող կտրող եղրի երկարությամբ:

Զափման կոորդինատային մեթոդի առավելություններն են՝ շափման մեծ ճշգրտությունը, պարզությունը, յուրաքանչյուր լարորատորի շափման այդպիսի մեթոդի մատչելիությունը: Թերությունների թվին կարելի է զասել այն, որ այս մեթոդով շափման համար պա-

Հանգվում է այլելի շատ ժամանակ, քան, օրինակ, անկյունաշափով չափելիս:

Ֆեզների երկրաշափական պարամետրերի չափումը անկյունաշափով: Անկյունաշափով կատարվող չափման մեթոդն այնքան պարզ է, որ չի պահանջում մանրամասն բացատրություն: Ֆրեզների առջեկի և ետևի անկյունների չափման համար օգտագործում են հատուկ անկյունաշափ: Պտուակագծի վերելքի անկյունը չափում է տարրեր անկյունաշափերով:

Նկ. 105, առևմ ցույց է տրված առջևի շափումը, նկ. 105, բ-ռմ³ ետևի շափումը, իսկ նկ. 105, գ-ռմ և նկ. 105, դ-ռմ³ պառակագծի աջեղքան անկյան չափումը:

Ֆրեզի արամագծի և երկարության կամ հաստության շափումը կատարվում է ձողակարկինով և, հազվագյուտ դեպքերում, միկրոմետրով։ Ֆրեզի քայլը կարելի է շափել ձողակարկինով (աղեղի լարով) կամ հատուկ հարմարանքի վրա շրջադարձան անկյան մեծությամբ՝ ֆրեզի քայլի շափի հաշվումով։ Խորհուրդ չի տրվում թեքման անկյունը և այլ երկրաշափական պարամետրեր շափել ֆրեզի հետքով, քանի որ նման մեթոդը ճիշտ չէ և չի կարող համարվել շափման ինժեներական մեթոդ։

Տարբեր կառուցվածք ունեցող ֆրեզների երկրաշափության և կոնստրուկտիվ տարրերի, գրանց շափման մեթոդների ընդհանուր ուսումնասիրությունից հետո, որպես օրինակ, շափկում են ֆրեզները, և բոլոր տրվայինները նշում № 10, ա արձանագրության մեջ:

Ճակատային հարթության վրա կտրման բոլոր անկյունները շամփում են նկարագրված մեթոդներից որևէ մեկով, իսկ գիխափոր կտրող եզրին ուղղահայտց (նորմալ) հատվածքում կտրման անկյունները որոշվում են հետևյալ բանաձևերով:

Առջենի շահկլունը հաշվարկվում է հետեւյալ բանաձևով՝

$$\operatorname{tg} \gamma_N = \operatorname{tg} \gamma \cdot \cos \phi$$

Ես այս տեսակի պահանջմանը ուղարկում եմ հետեւյալ բանաձևով՝

$$\operatorname{tg} x_N = - \frac{\operatorname{tg} \omega}{\cos \omega} :$$

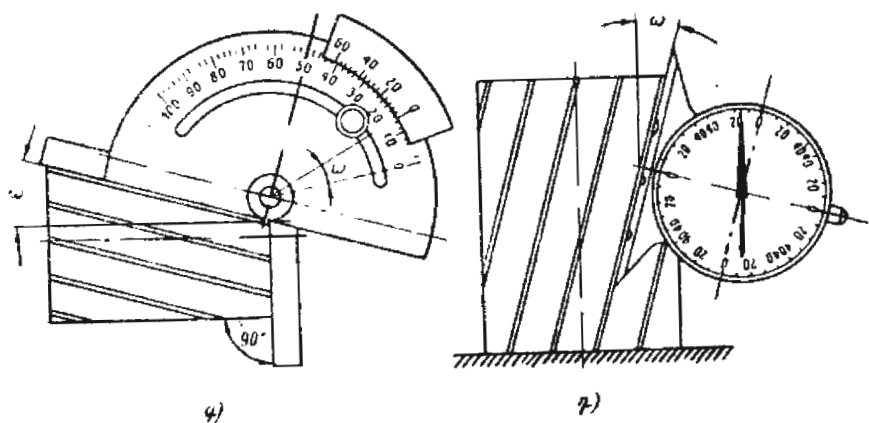
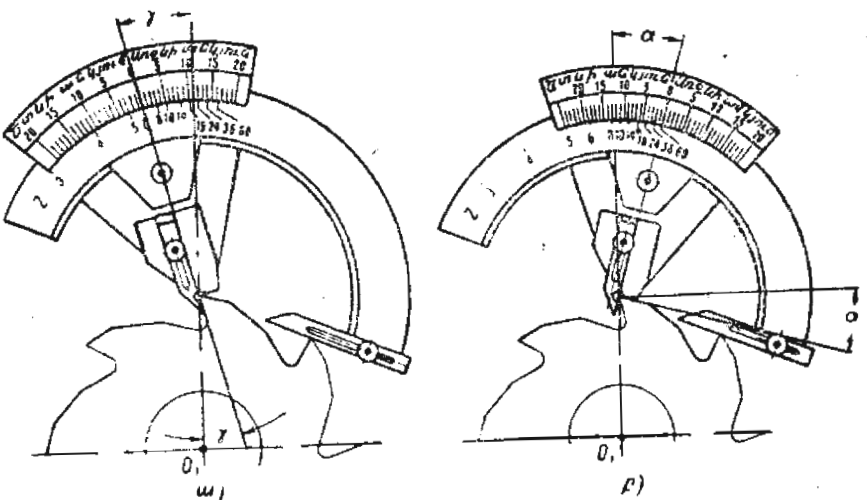
Սրբաթյան Յ. անկյունը որոշվում է հետեւյալ բանաձևով՝

$$\theta_N = 90^\circ - (\gamma_N + \alpha_N)$$

Կարման ծանկանը որոշվում է հետևյալ բանաձևով՝

$$\hat{e}_N = \alpha_N + \beta_N:$$

Կորման անկյունների հաշվարկից և № 10, ա արձանագրությունը
ուղացնելուց հետո անհրաժեշտ է առջևի և ետևի անկյունների բացար-
ակ արժեքները համեմատել գլխավոր կտրող եզրին ուղղահայց հար-
թության վրա գտնվող համապատասխան անկյունների հետ և կատա-
րել դրակացություն տարբեր հարթությունների վրա գտնվող



Նկ. 105. Ֆրեզների անկյունների չափումը անկյան հաշվախով՝
ու առջևի ց, բ-եռուի չ, գ-պտուտակագծի թեքման անկյուն

կորմաս անկյունների փոփոխման մասին։ Դա կօգնի ուսանողներին շարուրատոր աշխատանքների նախապատրաստման, ստուգարկի հանձ-

Ֆրեզի և պարուաստուցանքի առաջարկանություն	Ֆրեզի չափերը մմ-ով		Առաջերկի թիվը՝ շ	Կարման անդամները՝ լ-ի հակառային հարթային վրա, աստ-ով	Կարման անդամները՝ կարման եղբարին ուղղահայաց լի-լի հատվածը, աստ-ով
	D	L			
Պատշաճապահանք					
Առաջարկանություն					
Առաջարկանություն					
(Թ. Գ. Գ.)					

ման և «Մետաղների կտրումը» դասընթացի քննության նախապատրաստվելու ժամանակ:

ՏՐԵԶՄԱՆ ԴԻՆԱՄԻԿԱՅԻ ՀԻՇԱՋՈՏՄԱՆ ՄԵԹՈԴԻՆԱՆ

Ֆրեզման պրոցեսն իրականացվում է կտրող գործիքի (ֆրեզի) պատական շարժման և ֆրեզի նկատմամբ նախապատրաստվածքի հավասարաշափ-համրնթաց տեղափոխման դեպքում:

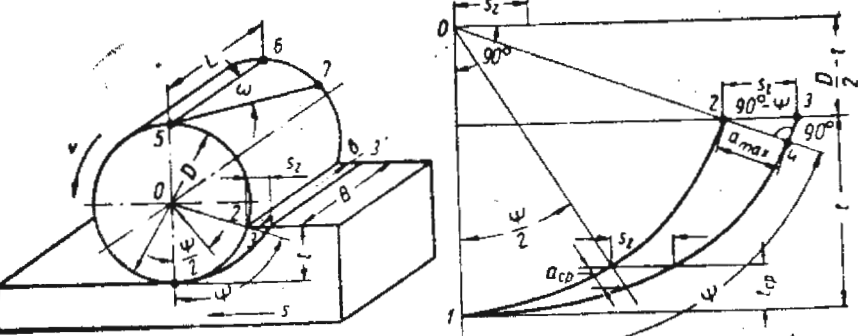
Կտրման պրոցեսում նյութի կտրվող շերտի դիմադրության հետևանքով առաջանում են ուժեր, որոնք ազդում են ֆրեզի, հաստոցի գետալեների և մշակվող նախապատրաստվածքի վրա: Ֆրեզների, ֆրեզի հաստոցների կոնստրուկցիան ճիշտ մշակելու, բարձր արտադրողական ֆրեզման պրոցեսի ապահովման համար անհրաժեշտ է իմանալ ֆրեզման ժամանակ առաջացող ուժերի փոփոխման օրինաշափությունը:

Այս աշխատանքի նպատակն է՝ ֆրեզման դինամիկայի հետազոտումը գլանային ֆրեզման դեպքում:

Կտրման ուժերի մեծությունները և նրանց ուղղությունը կախված են մի շարք գործուներից, այդ թվում և կտրվող շերտի մեծությունից: Այդ պատճառով սկզբում քննարկենք կտրման հիմնական տարրերը, ապա անցնենք ֆրեզման ժամանակ առաջացող կտրման ուժերի ուսումնականը:

Քննարկենք ուղիղ ատամներով գլանային ֆրեզի կտրող եղրի շարժման հետագիծը (նկ. 106):

Ֆրեզի պտտական շարժման և մշակվող նախապատրաստվածքի շամբնթաց տեղափոխման դեպքում 5-6 կտրող եղրը իր ամբողջ երկարությամբ միաժամանակ սկսում է կտրումը 1 կետում (տեսականություն): Սատ ֆրեզման ամբողջ Ելայնքի և ավարտում է կտրումը 3 կետում: 1 կետից 4 կետը կտրող եղրը տեղափոխվելիս կտրվող շերտի հաս-



Նկ. 106. Գլանային ֆրեզով կտրարված կտրման սխեմա

տությունը կամի, $\frac{\Phi}{2}$ անկյան տակ ատամի շրջման դեպքում կտրվող

շերտը կունենա միջին արժեք, իսկ զ կոնտակտի անկյան տակ ատամի շրջման դեպքում կտրվող շերտի հաստությունը կլինի առավելագույն (a_{\max}): Ընդունելով 3-4 աղեղը որպես ուղիղ գիծ, 4, 2, 3 համայունուց գտնենք կտրվող շերտի առավելագույն հաստությունը՝

$$a_{\max} = s_z \cdot \sin \psi \text{ մմ:}$$

Գիտենալով ֆրեզի տրամագիծը (D), ֆրեզման խորությունը (t) և նատուրումը (s_z), կտրվող շերտի առավելագույն հաստությունը կարելի է որոշել հետևյալ բանաձեռով՝

$$a_{\max} = 2 \cdot s_z \cdot \sqrt{\frac{t}{D} - \frac{t^2}{D^2}} \text{ մմ:}$$

Կտրվող շերտի լայնությունը հավասար է ֆրեզման Բ. լայնությանը, այսինքն՝ $b = B$ (ուղղատամ ֆրեզի համար): Կտրվող շերտի հասվածքի մակերեսը, ատամի տվյալ գիրքի համար, կտրվող շերտի լայնության և նրա հաստության արտադրյալն է, այսինքն՝

$$f = b \cdot a \text{ մմ}^2:$$

Կորպող շերտի առավելագույն հատվածքի մակերեսը որոշվում է հետևյալ բանաձևով՝

$$f_{\max} = b \quad a_{\max} = b \cdot s_z \sin \phi$$

կամ

$$f_{\max} = 2 \cdot b \cdot s_z \cdot \sqrt{\frac{t}{D} - \frac{t^2}{D^2}} \text{ մմ}^2$$

Նկ. 106-ում ցույց տրված սխեմայի օրինակով քննարկենք պատուակային ատամներով ֆրեզի կտրման սխեման:

Ուղղատամ ֆրեզի 5—6 կտրող եզրը շրջենք 5 կետի նկատմամբ անկյան տակ և այն տեղավորենք ֆրեզի մակերեսութիւնի վրա այնպես, ինչպես ցույց է արված նկ. 106-ում: 5—7 գիծը իրենից կներկայացնի պանային ֆրեզի պատուակային ատամի կտրող եզրը: Այլպես վարդենք և ուղղատամ ֆրեզի մնացած կտրող եզրերի հետ:

Պատուակային ատամի 5—7 կտրող եզրը, շարժումների ցույց տրված գուգորդման դեպքում, կտրումն սկսում է 5 կետով 1 կետում: 5 կետից հետո կտրման պրոցեսին կմասնակցեն կտրող եզրի երկարությամբ գտնվող բոլոր հաջորդական կետերը, որոնք ուղղված են 5 կետից մինչև 7 կետը: 7 կետը կտրման պրոցեսին կմասնակցի տմենավերջում, կտրող եզրի նշված կեաերը հենց այսպիսի հաջորդականությամբ կապարտեն կտրումը (5 կետն առաջինը կավարատի կտրումը 3 կետում, իսկ 7 կետը կտրումը կավարտի վերջում՝ 3՝ կետում): Նշված շարժման ընթացքում պատուակային ատամի կտրող եզրը կառաջացնի փոփոխական լայնով տաշեց:

Պատուակային ատամի կտրող եզրի կտրած շերտի ակնթարթային լայնությունը կարելի է որոշել հետևյալ բանաձևով՝

$$b_x = \frac{\pi D \cdot \psi_x}{360 \cdot \sin \omega} \text{ մմ},$$

որտեղ ψ_x -ը ֆրեզի ատամի աշխատող մասի կտրող եզրի կոնտակտի ակնթարթային անկյունն է, աստ-ով:

Բոլոր գատողությունները վերաբերում են այն դեպքին, երբ կտրման պրոցեսում է միայն մեկ ատամ: Կտրման պրոցեսին միաժամանակ մասնակցող ատամների թիվը հաշվարկվում է հետևյալ բանաձևով՝

$$i = \frac{\psi}{360^\circ} + \frac{B \cdot z}{\pi D \cdot \operatorname{ctg} \omega},$$

որտեղ ψ -ը կոնտակտի լրիվ անկյունն է (նկ. 106):

Փորձեական հետազոտություն շոշափող (տանգենցիալ) P_z ուժի վրա և մատուցման և ֆրեզման իուրության կախվածության

որոշման համար: Նախքան լաբորատոր աշխատանքի կատարումը անհրաժեշտ է ընտրել պտուտաթվերի և մատուցման դիագրամն, որոշել իուրությունի բեռնվածքները, կտրման ուժիմների՝ կտրման խորության, մատուցման (s_p , s_0 , s_z), կտրման արագության և փորձերի կատարման անհրաժեշտ այլ գործուների հաշվարկ:

Մատուցման (s_z) ազդեցությունը P_z կտրման ուժի վրա: Այս փուկի փորձերի կատարման ժամանակ փոփոխվում են միայն մատուցումները, մնացած բոլոր գործուները մնում են հաստատում: Քննարկենք մի կոնկրետ օրինակ:

Պողպատ 45-ից պատրաստված նախապատրաստվածքի ֆրեզում, չիրեզման լայնությունը՝ $R = 30$ մմ, ֆրեզման B լայնությունը, S մատուցումը և և իուրությունը որոշվում են՝ ելնելով դինամոմետրի հնարավորություններից: Ընդունենք ֆրեզման խորությունը՝ $t = 3$ մմ, կտրման արագությունը՝ $v = 16$ մ/րոպե, ֆրեզի տրամագիծը՝ $D = 50$ մմ, ատամների թիվը՝ $z = 14$, ֆրեզի պատուակային ակոսի թեքման անկյունը՝ $\omega = 20^\circ$: Հետազոտությունները կտրմանը $s_z = 0,04$, $0,08$, $0,16$ և $0,20$ մմ/ատամ մատուցումներով:

Փորձերի արդյունքները անհրաժեշտ է գրանցել № 10, բարձանագրության մեջ:

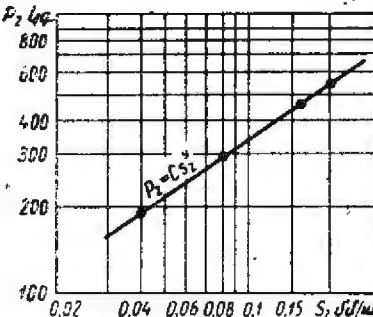
Արձանագրություն № 10, բ

Զ.	Գործընթաց ֆրեզման բարձանագրությունը	Մատուցումը			P_z գործընթաց ֆրեզման բարձանագրությունը	P_y գործընթաց ֆրեզման բարձանագրությունը	P_o			
		s_z մմ/ատամ	s_0 մմ/ատամ	s_p $s_0 = S_0$ մմ/ատամ						
1	3	0,04	0,56	60	107	50	16	186	94	52
2	3	0,08	1,12	120	107	50	16	290	154	81
3	3	0,16	2,2	235,4	107	50	16	460	226	129
4	3	0,20	2,8	327,6	107	50	16	560	283	157

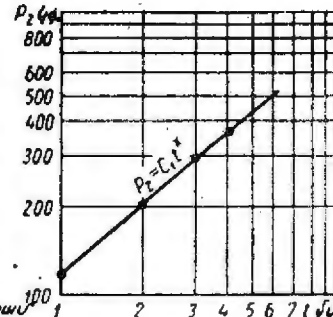
№ 10, բ արձանագրության տվյալներով անհրաժեշտ է կառուցել $P_z = f(s_z)$ ֆունկցիոնալ կախվածությունը: Դրա համար արացիսների առանցքի վրա տեղադրում են s_z -ի արժեքները մմ/ատամ-ով, իսկ օրդինատների առանցքի վրա՝ P_z -ի արժեքը կԳ-ով և շորս կետերով կառուցում կախվածություն (նկ. 107):

$P_z = C_1 + S_z^x$ բանաձեռվ որոշում են C_1 հաստատունի և մատուցման յաստիճանացույցը: Աստիճանացույցների և հաստատունների որոշման մեթոդիկան բերված է № 3 լաբորատոր աշխատանքում:

Ցեղական է խորության ազդեցությունը P_z կարման ուժի վրա: $P_z = f(t)$ ֆունկցիոնալ կախվածությունը սրոշելու համար հետազոտությունները կատարվում են նույնպիսի պայմաններում, ինչ որ նախորդ դեպքում, բացառությամբ այն բանի, որ տվյալ դեպքում փոփո-



Նկ. 107. P_z ուժի վրա մուտուցման ազդեցության գրաֆիկ



Նկ. 108. P_z ուժի վրա կորման խորության ազդեցության գրաֆիկ

խական մեծություն է համարվում կորման խորությունը: Կորման խորությունն ընդունում են 1, 2, 3 և 4 մմ, այս գեպքում մատուցման արժեքը՝ $S_z = 0,8$ մմ/ատամ: Փորձերի արդյունքներն անհրաժեշտ է գրանցել № 10, գ արձանագրության մեջ:

№ 10, գ արձանագրության տվյալներով սետք է կառուցել $P_z = f(t)$ ֆունկցիոնալ կախվածությունը: Դրա համար արացիսների առանցքի վրա տեղադրում են է-ի արժեքը մմ-ով, իսկ օրդինատների առանցքի վրա՝ P_z -ի արժեքը կԳ-ով և շորս կետերով կառուցում կախվածությունը (Նկ. 108):

$P_z = C_1 + t^x$ բանաձեռմ որոշում են ֆրեզման և խորության չափի մեջ անհրաժեշտ և C_1 հաստատունը:

Եզրակացության մեջ անհրաժեշտ է արտածել ընդհանուր հավասարությունը:

$$P_z = C_1 + t^x + S_z$$

ՀՀ-ի հ չ, յ աստիճանացույցների թվային արժեքների հետ միասին՝ 114

Արձանագրություն № 10, գ

Փորձերի №	$\frac{\text{Ֆրեզման կարություն}}{R_f \cdot t^{0.5}}$	Մատուցումը			$\frac{\text{Բիուրուն մատուցման}}{P_z \cdot t^{0.5}}$	$\frac{\text{Ֆրեզման կարություն}}{R_f \cdot t^{0.5}}$	Արժը կԳ-ով		
		S_z մմ/ատամ	S_0 մմ/ատ	$S_p = S_0 \cdot n$ մմ/լուսի			P_z	P_y	P_0
1	1	0,08	1,12	120	107	50	16	118	60
2	2	0,08	1,12	120	107	50	16	200	102
3	3	0,08	1,12	120	107	50	16	290	146
4	4	0,08	1,12	120	107	50	16	370	188
									104

Աստիճանացույցների և հաստատունների որոշման մեթոդիկան բերված Ն 3 լաբորատոր աշխատանքում:

Նկ. 109-ում ցույց է տրված ֆրեզման դինամիկայի հետազոտման կայանքի ընդհանուր տեսքը: Հորիզոնական-ֆրեզիլ հաստոցի (1) վրա ամրացված է ֆրեզը (2) և տեղակայված է դինամոմետրը (3), որի վրա ամրացված է մշակվող նախապատրաստվածքը (4), ուժեղացույցիլը (5), կորման ուժի P_z , P_y , P_0 գրանցման սարքը և ուցիչուրաֆը (7)՝ ժա-



Նկ. 109. Ֆրեզման դինամիկայի հետազոտման կայանը

մանակի ընթացքում կտրման ուժի վորփիման գոանցման համար (պարտադիր չէ):

Խթուրութեան Ածեատանքի ԿԱՏԱՐՄՅԱՆ ԱՐԱՋԱԴՐԱՆՔ

1. Ռւսումնասիրել առաջադրանքի բովանդակությունը, ֆրեզի շափման մեթոդիկան և շափիչ սարքերի կառուցվածքը: Կազմել ֆրեզի գծադիր և շափել բոլոր կոնսարուկտիվ տարրերն ու երկրաշափական պարամետրերը: Կատարել առջեկի չ անկյունների վերահաշվարկ՝ ճակատային 1—1 հարթությունից Ա—Ա նորմալ հարթության վրա տեղափոխելու համար, ինչպես նաև ետեր և անկյունների վերահաշվարկ՝ Ա—Ա հատվածի նորմալ հարթությունից ճակատային 1—1 հարթության վրա տեղափոխելու համար: Բոլոր շափման և հաշվարկի արդյունքները գրանցել արձանագրության մեջ:

2. Ռւսումնասիրել առաջադրանքի բովանդակությունը, ֆրեզման մեթոդիկան և պրոցեսի հետազոտման համար կիրառվող շափիչ սարքերի կառուցվածքը: Կատարել ֆրեզման ոեժիմի հաշվարկ դասախոսի կողմից տրված ծրագրով: Կատարել ֆրեզման դինամիկայի հետազոտում և փորձնական տվյալներով կառուցել փունկցիոնալ կախվածությունները:

Ա. ՀԱՅ ԹԱ Ա Յ Բ Ք Ն 11

ՆԵՐՊԱՐՈՒԲԱԿԻ 2ՆԵՐԻ ԵՐԿՐԱՓՈՒԹՅՈՒՆԸ ԵՎ ՊԱՐՈՒԲԱԿԱՆ ԱՍՏՄԱՆ ԳԲԱՍՄԻԿԱՆ

Պարուրակիների մշակումը, հատկապես ներպարուրակիչներով (մետակ) և կողոր արտապարուրակիչներով (ոլաշակ), կտրման գոտում առաջացնում է մեծ պլաստիկ գեֆորմացիաներ (ուռշում — վելցումանք): Համեմատաբար փոքր ետեր անկյուններն ընդունիչ (աշխատող) մասի վրա և ետեր անկյունների բացակայությունը կալիբրող մասի վրա տուացնում են մեծ շփում, բարձր ջերմաստիճան և գործիքի ինտենսիվ մաշում: Կտրման գոտում կտրող եղբերից տաշեղի արագ հեռացման և քսուքահրվացնող հեղուկների մատուցման դժվարացված պայմաններն ուժեղացնում են ջերմային էֆեկտը: Բարակ տաշեղներ ($0,1-0,001$ մմ) հանելը գործիքի աշխատող մասի վրա առաջացնում է մեծ տեսակարար

բեռնվածքներ, որի հետևանքով զգալիորեն աճում են կոնսաւկտային լարումները և ուժեղանում է մաշումը: Մանրացված տաշեղը ընկնելով ներպարուրակիչի և պարուրակի աշխատող մակերեսույթների միջև, առաջացնում է ներպարուրակիչի լուսածություն (զավելուածություն), որը հանդեպ նում է նրա քայլքայմանը:

Քանի որ ներպարուրակիչներով, արտապարուրակիչներով և այլ պարուրակահատ գործիքներով պարուրակներ հանելու պրոցեսներն ունեն շատ ընդհանուր գրույթներ, սահմանափակվենք միայն ներպարուրակիչներով պարուրակ մշակելու պրոցեսի քննարկումով:

Այս լաբորատոր աշխատանքի կատարման ժամանակ ուսանողը պետք է ուսումնասիրի ներպարուրակիչների տարրեր կոնստրուկցիաները, հատուկ ուշադրություն դարձնի դրանց աշխատող մասի վրա, ինչպես նաև ծանոթանա պարուրակահատման ոլորող մոմենտի որոշման, շափիչ գինամոմետրի գործողության սկզբունքի և կառուցվածքի հետ: Բացի այդ, ուսանողներն ուսումնասիրում են ինդիկատորային դիագրամների մշակման փորձնական հետազոտությունների կատարման մեջողիկան, որն անհրաժեշտ է կտրման վրա ծախսվող աշխատանքի որոշման համար, և ստացված փորձնական տվյալների հիման վրա կառուցում են ֆունկցիոնալ կախվածության գրաֆիկներ: Աշխատանքն ավարտվում է գործնական հետևություններով և կատարվող աշխատանքի մասին ուսանողի եղբակացությամբ:

Ներպարուրակիչների աշխատաղ մասի դերը, կառուցվածքը և երկրագիրը ներպարուրակիչը նախատեսված է ներքին պարուրակներ մշակելու համար: Նկ. 110-ում ցուց են արված ձեռքի, մեքենաշական և հատուկ ներպարուրակիչներ:

Բոլոր ներպարուրակիչները պայմանականորեն բաժանվում են հետևյալ հիմնական խմբերի:

Մեքենայական ներպարուրակիչները նախատեսված են համար հաստոցների վրա կամ էլեկտրական ու պնկմատիկ շաղափիչների միջոցով տարրեր գետալներում պարուրակի մշակման համար:

Մանեկային ներպարուրակիչները ծառայում են մանեկահատ (գայկոնարեզնայ) հաստոցների վրա մանեկներում պարուրակի մշակման համար: Մանեկային ներպարուրակիչները են չեն ստալում (ետպարուրակվում — վայերտակում):

Զերքի ներպարուրակիչները կիրառվում են միջանցիկ և խոլ անցքերում ձեռքով պարուրակ մշակելու համար: Այդպիսի ներպարուրակիչներով պարուրակ մշակելն իրագործվում է ձեռքով՝ պատիկի (վորոտօք) օգնությամբ:

Արգես կանոն, այդպիսի ներպարուրակիչները պատրաստվում են հավաքածուներով, որոնցից յուրաքանչյուրը պարունակում է, փոքր տը-

բամագծերի դեպքում, երկու ներպարուրակիչ, իսկ համեմատաբար մեծ տրամագծերի դեպքում (մոտ 15 մմ-ից բարձր)՝ երեք ներպարուրակիչ: Նայած հավաքածուի մեջ մտնող ներպարուրակիչների քանակին, դրանք համապատասխանաբար անվանվում են առաջին, երկրորդ և երրորդ: Այդպիսի ներպարուրակիչներով պարուրակը մշակվում է հաջորդաբար՝ ըստ համարի աճի: Տվյալ հավաքածուի մեջ մտնող ներպարուրակիչների միջև աշխատանքի բաշխման մասին մանրամասն կրշարադրվի ստորև: Անհրաժեշտ է ընդգծել, որ ձեռքի ներպարուրակիչներն ունեն աշխատանքային ընթացք, երբ իրագործվում է կտրման պրոցես, և հակառակ ընթացք (պարապ), երբ իրականացվում է ետպուտակում:

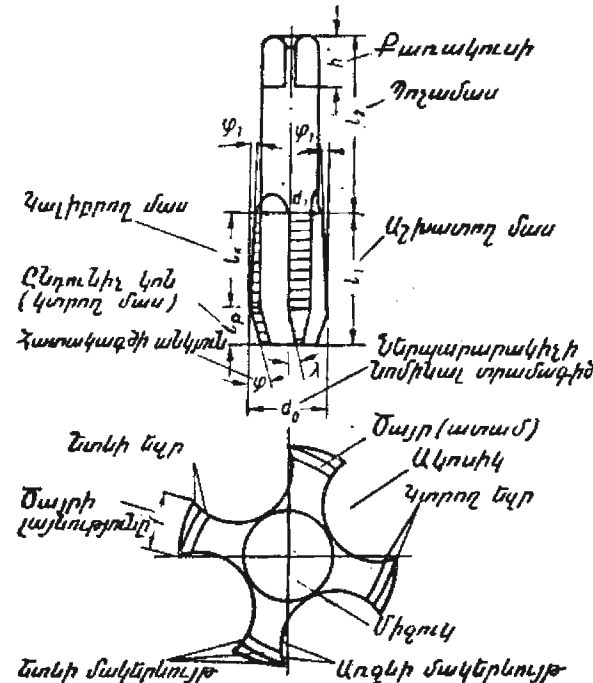
Հատուկ ներպարուրակիչները պատրաստվում են առանձին ներպարուրակիչներով: Դրանք կիրառվում են զըլանային և կոնական անցքերում հատուկ պրոֆիլի պարուրակներ մշակելու համար: Ներպարուրակիչները կիրառվում են ինչպես այնպես էլ ձախ պարուրակներ մշակելու համար: Նայած պարուրակի ուղղությանը, ներպարուրակիչները բաժանվում են աջի և ձախի:

Անկախ նշանակումից (դերից) և աշխատանքի բնույթից, որոշակի ֆունկցիաներ կատարելու համար բոլոր ներպարուրակիչներն ունեն միատեսակ կոնցենտրուկտիվ տարրեր: Քննարկների ներպարուրակիչների հիմնական տարրերը և երկրաշատիությունը:

Նկ. 111-ում ցույց է տրված ձեռքի ներպարուրակիչ: Ներպարուրակիչը կազմված է աշխատող մասից, որն իրականացնում է կտրման պրոցեսը, և պոշամասից, որը նախատեսված է ներպարուրակիչի ամրացումը ճիշտ շահագործելու համար:

Ներպարուրակիչի աշխատող մասը բաղկացած է ընդունիչ մասից

(заборный конус) և կալիբրող մասից: Ընդունիչ մասն ամենից ավելի կարևոր կոնստրուկտիվ տարր է, որը փաստորեն միայնակ է կատարում պարուրակի մշակման ամբողջ պրոցեսը: Այդ տարրի հորինման ճշտումը նշունք է կախված պրոցեսի արտադրողականությունը, շահագետությունը և պարուրակի մշակման որակը: Լարորատոր աշխատանք կատարելիս անհրաժեշտ է, որ դասախոսներն ուսանողների հատուկ ուշադրությունը:



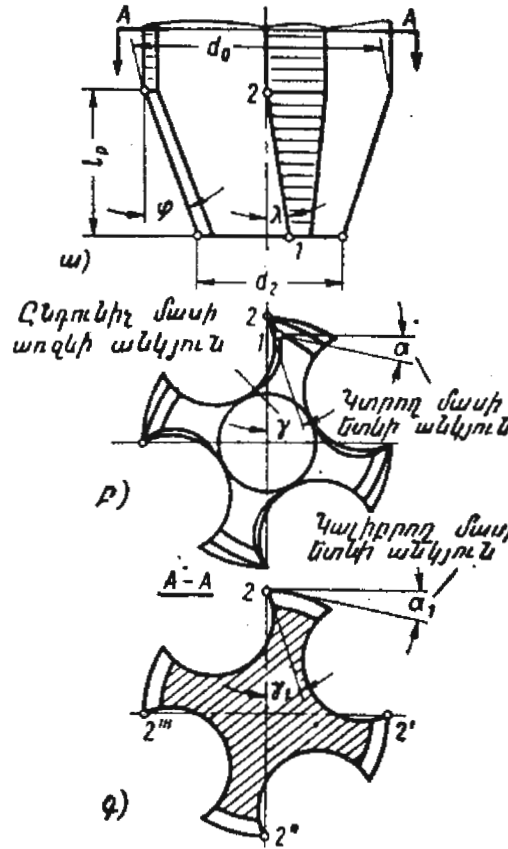
Ալ. 111. Ձեռքի ներպարուրակիչ

ճյունը հրավիրեն ներպարուրակիչի ընդունիչ մասով կտրելու պրոցեսը ուսումնասիրման վրա:

Ներպարուրակիչի կալիբրող մասը ժառայում է պարուրակի պրոցեսի վերջնական ձևավորման և նրա աշխատանքի ժամանակ ներպարուրակիչի ուղղման համար: Ծփումը և ներպարուրակիչի լովելու հնարավորությունը նվազեցնելու համար, նորմալ անցքի մեջ նրա մտնելուն համեմատ, կալիբրող մասի վրա արվում է հակառակ կռն ($d_0 > d_1$) Φ_1 անկյունով: d_1 տրամագիծը ձեռքի ներպարուրակիչների համար ընարվում է d_0 տրամագիծից $0,05-0,15$ մմ ավելի փոքր: Տաշեղի տեղավորման համար ներպարուրակիչի աշխատող մասն ունի ակոսներ (տես նկ. 111):

Ներպարուրակիչի ծայրը միաժամանակ կատարում է երկու ֆունկցիա՝ կտրող ատամների տեղաբաշխման բազա է ծառայում և ներպարուրակիչը կենտրոնավորում է մշակվող անցքի մեջ:

Նկ. 112-ում պատկերված են կտրման պրոցեսն ապահովող ներպարուրակիչի անկյունները:



Նկ. 112. Ներպարուրակիչի անկյունները

կ լ ո ն (угол схода или сбега стружки); Նայած տաշեղի անհամեշտ ուղղության ընտրությանը, այդ անկյունը կարող է ունենալ դրական կամ բացասական նշանակություն: Միջանցիկ անցքերում պարուրակ մշակելիս, եթե տաշեղը հարկավոր է հեռացնել ներպարուրակիչի առանցքային տեղափոխման ուղղությամբ, կտրող եղրի թեքման անկյունն անհամեշտ է անել դրական (ինչպես ցույց է տրված նկ. 112, առաջ), իսկ խոր անցքերում պարուրակի մշակման դեպքում՝ բացասական: Բացասական անկյան դեպքում տաշեղը դուրս կգա պարուրակվող անցքից

արտաքին ուղղությամբ, որը հակառակ է ներպարուրակիչի առանցքային տեղափոխմանը: Միջին հաշվով այդ անկյունն ընտրվում է $\approx 5^\circ - 10^\circ$:

Նկ. 112, բ-ում ցույց են տրված ներպարուրակիչի ընդունիչ մասի ետևի և անկյունը և առջևի γ անկյունը:

Ետևի անկյունն անհրաժեշտ է ներպարուրակիչի աշխատող մասի և մշակվող պարուրակի միջև շփումը փոքրացնելու համար:

Անհրաժեշտ է ուսանողների ուշագրությունը հարավիրել այն բանի վրա, որ գլխավոր կտրող եղրի երկայնքով ($1-2$ զիծը) ետևի անկյունները հաստատում չեն և դրանք փոքրանում են 1 կետից դեպի 2 կետը:

Ներպարուրակիչների ետևի անկյուններն առաջանում են ընդունիչ մասի ծոծրակման հետևանքով: Դասախոսությունների ժամանակ այս դրույթը ուսանողների կողմից բավարար կերպով չի լուրացվում, ուստի անհրաժեշտ է այդ բացը լրացնել գործնական պարագմունքների ընթացքում՝ տալով ներպարուրակիչի ընդունիչ մասի ետևի անկյունների շափման առաջադրանք: Միջին հաշվով, ընդունիչ մասի ետևի և անկյան մեծությունը հավասար է մոտ $8^\circ - 12^\circ$: Ներպարուրակիչների առջևի γ անկյունը, ինչպես և յուրաքանչյուր կտրող գործիքներ, նախատեսված է, զլիավորապես, կտրվող շերտի դեֆորմացիայի փոփոխման համար: Առցնի անկյունների դրական արժեքների դեպքում դեֆորմացիաներն ավելի լի փոքր չափով են լինում, քան բացասական անկյունների դեպքում: Առջևի անկյան մեծությունն ընտրվում է, զլիավորապես, մշակվող նախապարաստվածքի նյութի մեխանիկական հատկություններին համեմատ: Օրինակ, բրոնզներ մշակելիս՝ $\gamma = 0^\circ$, կարծր չուրուններ մշակելիս՝ $\gamma = 10^\circ$, փափուկ պողպատներ մշակելիս՝ $\gamma = 20^\circ$, իսկ ալումինիում՝ մշակելիս՝ $\gamma = 40^\circ$:

Ներպարուրակիչի պատրաստելիս առջևի անկյունը չափվում է ներպարուրակիչի պտտման առանցքին ուղղահայաց հատվածքում, իսկ շահագործման դեպքում պահանջվում է իմանալ առջևի անկյան մեծությունը տարրական կտրիչների ընդհանուր ազդման գծին ($1-2$ զիծը) նորմալ հատվածքում:

Առջևի անկյունների վերահաշվարկը կարելի է կատարել հետևյալ բանաձևով՝

$$\operatorname{tg} \gamma_N = \operatorname{tg} \gamma \cdot \cos \varphi$$

որտեղ γ -ն անկյունն է այն հատվածքում, որն ուղղահայաց է ներպարուրակիչի պտտման առանցքին,

գ-ն ընդունիչ մասի անկյունն է,

γ_N -ը անկյունն է $1-2$ գծին նորմալ հատվածքում:

Հետևարար, նորմալ առցնի անկյունը միշտ փոքր կլինի շառավղացին սպղությամբ շափած առցնի անկյունից: Կտրման պրոցեսում միշտ հաշվի է առնվում անկյունը նորմալ հարթության մեջ, որովհետեւ կտրվագող շերտը դեֆրամացման դեպքում նստեցվում է կտրող եղբին աղղաշայաց: Բացի այդ, ընդունված է, որ տաշեղը նույնպես կտրող եղբին նորմալ է դուրս զալիս: Ետեւ անկյունը շափվում է կտրող դորժիքի տեղաշարժման հետագծով, այդ պատճառով ետեւ անկյունը նորմալ հատվածքում անհրաժեշտ չի համարվում:

Ընդունիչ մասի երկարությունը կտևված է ներպարուրակիլի դերից (նշանակումից) և դրանց աշխատանքի բնույթից։ Ընդունիչ մասի երկարությունը հաճախ պայմանականորեն արտահայտում են դալարների թվով։ Արպես օրինակ աղյուսակ 2-ում բերված են միջանցիկ և ոչ միջանցիկ (խուլ) անցքերում պարուրակ մշակելու համար ներպարուրակիչների հավաքածուների աշխատող մասերի երկարությունները։

Մեքենայական ներպարուրակիշը միայնակ կտրում, հանում է պարուցակի պրոֆիլի ամբողջ մակերեսը, այդ պատճառով նրա ընդունիչ մասի երկարությունը մոտ 1,5—2 անգամ մեծ է ձեռքի ներպարուրակիշների հազարածուի մեջ մտնող առաջին համարի ներպարուրակիշների երկարությանից:

Նկ. 112, գ-ում ներկայացված է ներպարուրակիշի կալիբրող մասի կտրվածքը, որտեղ 2 կետում ցույց են տրված առջևի γ_1 և ետևի α_1 անկյունները:

Կալիբրող մասի ծայրը կատարում է երկու փունկցիա՝ վերջնականացնելու մաքրում ու ձեռվորում է պարուրակը և ներպարուրակիչը կենտրոնավորում է անցքի մեջ: Կալիբրող մասի ծայրերին շփումը փոքրացնելու համար անհրաժեշտ է ունենալ ետևի անկյուն՝ $\alpha > 0$, սակայն այդպիսի անկյան առկայության գեպքում վատանում են կենտրոնավորման պայմանները, քանի որ այդ գեպքում կենտրոնավորումը կիրակարձվի ոչ թե ծայրերի ամբողջ մակերեսով, այլ միայն ներպարուրակիչի համան պժի երկանքով 2, 2', 2'' և 2''' կետերում:

Պարուակի մշակման պրոցեսի էությունն այն է, որ ներպարուակիշը կատարում է պտտական շարժում սեփական առանցքի շուրջը (կտրման արագություն) և համընթաց շարժում ներպարուակիշը տռանցքային ուղղությամբ (առանցքային մատուցում, որը հավասար է մեկ պտույտին համապատասխանող պարուակի S քայլին): Այդ երկու շարժումներն ապահովում են պարուակի մշակումը: Հնդունիչ մասի վրա գտնվող տարրական կտրիչները կտրման ժամանակ որոշակի հաջորդականությամբ անցնում են մշակվող պարուակի պրոֆիլով:

Յուրաքանչյուր տարրական կտրիչ տաշեղ է հանում այնպես, ինչպես ցուց է արված նկ. 113-ում:

Ներպարուրակիչի բնդունիչ ժամկերագության վրա գույքաբների (թերթիկների) քանակը	Ներպարուրակիչի բնդունիչ ժամկերագության վրա գույքաբների (թերթիկների) քանակը	
	Ժիշտանցիկ անցքերի համար	Խուզանցքերի համար
1	6—7	3—4
2	3—3,5	2—2,5
3	1—1,5	1—1,5

Ներպարուրակիչի շարժումն իրականացվում է ինքնամատուցումով. այն շպետք է ունենա հարկադրական մատուցում, իսկ եթե այդպահին կա, ապա ներպարուրակիչի քայլի հաստոցի մատուցման մեջ միզնի միջև շափերի տարրերությունը փոխհատուցելու համար անհզմի միջև կապիչ-փոխհատուցիչ (патрон-компенсатор), որը կանոնավոր է հաստոցի, դործիքի շարդումը և պարուրակի խախտումը (ըրբ):

Ընդունիչ մասի վրա կտրվածքի հատվածքի պատուեցնել
շափկում է տարրական կտրիչի ընդհանուր կտրող նպրին նորմալով
կարելի է արտահայտել հետևյալ բանաձևով՝

$$a_z = a_x \cdot \cos\varphi$$

իսկ տաշեղի հաստովլյունը, որը շափվում է ներպարուսակիլի պատճան՝ առանձին տարվող նորմալով՝

$$a_z = \frac{t}{D} \text{ m/s,}$$

սրակության պարուղակի պրոֆիլի խորովածն է:

թ-ն՝ ընդունիլ մասի տարրական կարիչների թիվը:

Հնդունիշ մասի վրա տարրական կտրիչները թիվը
ուղղութեարի թվից (ա) և ակոսների թվից (բ), այսինքն

$$P = \omega \cdot n \quad \text{und} \quad P = -\frac{I_4}{S} \cdot n$$

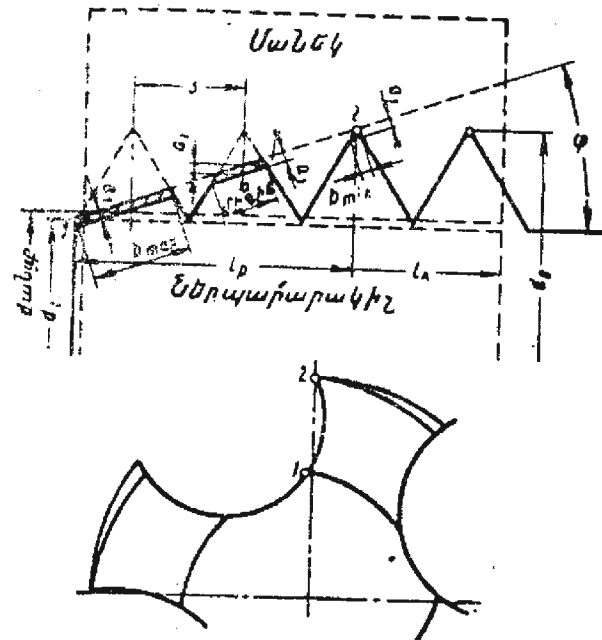
Տեղադրելով՝ թիւ արժեքը՝ նախորդ հավասարման մեջ, կտանաբ

$$a_z = \frac{t \cdot S}{l_t \cdot n} = \frac{S}{n} \cdot \operatorname{tg}\varphi$$

Բանաձևից երկում է, որ տաշեղի հաստությունը կախված է պարուրակի պրոֆիլի բարձրությունից՝ (t), քայլից (S), ակուների թվից (n) և ընդունիչ մասի երկարությունից (l₄): Ակուների թվի և ընդունիչ մասի երկարության փոքրացման համեմատ մեծանում է կտրվող շերտի աշխատությունը:

Պոլոր տարրական կտրիչների վրա կտրվող շերտի հաստությունը մնում է հաստատում մեծություն:

Նկ. 113-ից երկում է, որ տաշեղի լայնությունը (b) 1 կետից դեպի



Նկ. 113. Պարուակի մշակելու սխեմա

2 կետը փոքրանում է: Առաջին տարրական կտրիչն ունի տաշեղի առավելագույն լայնություն (b_{\max}), իսկ երրորդ կտրիչը՝ նվազագույն լայնություն (b_{\min}): Որոշելով առանձին տարրական կտրիչների վրա կտրվող շերտի հատվածքի մակերեսը, համապատասխանաբար կունենանք առաջանակի որ բնանվածքն ուղիղ համեմատական է կտրվող շերտի մակե-

րեսին, ապա յուրաքանչյուր ատամի վրա համապատասխանաբար կաղզի հետեւալ ուժը՝

$$P_1 = K_s \cdot a_1 \cdot b_{\max},$$

$$P_2 = K_s \cdot b_{\min},$$

$$P_3 = K_s \cdot a_1 \cdot b_{\min}.$$

Մեկ ժայրի վրա ազդող բոլոր ուժերի գումարային ուժը (առանց հաշվի առնելու կալիբրող մասի վրա ազդող կտրման ուժը, շփման և լոման ուժերը) կլինի՝

$$P_{\text{զույ}} = (P_1 + P_2 + P_3) \text{ կՆ:}$$

Ներպարուրակիչի պոտոման առանցքի նկատմամբ $P_{\text{զույ}}$ -ն առաջնում է գումարային ոլորող մոմենտ ($M_{\text{զույ}}$): Ներպարուրակիչի աշխատում է ըստ ոլորման: Գումարային ոլորող մոմենտը կազմված է երեք գլխավոր բաղադրիչներից՝

$M_{\text{կոր.}}$ — կտրման աշխատանքի վրա ծախսվող ոլորող մոմենտն է,

$M_{\text{շփ.}}$ — ներպարուրակիչի աշխատող մակերեսութիւն և պարուրակի մակերեսութիւն միջև կտրման պրոցեսում առաջացող շփման ուժերի մոմենտն է,

$M_{\text{լո.}}$ — տաշեղի կողմից ներպարուրակիչի լովելու և կտրման գոտում մետաղի դեֆորմացման վրա ծախսվող մոմենտն է. Ներպարուրակիչի ների զգալի լովելն առաջացնում է գրանց կոտրում (ոլորում):

Գումարային ոլորող մոմենտը՝

$$M_{\text{զույ}} = M_{\text{կոր.}} + M_{\text{շփ.}} + M_{\text{լո.}}$$

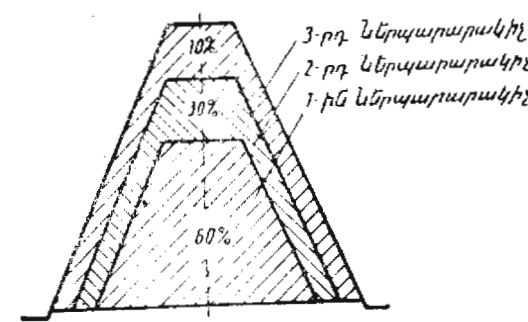
Հետագայում գումարային ոլորող մոմենտը մենք կանգանենք $M_{\text{լո.}}$: Գումարային ոլորող մոմենտը կախված է տրամագծից, ներպարուրակիչի երկրաչափությունից (α, γ, φ, φ₁, λ) և ներպարուրակիչի ընդունիչ մասի երկարությունից (l₄), մշակվող դետալի նյութի մեխանիկական հատկություններից, քսուքահովացնող հեղուկից և այլ գործոններից: $M_{\text{լո.}}$ -ը որոշվում է փորձնականորեն, հատուկ զինամոմենտով: Գումարային մոմենտի մեծության վրա հիմնական դործոնների ազդեցության ուսումնասիրումը կլինի տվյալ լաբորատոր աշխատանքի նպատակը:

Պարուակի մշակման աշխատանքի բաշխումը ներպարուրակիչների հավաքածուի վրա: Հավաքածուի առանձին ներպարուրակիչների

միջև աշխատանքի բաշխման հիմնական դործոններն են՝ կտրման էքստրեմալ բեռնվածքն առանձին ատամի վրա, պարուրակի պրոֆիլի մաքրությունն ու ճշգրտությունը և հավաքածուի մեջ մտնող առանձին ներպարուրակիչների ծառայության ժամկետը:

Նկ. 114-ում պատկերված է պարուրակի պրոֆիլի կտրվող մակերեսի բաշխման հնարավոր սխեմաներից մեկը: Պարուրակի մշակման վրա ներպարուրակիչների հավաքածուի ծախսած ընդհանուր աշխատանքը բաշխվում է հետեւյալ կերպ՝ առաջին ներպարուրակիչների վրա բնակնում է ընդհանուր աշխատանքի 60%-ը, երկրորդի վրա՝ 30%-ը և երրորդի վրա՝ 10%-ը:

Աշխատանքի այդպիսի բաշխումը պայմանավորված է հավաքածուի մեջ մտնող առանձին ներպարուրակիչների նշանակմամբ: Առաջին ներպարուրակիչը նախատեսված է սև (նախնական) աշխատանք կատարելու համար: Այդ դեպքում ներպարուրակիչից բարձր ճշգրտություն չի պահանջվում: Երկրորդ ներպարուրակիչը կատարում է պարուրակահանման նախապարաստական աշխատանքը: Երկրորդ ներպարուրակիչից պահանջվում է պարուրակի ավելի ճշգրիտ պրոֆիլ: Այդպիսի ներպարուրակիչը պետք է պատրաստված լինի ավելի բարձր ճշգրտությամբ, քան առաջինը, որի պատճառով երկրորդ ներպարուրակիչի պատրաստման հախան առաջինի պատրաստման ծախսերից ավելի են: Երրորդ ներպարուրակիչը (մաքուր) պրոֆիլը հասցնում է պահանջվող շափին, այն ունետք է ապահովի պարուրակի մակերեսությի բարձր ճշգրտություն, մաքրության բարձր աստիճան, ուստի և դրա պատրաստման ծախսերն ավելի մեծ են:

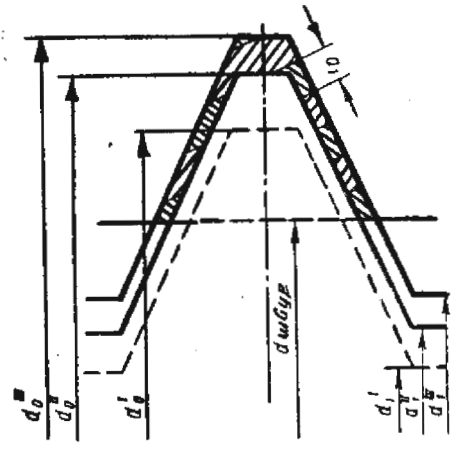
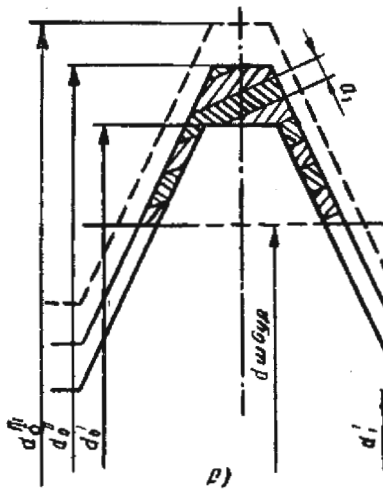
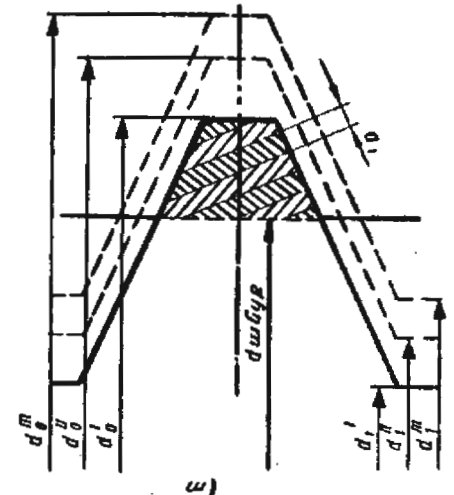


Նկ. 114. Կորպող մակերեսի բաշխման սխեմա
առաջինը, որի պատճառով երկրորդ ներպարուրակիչի պատրաստման հախան առաջինի պատրաստման ծախսերից ավելի են: Երրորդ ներպարուրակիչը (մաքուր) պրոֆիլը հասցնում է պահանջվող շափին, այն ունետք է ապահովի պարուրակի մակերեսությի բարձր ճշգրտություն, մաքրության բարձր աստիճան, ուստի և դրա պատրաստման ծախսերն ավելի մեծ են:

Նկ. 115-ում ցույց են տրված կտրման սխեմաները երեք ներպարուրակիչների համար:

Հավաքածուի ներպարուրակիչներով պարուրակ հանելու դեպքում անհրաժեշտ է ուշադրություն դարձնել մշակվող անցքի մեջ ներպա-

րուրակիչների ներածման հաջորդականության վրա: Ներպարուրակիչների կիրառման հաջորդականության խախտման հետևանքով դրանք շարդվում են: Առաջին ներպարուրակիչներով պարուրակ մշակելուց հետո հաջորդ ներպարուրակիչներին անհրաժեշտ է գործի զնել արգեն մշակված պարուրակի ճիշտ տեղում: Այդ կանոնի խախտման հետևանքով փշանում է պարուրակը, չարդվում ներպարուրակիչը: Պարուրակի տակ տնցքի տրամագիծը միշտ մեծ է արվում ներպարուրակիչի ներքին տրա-



Նկ. 115. Ներպարուրակիչներով կտրման սխեմաներ:

ա—առաջին, բ—երկրորդ, գ—երրորդ

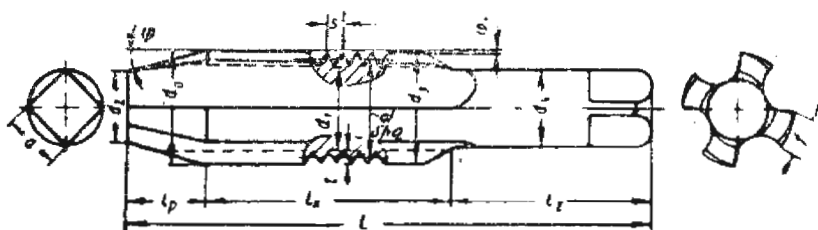
մագծից, քանի որ կտրման պրոցեսում պարուրակվող դետալի նշութը զեֆորմացվում է (վայուման է) և լցնում եղած ազատ տարածությունը: Ազատ տարածության բացակայության պատճառով լովում են ներպարուրակիչները և կոտրվում: Պարուրակ մշակելու դեպքում

մացման մեծությունը կախված է մշակվող դետալի նյութի պլաստիկությունից և ներպարուրակիչի աշխատող մասի երկրաշափությունից: Պարուրակ մշակելու համար անցքի տրամադիծը կարելի է հաշվել հետևյալ բանաձևով:

$$d_{\text{անգ}} = d_0 - 1,6 + \text{մմ:}$$

Ներպարուրակիչների նիմնական տարրերի և աշխատող մասի երկրաշափության շափումը: Ցուրաքանչյուր ռասանող ստանում է ներպարուրակիչների հավաքածու և կատարում է նկ. 116-ում ցույց տրված ներպարուրակիչների կոնստրուկտիվ տարրերի չափում:

№ 11, ա արձանագրության մեջ նշվում են բոլոր գծային և անկյունային չափերը:



Նկ. 116. Անորի ներպարուրակիչի կոնստրուկտիվ տարրեր

Արձանագրություն № 11, ա

Զանգ	Ներպարուրակիչների հավաքածուի տարրեր հիմնական չափեր	Ներպարուրակիչների հավաքածուի տարրեր հիմնական չափեր														
		d ₂	d ₀	d ₃	d ₄	d ₁	t	S	l _p	l _s	φ	q _{ամ}	x	l ₂	L	a
I																
II																
III																

Պարուրակի պրոֆիլի բարձրությունը հաշվարկվում է հետևյալ բանաձևով:

$$t = \frac{d_0 - d_1}{2} \text{ մմ:}$$

Բնդունիչ մասի անկյունը հաշվարկվում է հետևյալ բանաձևով՝

$$\operatorname{tg} \gamma_1 = \frac{d_0 - d_1}{2 \cdot l_4},$$

Ներպարուրակիչի բնդունիչ մասի վրա տարրական կտրիչների թիւը հաշվարկվում է հետևյալ բանաձևով՝

$$P = \omega \cdot n:$$

Պարուրակի ծայրի լայնությունը (\hat{l}) և պրոֆիլի բարձրությունը չափում են կալիբրող մասի վրա: Բոլոր տրամադերը և դժային չափերը չափում են միկրոմետրով և ձողակարկինով, իսկ պարուրակի և քայլը՝ պարուրակակաշափիչով:

Այդ առաջարանքի կատարումն է անցնել ներպարուրակիչի բնդունիչ մասի ետևի շափում:

Նկ. 117-ում ցույց է տրված ներպարուրակիչի բնդունիչ մասի ծոծրակման և հանի շափումների առաջարան սկզբունքային սխնդման շիշյալ սիստեման ցուցադրված է այն Ենթադրությամբ, որ ներպարուրակիչի բնդունիչ մասը ծոծրակված է: Ետևի անկյունը որոշվում է հետևյալ բանաձևով՝

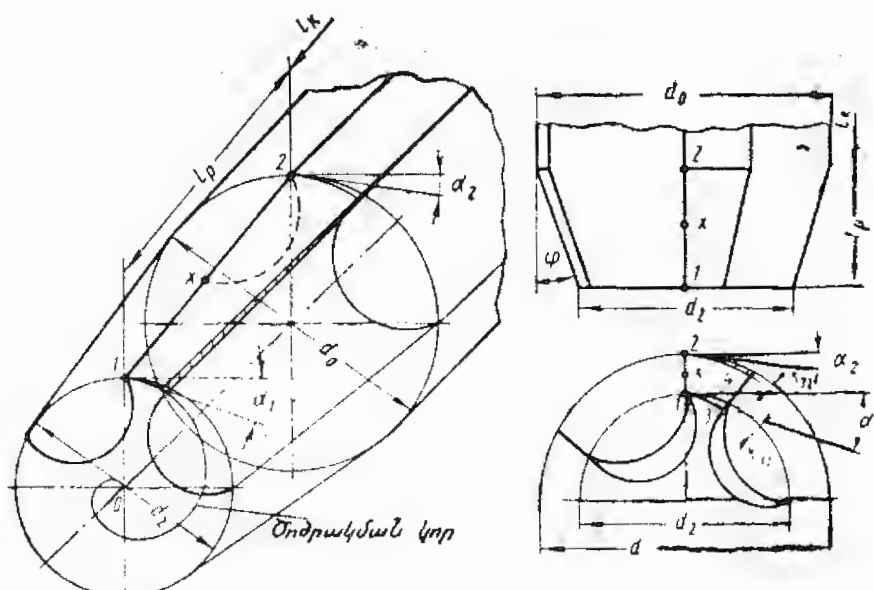
$$\operatorname{tg} \gamma_1 = \frac{K_{\gamma_1}}{\hat{l}},$$

որտեղ K_{γ_1} -ը ծոծրակման մեծությունն է,

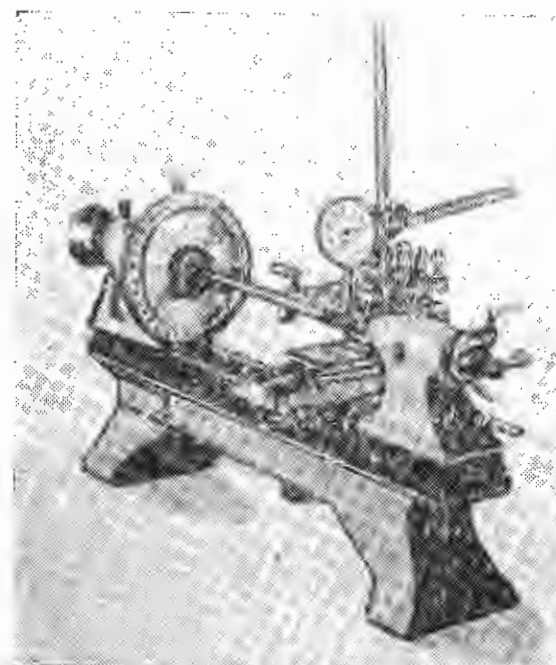
ի-ը՝ ծայրի լայնությունը 1—3 չափովող տեղամասում:

Այդ բանաձևի վերլուծումից երևում է, որ \hat{l}_x արամագքի փոփոխության համեմատ փոփոխվում է և ետևի շափումների մեջ կլինի, քանի շե կետում, այսինքն՝ $x_1 > x_2$: Այս լաբորատոր աշխատանքի կատարման ժամանակ անհրաժեշտ չափել ետևի անկյան մեծությունը միայն չետում: Բավականաշափ ժամանակ ունենալու դիպքում ետևի անկյունների անհրաժեշտ չափել երեք կետում՝ 1, X և 2: Ետևի անկյունների չափման համար կետերի թիվը որոշում է պարապմունք վարող դասախոսը: Անկյունների չափումը պատկերացում է տալիս ետևի անկյունների ոչ հաստատուն լինելու մասին, հետեւքը նաև բնդունիչ մասի լուրաքանչյուր առանձին կետում կտրման տարրեր պայմանների մասին, քանի որ ետևի շափումների մեծությունից են կախված շիման ուժը, մաշումը և ներպարուրակիչների ծառայության ժամկետը:

Նկ. 118-ում ցույց է տրված ներպարուրակիչի աշխատող մասի երկրաշափության չափման համար հարմարաբերված սեղանի հաստոցը: Քննարկենք, թե ինչպես է չափում ներպարուրակիչի ետևի շափումը:



Նկ. 117. Ներպարուրակիչի ընդունիչ մասի ծոծրակման և ետքի անկյան-
ների առաջացման օկզրուելքային սխեմա



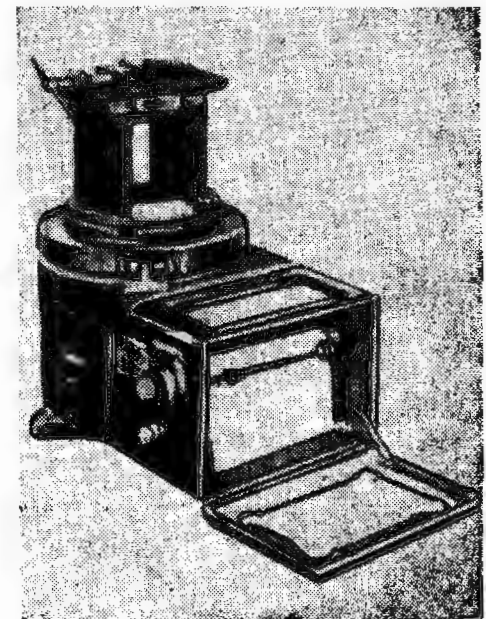
Նկ. 118. Ներպարուրակիչի ընդունիչ մասի երկրաշափության շափման կայան

Զափվող ներպարուրակիչն ամրացվում է կենտրոններում։ Ներպա-
րուրակիչի պոշամասի քառակուսին ամրացվում է՝ շրջելը կանխելու
չամար։ Հետում (տե՛ս նկ. 117) տեղակայվում է ինդիկատորի
ոտքը։ Հաստոցի իլի վրա ամրացված է աստիճանավորված սկավառակ։
ցուցիչի սլաքը ամրացված է հաստոցի առջևի թամրին։ Հաստոցի իլի
վրա ամրացված թափանիվը որոշակի անկյան տակ շրջելիս, կպտուվի

և ներպարուրակիչը։ Ներպարուրակիչի
շրջելու գեպքում ինդիկատորի ոտքն
իշնում է ներքեւ մի ինչոր մեծու-
թյամբ։ Իմանալով ներպարուրակիչի
շրջադարձման անկյունը և ընդունիչ



Նկ. 119. № 11 լարպառառ աշխատանի
կատարման կայանի ընդանուր
տեսքը



Նկ. 120. Պարուականատման ութեագ
մամենաների շափման
գինամումեար

մասի վրա ոտքի տեղափոխման մեծությունը, ըստ անկյան տանգենսի
որոշում ենք ետքի և անկյան մեծությունը։

Այդ հաստոցի վրա կարելի է կատարել առջևի շափման և ներպա-
րուրակիչի ու որոշ այլ կտրող գործիքների ընդունիչ մասի ջ անկյան
շափում։

Սարժավորաւմը և փարձնական տվյալների մշակման մեթոդիկան պա-

բուրակ մշակելու դեպքում: Նկ. 119-ում ցույց է տրված պարուրակահատ ման դինամիկայի ուսումնասիրման լաբորատոր աշխատանքի կատարման կայանք: Այդ կայանքը բաղկացած է գայլիկոնիչ հաստոցից (1), ներպարուրակիշով (3) պարուրակ մշակելիս ոլորող մոմենտների շափման և դինամոմետրից և նախապատրաստվածքից (4): Պարուրակ մշակելու համար: Պարուրակ մշակելու դեպքում անհրտեղաց է ապահովել ներպարուրակիշի և մշակվող անցքի համառանցքայնությունը: Ներպարուրակիշը շպետք է կոչու ամրացվի հաստոցի իլին, անհրաժեշտ է ապահովել իլի առանցքից բոլոր կողմերի վրա որոշ անկյան տակ ժամանակին թիքելու հնարավորությունը:

Դինամոմետրի առանցքը պետք է խիստ համընկնի հաստոցի իլի առանցքի հետ:

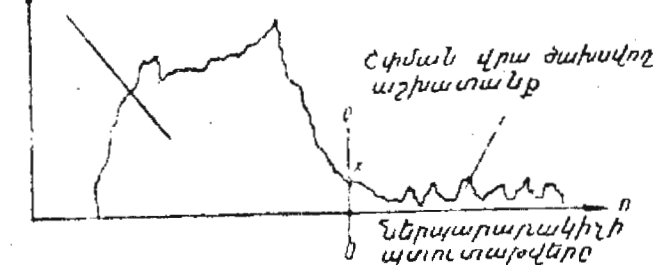
Նկ. 120-ում ներկայացված է պարուրակ մշակելիս ոլորող մոմենտների շափման թառամանի անվան ՄԲՏԸՒ-ի (MBTU) կոնստրուկցիայի դինամոմետրը: Իսկ նկ. 121-ում՝ դինամոմետրի աշխատանքի սկզբունքին սխեման: Դինամոմետրը հիմնված է մըխված պողպատե ձողի առաջական դիֆորմացիաների (Հուկի օրենքի սահմաններում) սկզբունքի վրա: Դինամոմետրը բաղկացած է իրանից (1), որն ամրացված է հաստոցի սեղանին (անշարժ մասը), և են դինամոմետրի սեղանից (2),

որին ամրացված է (3) դետալը (շարժական մաս): Սարքի շարժական մասը (սեղան) կապված է անշարժ մասի (իրան) հետ մխված պողպատե ձողով (4): Տարբեր տրամագերի ձողերի հավաքածուն թույլ է տալիս օգտագործել դինամոմետրը փոքր և մեծ շափերով ներպարուրակիշների հետազոտման համար և ստանալ դինամոմետրի ցուցմունքի անհրաժեշտ ճշգրտություն: Դինամոմետրի սեղանը լժակների սիս-

տեմի միջոցով կապված է 5 սլաքի հետ, որի աղատ վերջավորության վրա ամրացված է 6 ծայրը 7 թմբուկի վրա՝ դիագրամի զրանցման համար: Սայրի թեքումը համեմատական է ոլորող մոմենտի մեծությանը: Դինամոմետրի և հաստոցի առանձին հանգույցների գերի հետ համապատ ծանոթությունից հետո քննարկենք ամբողջ կայանքի աշխատանքը:

Կտրման ժամանակ ներպարուրակիշի վրա առաջանում է Լու ոլորող մոմենտը: Այդ մոմենտի ազդեցության տակ 4 պողպատե ձողը ոլորում է որոշ անկյան տակ, իսկ 3 սեղանը թեքում է ծայրը, որը վրանցում է ոլորող մոմենտի մեծությունը: Այդ ժամանակ իլը տեղափոխվում է առանցքի ուղղությամբ (դեպի ներքեւ): Իլի վրա ամրացված է 8 լժակը, որի ծայրին ամրացված է 9 լարը: Այդ լարը մեկ պտույտ փաթթվում է ինդիկատորի թմբուկի (7) առանցքի հետ միացված երեք փոկանիվներից մեկին: Լարի ներքեւի ծայրը ձգվում է Q բեռով: Ներպարուրակիշի հետ միասին իլի՝ գեպի ներքեւ տեղափոխման ժամանակ պտույտով և թղթե ժապավենը տեղափոխող թմբուկը, որի վրա (թղթի) գրանցվում է «ոլորող մոմենտ-ներպարուրակիշի անցք անապարհ» կորուստաներով դիագրամը: Նկ. 122-ում ընդհանուր տեսքով բերլած է կրտըրման պրոցեսի վրա ժախսվող աշխատանքը:

Նոլ նորման վրա ժախսվող
աշխատանք



Նկ. 122. Կտրման պրոցեսի վրա ժախսվող աշխատանքի դիագրամ

ինդիկատորային թմբուկի առանցքի վրա ամրացված են տարբեր տրամագերի (փոքր, միջին և մեծ) երեք փոկանիվներ (տե՛ս նկ. 121): Խայած այն բանին թե ինդիկատորի թմբուկը շրջող փոկանիվներից որի վրա է գտնվում լարը, կտացվի դիագրամի շափը ըստ արցիսների առանցքի, իսկ դրա հետևանքով կփոփոխվի պարուրակի մշակման վրա ժախսվող աշխատանքն արտահայտող ինդիկատորային դիագրամի մակերեսը: Ստացված դիագրամներով կտրման աշխատանքը որոշելու համար անհրաժեշտ է ունենալ մասշտաբ ըստ ու առանցքի, որը կարող է

որոշվել իլի առանցքային տեղափոխմամբ և ինդիկատորային թմբուկի համապատասխան պատմամբ: Իլից ինդիկատորային թմբուկին փոխանցման թիվը բնութագոռ գործակիցը կարելի է որոշել հետևյալ բանաձևով:

$$\mu = \frac{\pi d n}{h_1},$$

որտեղ n -ը ներպարուրակիչի ճանապարհն է առանցքային ուղղությամբ, h_1 -ը՝ իլի տեղափոխման մեծությունն առանցքային ուղղությամբ, μ -ն՝ արագության գործակիցը (պայմանական նշան):

Բառմանի անվան ՄԲՏՈՒ-ի կոնստրուկցիայի տվյալ սարքի երեք տարրեր փոկանիվների դեպքում արագության գործակիցները ցույց են տրված ստորև:

Ինդիկատորային թմբուկի փոկանիվներ	$U_{k\alpha}$	$U_{k\beta}$ ին	$\Phi_{\text{բ}}$
Արագության գործակից	0,86	1,23	2,13

Ներպարուրակիչի մեկ պտույտի մասշտաբը կախված է մշակվող պարուրակի S քայլից և արագության և գործակիցը: Մասշտաբը կարելի է հաշվել հետևյալ բանաձևով:

$$m = \frac{1}{S \cdot \mu}:$$

Կտրման աշխատանքը կարելի է հաշվել հետևյալ բանաձևով:

$$A = F \cdot K_{\text{կտ.}},$$

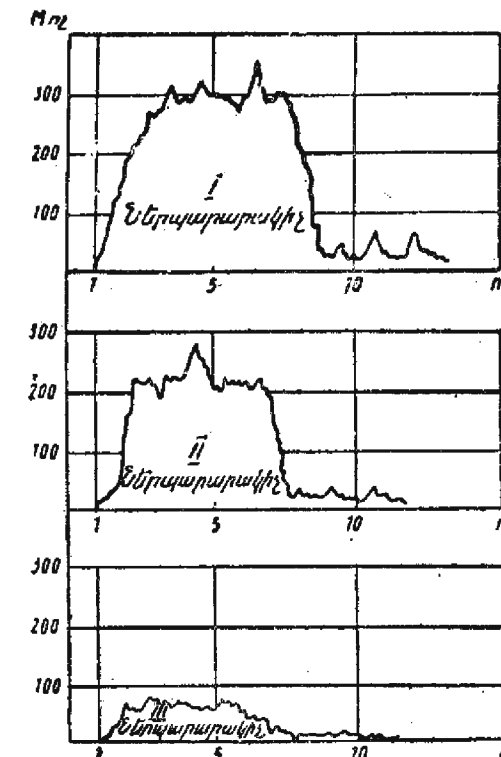
որտեղ F -ը դիագրամի մակերեսն է, m^2 -ով,

$K_{\text{կտ.}}$ -ը՝ կտրման աշխատանքի մասշտաբը:

Կտրման աշխատանքի մասշտաբը ($K_{\text{կտ.}}$) հաշվարկվում է հետևյալ բանաձևով:

$$K_{\text{կտ.}} = \frac{2\pi \cdot n}{\mu \cdot RS}$$

Դիագրամի մակերեսը որոշվում է մակերեսաշավի (լուսնում) օգնությամբ կամ քառակուսի միջմետրերի թվի հաշվարկով: Դիագ-

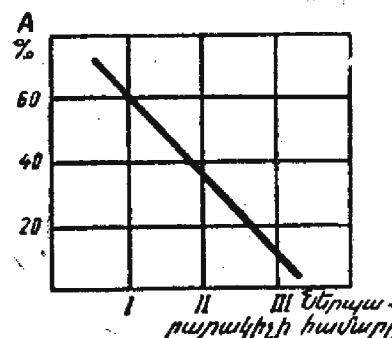


Նկ. 124. Սոմենտի փոխխման դիագրամը ներպարությիների հավաքածուվ պատրակական մշակելու դեպքում

րամի հաշվարկման դեպքում անհրաժեշտ է հաշվի առնել միայն այն մակերեսը, որն ընկնում է կտրման աշխատանքին (00 գծից դեպի ձախ), իսկ այն մակերեսը, որը ժամանակում է շփման վրա (00 գծից դեպի աջ) հաշվարկի մեջ չի մտնում (Նկ. 122):

Անհրաժեշտ է նկատի ունենալ, որ վերևում շարադրված մեթոդով կատարվող աշխատանքը հաշվարկվում է միայն տվյալ հավաքածուի մեջ մտնող ($60, 30$ և 10%) առանձին ներպարուրակիների վրա աշխատանքի բաշխման ճշտության գնահատման համար:

Ուրող մոմենտի վրա այլ գործոնների, օրինակ՝ d , I_k , a , γ , φ



Նկ. 125. Կտրման աշխատանքը երեք ներպարությաների համար

և այլն, ազդեցությունը դնահատվում է ստուգաձշաման գրաֆիկով (նկ. 123) որոշվող ոլորող մոմենտի մեծությամբ:

Նկ. 124-ում բերված են ներպարուրակիշների հավաքածուվ՝ պարուրակ հանելու հետևանքով ստացված դիագրամները։ Այդ դիագրամների տվյալներով մակերեսը հաշվարկվում է մմ²-ով, ապա կտրման աշխատանքը՝ կՊ.սմ.-ով, առավելագույն ոլորող մոմենտները՝ կԳ.սմ.-ով՝ հավաքածուի մեջ մտնող յուրաքանչյուր ներպարուրակիշի համար, ինչպես նաև բոլոր երեք ներպարուրակիշների կտրման դումարային աշխատանքը։ Փորձերի արդյունքները նշվում են № 11, քարձանազրության մեջ։

Այդ արձանագրության տվյալներով կտորացված է նկ. 125-ում քերպարժ կախվածությունը:

U. S. A. M. U. Q. P. S. P. F. S. M. 11, P.

ԽԵՐԱՄ-ՀՈՒՅՆ ԱՇԽԱՏԱՆՔԻ ԿԱՏԱՐԱՆ ԱՌԱՋԱԴՐԱՆՔ

1. Զափել ներպարուրակիշների հավաքածուի կոնստրուկտիվ տարրերը և բոլոր ավյալները նշել N 11, արձոնադրության մեջ Յուրաքանչյուր տանող ստանում է ներպարուրակիշների հավաքածու և կատարում նկ. 116-ում նշանակված բոլոր տարրերի անհրաժեշտ չափումները: Զափման արդյունքների հիման վրա կատարում են վերլուծում և շափում ընդունիչ մասի վրա տարրական կտրիշների թիվը՝ կախված ու ակուների քանակից և ընդունիչ մասի գալարաների թիվից:

2 զափել ետեի անկյունները 1, չ և 2 կետերում (նկ. 117):

Ետեի անկյունները շափվում են մեքենայական ներպարուրակիչներից մեկի վրա (նկ. 116 և 117):

Զափման արդյունքները պրանցել հետևյալ կարգով՝

Զափման կետը 1 x 2
Ետնի և անկյան մեծությունը

3. Արոշել կտրման աշխատանքի քանակը՝ կախված ներպարութակից, համարից, և կառուցել կտրման աշխատանք-ներպարութակից և կախվածությունն արտահայտող գրաֆիկ (արձանագրություն № 11, բ):

4. Արոշել ներպարուրակիչի տրամագիծի ազդեցությունը $M_{\alpha} = f(d)$ ուղրող ձևմենափակիչի մեջության վրա: Այդ փուլի փորձերի կատարման համար երեք տարրեր արամագժեր ունեցող ($d = 12, 14$ և 16 մմ) մեքենայական ներպարուրակիչներով անհրաժեշտ է մշակել պարուրակ: Պարուրակը մշակում են պողպատե նախապարաստվածքի երեք գայլիկոնված անցքերում: Փորձերի արդյունքները գրանցել, ինչպես ցույց է տրված առողել:

Ներպարուրակիչն տրամադրի Ամ-ով 12 14 16
Ալյոսկ մամնառ՝ Ար, կՊամ-ով

Ստացված տվյալներով, նկ. 126-ում ցույց տրված կոռոդինատներով, կառուցել այդ կախվածությունը:

Ակ. 126. Ներպատրակիչի տրամագիք

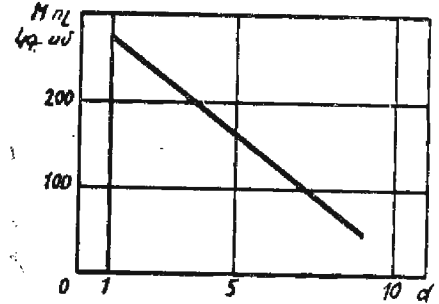
ազդեցությանը ոլորտ մամենափ վա

Ներդարութակիչը ետեի մնալու բան (շ) աստիճանք 2 5 10

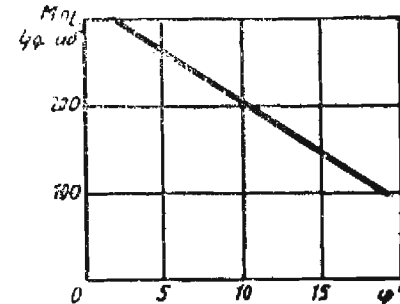
Ստացված տվյալներով, նկ. 127-ում ցույց տրված ձևով, կտրուցել ֆունկցիոնալ կախվածության դրաֆիկ:

6. Փորձեր կատարել ողորող մոմենտի վրա ընդունիչ մասի գ անկյան մեծության ազգեցության աստիճանը որոշելու համար և կառուցել $M_{st} = f(\varphi)$ կախվածության գրաֆիկը:

Այդ փորձերի կատարման համար տարբեր անկյուններ ունիցող ($\varphi = 5, 10$ և 15°) երեք մեքենայական ներպարուրակիչներով անհրաժեշտ է մշակել պարուրակ: Այդ փուլի փորձերը կտարարելիս բոլոր մր-



Նկ. 127. Ներպարուրակիչի ետևի
անկյան ազդեցությունը ոլորդ
մռմենակի վրա



Նկ. 128. Ներպարուրակիչի
ընդունիչ մասի անկյան
ազգեցուրյանը ոլորտ մոմենտի
վրա

նացած գործուները պետք է լինեն միատեսակի: Պարուրակը մշակում են պողպատե նախապատրաստվածքի երեք գայլիկոնված անցքերում: Փորձերի արդյունքները գրի առնել:

Ներպարութակիչ ընդունիչ մասի գ անկյունը աստ-ով 10 15 25
Մոլ կամ-ով

Ստացված տվյալներով, նկ. 128-ում ցույց տրված ձևով, կառուցել նշված կախվածության գրաֆիկը:

7. Փորձեր կատարել ողորդող մուհնտի վրա յուղման ազդեցության աստիճանը որոշելու համար։ Այդ փուլի փորձերը կատարելու համար պողպատե նախապատրաստվածքում անհրաժեշտ է մշակել պարուրակ առանց յուղման, $d=14$ մմ տրամագիծ ունեցող մեկ մեթենայական ներպարուրակիչով։ Այդ կլինի առաջին փորձնական կետը։ Եթերորդ փորձնական կետը անհրաժեշտ է վերցնել 4-րդ կետից, այսինքն՝ օդուվել այն փորձի արդյունքներից, որը կատարվել է $d=14$ մմ տրամագիծ ունեցող ներպարուրակիչով պողպատե նախապատրաստվածքում պա-

բուրակ մշակելիս՝ յուղում կատարելով։ Այդ երկու արդյունքները դրանց ել ստորև բերված ձևով։

Պարուրակի մշտկման պայմաններ

Յուղմամբ

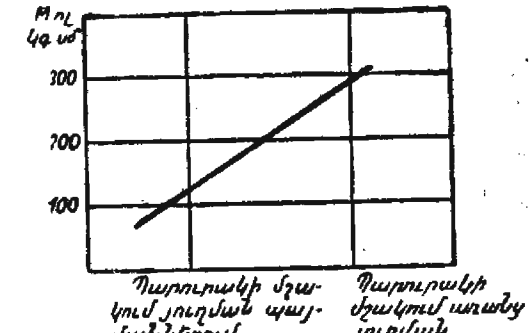
Առանց
յուղման

$$M_{\pi_1} \models \Phi \text{ and } \neg \psi$$

Այդ տվյալներով, նկ. 129-ում ցույց տրված ձևով, կառուցել կախվածության դրաֆիկ:

Կատարված փորձերը վեր
լուծելիս անհրաժեշտ է հետեւ
վաթուններ անել ներպարու-
րակիչի գլխավոր կոնսարտակ
տիվ աարբերի (մ, լ₄, լ_{4աւ},
և Փ₁) դերի և նշանակության
մասին, հավաքածուի մեջ ընդ
դըրկված ներպարուրակիչների
միջև աշխատանքի ճիշ-
բաշխման մասին և լուղման
դերի մասին: Բացի այդ ան-
հրաժեշտ է պարզուց կեր
պով պատկերացնել պարուրա-

Գրել համառոտ եզրակացություն կատարված աշխատանքի մասին:



**Նկ. 129. Յուղման ազդեցությունը ոլորող
մօմենտի վրա**

Աշխատանք № 12

ՀՂԿԱՆՅՈՒԹԵ ԳՈՐԾԻՔՆԵՐ ԵՎ ՀՂԿՄԱՆ ԴԻՆԱՄԻԿԱՆ

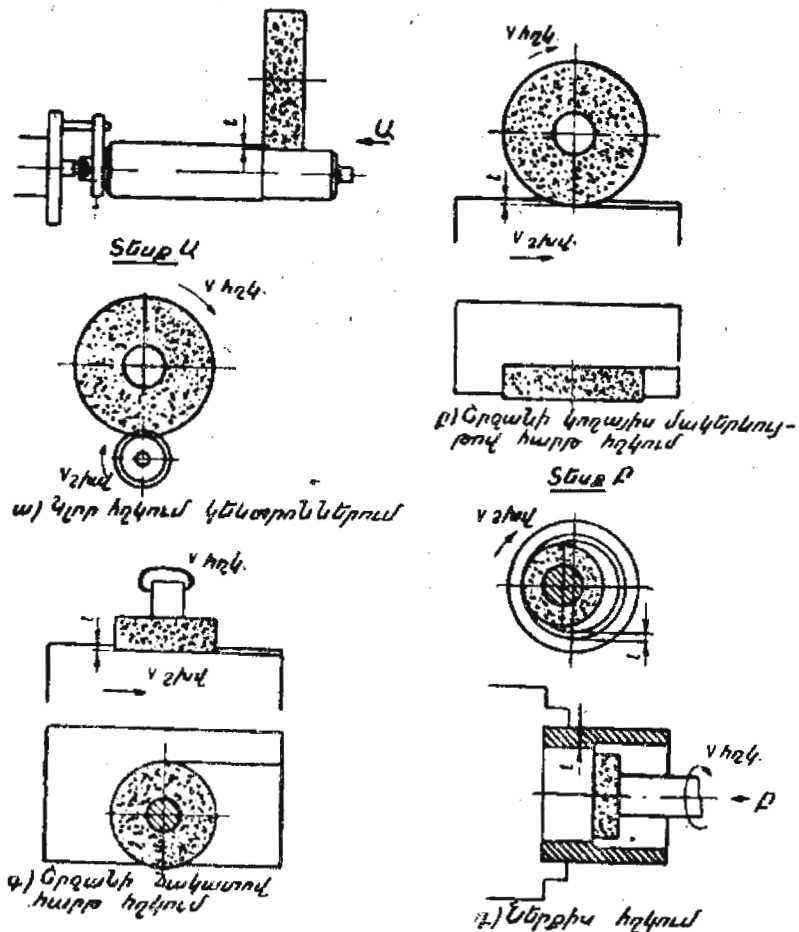
Հղկումը իրենից ներկայացնում է հղկանյութե դորժիքներով մեսաղ-ների կտրման պրոցես։ Այն, սովորաբար, մաքուր, վերջնամշակման օպերացիա է, որն ապահովում է ճշգրտության 1—2 դաս և մշակված մակերևույթի մաքրության 7—10 դաս։

Հղկանյութե գործիքներ կողվում են հղկասկավառակները, հետաները, սեպմենտները և հղկման համար կիրառվող այլ կտրող զործիքներ։ Ակ. 130-ում ցույց են տրված հղկման տարրեր սխեմաներ։ Ակ. 131-ում ցույց է տրված հղկահատիկներով կտրման սկզբունքային սխեման՝ ա) կտրման պրոցես, բ) հատիկի երկրաշափությունը և նրա ամրացումը կապակցող նյութի մեջ։ Հղկասկավառակները բնութագրվում են իրենց ձևով և լավագությունով, հղկանյութով, հատիկայնությամբ, կապակ-

ցանյութով, կարծրությամբ, ստրուկտորայով և պտտման առավելագույն շրջանագծային արագությամբ:

Աղյուսակ 3

Հղկասկավառակների ձեր: Պարզ և ձևավոր պրոֆիլ ունեցող դետալների հղկման, կտրող գործիքների սրման, պարուրակահատման և պարուրակի մշակման համար կիրառում են տարբեր հղկասկավառակներ:



Նկ. 130. Մի բանի տեսակի նղկման սխեմաներ

Ողյուսակ 3-ում բերված են հղկասկավառակների տիպային ձևերը:

Հարթ ուղիղ հղկասկավառակը (ՈՈ) կիրառվում է կլոր գլանային և հարթ հղկման համար: Այդ սկավառակի վրա ցույց են տրված հիմնական չափերը (աղյուսակ 3), արտաքին տրամագիծ՝ D, ներքին տրամագիծ՝ d, սկավառակի լայնությունը՝ H: Հղկասկավառակի չափերը կրճատ գրվում են՝ D×H×d:

Հղկասկավառակի անվանումը	Տիպը (նշանակումը)	Հղկասկավառակի ձեր և հիմնական չափերը
1	2	3
Ուղիղ, հարթ	ՈՈ	
Սկավառակային	Ա	
Գավաթաձև զլանային	ԿԱ	
Գավաթաձև կոնական	ԿԿ	
Ափսեաձև	Տ	

$\zeta_{\text{դաշտավայր}}$	$\zeta_{\text{գլուխութեան}}$	Ամբության սահմանը $\zeta/\text{մ}^2\text{-ով}$		$\zeta_{\text{հեռակար-}}\text{ծութեանը}$	$\zeta_{\text{համանական}}$
		$\zeta_{\text{սեղմանա-}}\text{զեպքում}$	$\zeta_{\text{ժամանակա-}}\text{գեպքում}$		
$\zeta_{\text{ելեկարա-}}\text{կորունդ}$	$\zeta_{\text{նորմալ}} \quad \zeta_{\text{90}}, \quad \zeta_{\text{93}}, \quad \zeta_{\text{83}}$	76	10	$\zeta_{\text{հեռակար-}}\text{ծութեանը}$	$\zeta_{\text{համանական}}$
	$\zeta_{\text{սպիտակ}} \quad \zeta_{\text{եկա-}}\text{լուսակորունդ}, \quad \zeta_{\text{88}}$	200—300	35		
$\zeta_{\text{սիլիցիումի}}\text{կարբիդ}$	$\zeta_{\text{մոնոկորունդ}} \quad \zeta_{\text{M97}}, \quad \zeta_{\text{M98}}$	225	15	$\zeta_{\text{հեռակար-}}\text{ծութեանը}$	$\zeta_{\text{համանական}}$
	$\zeta_{\text{նորմալ}} \quad \zeta_{\text{սիլի-}}\text{ցիումի} \quad \zeta_{\text{Կ497}}, \quad \zeta_{\text{Կ498}}$	300—3300	2000—2500		
$\zeta_{\text{սիլիցիումի}}\text{կարբիդ}$	$\zeta_{\text{գոնաչ}} \quad \zeta_{\text{սիլի-}}\text{ցիումի} \quad \zeta_{\text{Կ396}}, \quad \zeta_{\text{Կ398}}$	2200—2300	1900—2000	$\zeta_{\text{հեռակար-}}\text{ծութեանը}$	$\zeta_{\text{համանական}}$
	$\zeta_{\text{3,1—3,2}}$	$\zeta_{\text{3,8—3,9}}$	$\zeta_{\text{q/nG}}$		

| $\zeta_{\text{առիջիւմ-}}\text{նութեան}$ |
|---|---|---|---|---|---|---|
| 200 | 2500—2000 | 63 | 800—630 | 20 | 250—200 | 6 |
| 160 | 2000—1600 | 50 | 630—500 | 16 | 200—160 | 5 |
| 125 | 1600—1250 | 40 | 500—400 | 12 | 160—125 | 4 |
| 100 | 1250—1000 | 32 | 400—315 | 10 | 125—100 | 3 |
| 80 | 1000—800 | 25 | 315—250 | 8 | 100—80 | 40 |

Կապակցանյութ: Կարման դիմադրության ուժերը ձգտում են հղկա-
հատիկը պոկել հղկաշրջանի մարմնից: Հատիկները հուսալի կերպով
պահելու համար ամրացվում են հատուկ նյութով, որը կոշվում է կա-
պակցանյութ: Հետեարար, կապակցանյութի դերն այն է, որ նա հըլ-
կահատիկներն ամրացնում են հղկաշրջանի մարմնին: Կապակցանյութերը
լինում են օրդանական և անօրդանական:

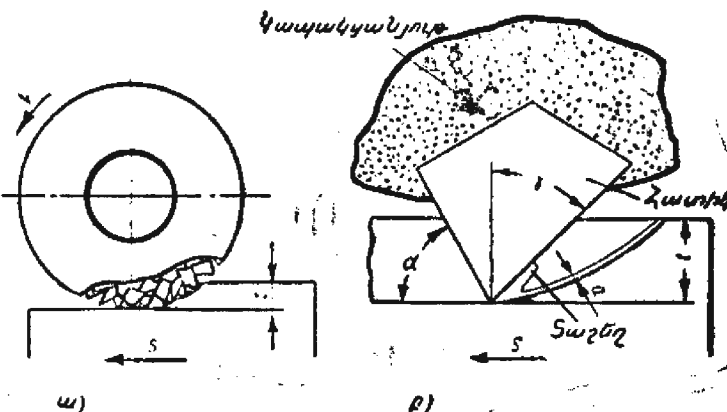
Հղկասկառակային բոլորակը (Դ) սովորաբար կիրառվում են
միված պաղպատ կտրելու, նեղ ակոսներ հանելու և ձգիչներում ու այլ
դորժիքներում տաշեղաջարդիչ ակոսներ առաջացնելու համար:

Գավաթաձև (շաշեանի) դլան ային է զդասկառակը (ՎԱ) կիրառվում է ներքին հղկման կամ կտրող գործիքի սրման համար:

Ափահանական (T) և գավաթաձև կունական (ՎԿ) հղկասկա-
ռականները կիրառվում են հիմնականում կտրող գործիքի սրման հա-
մար:

Հղկանյութեր: Հղկասկառականներ պատրաստելու համար կիրառում
են հետեւալ հղկանյութերը՝ էլեկտրակորունդ (Է), էլեկտրակորունդ ըս-
տիտակ (ԷԲ), մոնոկորունդ (Մ), սիլիցիումի կարբիդ (կարբորունդ),
որը ստորաբաժանվում է սիլիցիում կարբիդ-կանաչ (ԿՅ) և սիլիցիում կարբիդ-սկի (ԿԿ), ինչպես նաև սինթետիկ ալմաստից:

Կարծր միահալվածքներից պատրաստված դետալների հղկման և
գործիքների սրման համար կիրառում են կանաչ սիլիցիում կարբիդից
և արհեստական ալմաստից պատրաստված հղկասկառականներ:



Ֆի. 131. Հղկասկառակի հատիկներով կատարված կտրման սկզբանային սրման

Հղկանյութի հատիկները փորձարկում են, գլխավորապես, ըստ
սեղման և ծուման գեֆորմացիաների: Աղյուսակ 4-ում բերված են մի-
քանի հղկանյութերի մեխանիկական համարները ըստ ԳОСТ
3647—59-ի: Հղկանյութն ըստ հատիկի խոշորության լինում է՝ հղկահա-
տիկ (Ն 200—Ն 16), հղկափոշիներ (Ն 12—Ն 3) և միկրոփոշիներ
(Մ 40—Մ 5):

Հատիկայնյությունը: Աղյուսակ 5-ում բերված են հիմնական ֆրակ-
ցիայի հատիկների շափերն ու հատիկայնյության համարները ըստ ԳОСՏ
3647—59-ի: Հղկանյութն ըստ հատիկի խոշորության լինում է՝ հղկահա-
տիկ (Ն 200—Ն 16), հղկափոշիներ (Ն 12—Ն 3) և միկրոփոշիներ
(Մ 40—Մ 5):

կապակցանյութերի թվին են պատկանում կերամիկական կապակցանյութերը (K), որոնք ստացել են ամենալայն կիրառություն։ Օրգանական կապակցանյութերից կիրառում են վուլկանիտային (B) և բակելիտային (B) կապակցանյութերը։

Հղկանյութերի կարծրությունը դա հատիկների՝ պոկվելուն ցույց տրվող դիմադրության ասահճանն է հղկման պրոցեսում։ Հետևաբար, հղկասկավառակի կարծրությունը որոշվում է կապակցանյութի կարծրությամբ։ Հղկանյութերի գործիքի կարծրությունը որոշվում է հատուկ դաշլիկոնի միջոցով՝ փոսիկ դաշլիկոնելու մեթոդով, գնդիկի ներճնշման մեթոդով (այս դեպքում փոսիկի խորությունը որոշում է հղկասկավառակի կարծրությունը)։ Կամ ավազաշիթային ապարատի օգնությամբ, որը ավազի շիթի $1,5 \text{ կԳ}/\text{մ}^2$ ճնշման տակ առաջացնում է փոսիկ։ Ըստ փոսիկի մեծության դատում են հղկանյութերի գործիքների կարծրության մասին։ Ստորև բերված են հղկասկավառակի կարծրությունները։

Հղկասկավառակ

Հղկասկավառակի կարծրության նշաններ

Փափուկ (M)	M1, M2, M3
Միջին փափկության (CM)	CM1, CM2
Միջին (C)	C1, C2
Միջին կարծրության (CT)	CT1, CT2, CT3
Կարծր (T)	T1, T2
Շատ կարծր (BT)	BT1, BT2
Չափազանց կարծր (ЧТ)	ЧТ1, ЧТ2

Հղկասկավառակի ստեղծառության բնութագրվում է հղկանյութեր հատիկների, կապակցանյութի և ծակոտիների ծավալային հարաբերությամբ։ Տարբերվում են հղկասկավառակների ստրուկտորայի 13 համար ($\# 0-ից$ մինչև $\# 12$)։ Որքան փոքր է հղկասկավառակի ստրուկտորայի համարը, այնքան հատիկները խիտ են դասավորված։

Հղկման պրոցեսի մի խթի առանձնանատկություններ։ Հղկման ընթացքում կարումը տեղի է ունենում առջևի բացասական անկյուններ ունեցող հատիկով ոչ ազատ կտրման պայմաններում, որը մի քանի անգամ մեծացնում է կտրման գոտում դեֆորմացման աշխատանքը։ Հըղկումը կատարվում է բավականին բարձր կտրման արագություններով՝ $30-50 \text{ մ}/\text{րեկ}$ ($1800-3000 \text{ մ}/\text{րոպե}$) սահմաններում։ Աւծեղ շիման պայմաններում և մեծ արագությամբ հղկելու ժամանակ կտրման գոտում առաջանում է շատ բարձր շերմաստիճան (1500°C և ավելի)։ Մշակված մակերեսությունը շերմաստիճանը հասնում է $700-1000^\circ \text{C}$, որը առաջ է բերում մակերեսությի այրում և դետալների խոտան։

Մեկ հատիկով կտրվող տաշեղի հաստությունը կազմում է միկրո-

մի տասներորդական մասը ($0,1-0,3 \text{ մի}$)։ Այդպիսի տաշեղների մի մասն այլիվում է բարձր զերմաստիճանում, մեծ մասն էլ հեռանում է հովացնող հեղուկի հետ, մի մասը փակում է հղկասկավառակի ժակուտիները և բթացնում այն թթացած (ռճարպակալած) հղկասկավառակն անհրաժեշտ է «սրել», այսինքն՝ հեռացնել թթացած շերտը և բացել նոր կտրող հատիկներ։ Հղկասկավառակները սրվում են ալմասով՝ սողայի լուծույթով առատ հովացման պայմաններում կամ չոր պայմաններում՝ ավելի կարծր կապակցանյութ ունեցող սրող հղկասկավառակներով։

Բարձր արտադրողականություն և բարձրորակ մակերեսությ ստանալու համար որոշիլ նշանակություն ունի հղկասկավառակի ճիշտ ընտրությունը։ Հղկասկավառակի ընտրության վերաբերյալ որոշ տեղեկություններ բերված են աղյուսակ 6-ում։

Մեքենաշինական գործարանների բազմամյա փորձը թույլ է տա-

Աղյուսակ 6

Մշակվող գեղարկություններ	Կլոր հղկում			Հարթ հղկում			Ներքին հղկում		
	Հղկանյութը	Հատիկի բարություններ	Կարծրականություններ	Հղկանյութը	Հատիկի բարություններ	Կարծրականություններ	Հղկանյութը	Հատիկի բարություններ	Կարծրականություններ
Միգած պողպատ	Թ, ԹԲ	50—36	CM1—CM3	Կ, Բ	Թ	40	M1—M3	Կ	Թ, ԹԲ
Չմիգած պողպատ	Թ	60	T1—T2	Կ, Բ	Թ	50	CT1—CT3	Կ	Թ, ԹԲ
Չուղուն	ԿԿ	50	M1—CM2	Կ	ԿԿ	40	M1—M2	Կ	ԿԿ, 32
Պղինձ, արույր	ԿԿ	40	M2—M3	Կ	ԿԿ	32	M1—M2	Կ	25
Կարծր միահամաժաներ	ԿՅ	40	M2—M3	Կ	ԿՅ	32	M1—M2	Կ	25

ესა հզկասկավառակნերի ընտրությონ համար առաջարկել հետևյալ հանձնարարականները:

1. Մխված պողպատներից պատրաստված ($HRC = 60-64$) դետալների հղկման համար անհրաժեշտ է կիրառել փափուկ հղկասկավառակներ (փափուկ կապակցանյութով), իսկ շմիգած պողպատների և $HRC = 200$ մխավոր կարծրություն ունեցող շուրջունի հղկման համար անհրաժեշտ է կիրառել կարծր և համեմատաբար կարծր հղկասկավառակներ (կարծր և միջին կարծրության կապակցանյութով):

2. Որքան մեծ է կոնտակտը հղկասկավառակի և հղկվող դետալի միջև, այնքան ավելի փափուկ հղկասկավառակ պետք է օգտագործել Հարթ, և, հատկապես, ներքին հղկման դեպքում պետք է կիրառել ավելի փափուկ հղկասկավառակներ, քան կլոր արտաքին հղկման դեպքում, երբ հղկասկավառակի և դետալի միջև կոնտակտն ավելի փոքր է, քան հարթ և ներքին հղկման դեպքում:

3. Արքան մէծ է հաստոցի կոշտությունը, այնքան ավելի փափուկ հղկասկավառակներ պետք է կիրառել հղիման համար:

4. Որքան մեծ է մատուցումը հղկասկավառակի լայնքով, այնքան ավելի փոփով՝ պետք է լինի հղկասկավառակը:

5. Մնացած բոլոր հավասար պայմաններում խոշորահատիկ հրդկասկավառակներն ավելի արտադրողական են, քան մանրահատիկ հրդկասկավառակները: Խոշորահատիկ հղկասկավառակները կիրառվում են դետալի մակերևույթի կողին հղկման, նախնական հղկման համար, մանրահատիկ հղկասկավառակները՝ մաքուր հղկման, մակերևույթի վերջնամշակման համար:

6. Ավելի բարձրորակ դետալներ ստանալու համար հղկումը մեծ մասամբ կատարվում է առաջ հոգածումով:

Հղկման սիեմայի բնարության մեջողիկան և հղկասկավառակի տեխնիկական բնութագրի կազմումը: Դետալների մշակման համար անհրաժեշտ է ընտրել հղկման սիեմա, հղկասկավառակ և կազմել հղկասկավառակի տեխնիկական բնութագրից: Դա քննարկենք մի օրինակով:

Օրինակ՝ անհրաժեշտ է հղել կոնստրուկցիոն գործիքային պող-պատից պատրաստված $200 \times 100 \times 15$ մմ լափեր ունեցող սալ:

Աշխատանքի կատարման հաջորդականությունը

Կատարել տարբեր հատիկայնություն (հատիկայնությունը 200, 80 և 16) և տարբեր կապակցանյութ (կերամիկական, բակելիտային և այլն) ունեցող հզկանյութի գործիքների տարբեր հավաքածուների մանրամասն սննդում:

卷之二十一

卷之三

Հնարել անհրաժեշտ հղկման սխեմա՝ ելնելով մշակվող դետալի ձևից: Պատկերել, տվյալ դեպքում հարթ հղկման, սկզբունքային սխեման և հղկասկավառակի հատիկի կտրման սխեման (նկ. 130 և 131):

Ն 12, ա արձանագրության մեջ մտցնել շինվածքին վերաբերող բուրությունները: Օգտվելով անհրաժեշտ տվյալներից, լրացնել Ա 12, քարձանագրությունը: Հղկասկավառակի անվանումը, նրա նշանը և շափիերն ընտրել ըստ աղյուսակ 3-ի: Հղկանյութը, հատիկայինությունը, կարծրությունը և կապակցանյութի որակն ընտրել ըստ աղյուսակ 6-ի՝ հաշվի առնելով մշակվող դետալի նյութը: Տվյալ դեպքում միված պողպատի համար, հարթ հղկման դեպքում, ընտրում են էլեկտրակորունդ (Ե) հղկանյութը, որի հատիկայնությունը 40 է, կարծրությունը՝ Ա 1 և կապակցանյութը՝ կերամիկական (Կ): Էլեկտրակորունդի ամրության սահմանը ըստ աղյուսակ 4-ի՝ $\sigma_{\text{ss}}=10 \text{ կԳ/մմ}^2$, հղկասկավառակի արագությունը՝ $V_{\text{ss}}=30 \text{ մ/վրկ.}$

Աշխատանքի երկրորդ մասը կատարելու ժամանակ հղկասկավառակի շափիերն ուսանողներին հաղորդում է լաբորատոր պարագմունք վարող դասախոսը կամ մեխանիկը:

ՀՂԿՄԱՆ ԴԻԽԱՄԻԿԱՑԻ ՀԵՏԱԶՈՒՄԱՆ ՄԵԹՈԴԻԿԱՆ

Նկ. 132-ում ցույց է տրված ուժերի ազդման սխեման հարթ հղկման դեպքում: Հղկասկավառակով կտրում կատարելիս առաջանում է գումարային R ուժը, որը դետալից հաղորդվում է հղկասկավառակին: Հառանցքի վրա R ուժի պրոյեկցիան տալիս է տանգինցիալ P_z ուժը: Այդ ուժի հիման վրա հաշվարկվում է էֆեկտի հզորությունը, որը ժախսվում է կտրման պրոցեսի և դետալի պտտման վրա: Բացի այդ, ըստ տանգինցիալ ուժի հաշվարկվում են հղկասկավառակի ոլորտ մոմենտը, դետալի պտտման մեխանիզմի ամրությունը և հաստոցի սեղանի տեղաշարժումն ապահովող հանգույցը: Գումարային R ուժի պրոյեկցիան չառանցքի վրա տալիս է մատուցման P_x ուժը, ըստ որի հաշվարկվում է մատուցման վրա ծախսվող հզորությունը: Գումարային R ուժի պրոյեկցիան յառանցքի վրա տալիս է շառավղային P_y ուժը: Բայց P_y ուժի հաշվարկվում են հաստոցի սեղանը և հենոցի ուղղորդները: Բայց P_y և P_z ուժերի հաշվարկվում է իլալին խմբի հանդուցը: Հղկման դիմամիկալի հետազոտությունը ցույց է տալիս, որ շառավղային P_y ուժը տանգինցիալ ուժից որոշ շափով ավելի մեծ է: Դրանց հարաբերակցությունը կախված է հղկման պայմաններից: Գործնականորեն կարելի է համարել, որ հղկման դեպքում շառավղային ուժը տանգինցիալ ուժից մեծ է 1,5—3 անգամ:

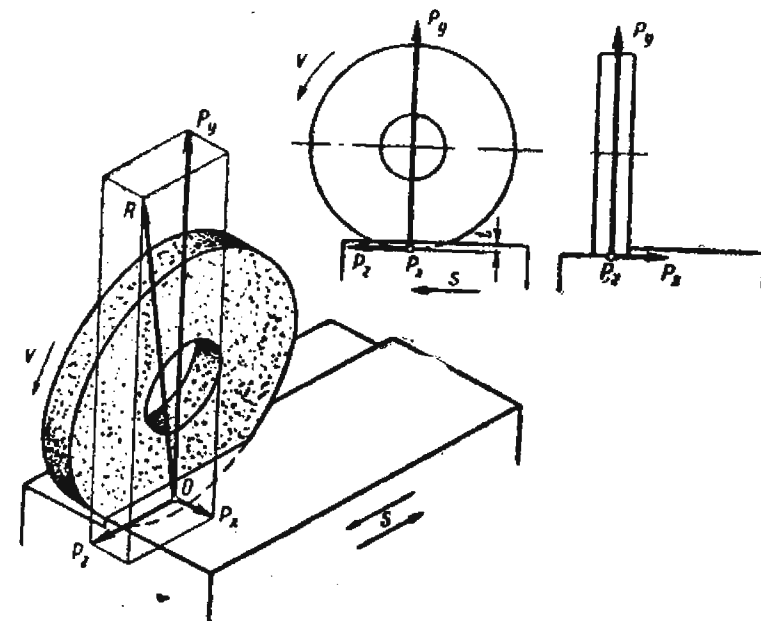
Տանգինցիալ ուժը հաշվարկվում է հետևյալ բանաձևով՝

$$P_z = C_p \cdot t^x = 17,4 \cdot t^{0,65} \text{ կԳ},$$

որտեղ $C_p = 2,2^x$ միված պողպատների հղկման ժամանակ, x, t^x միված պողպատի հղկման ժամանակ և $2,0^x$ շուգունի հղկման ժամանակ:

Տեսական հետազոտությունների և գործարանների պրակտիկայի հիման վրա հաստատվել է, որ P_z ուժն աճում է և մատուցման և կտրման խորության մեծացմանը համեմատ և փոքրանում $\propto V_{\text{ss}}$ պարա-ման արագության փոքրացման համեմատ:

Աշխատանքի երկրորդ մասի կատարման ժամանակ գլխավոր խրե-դիրն է հղկման ընթացքում կտրման ուժի վրա կտրման խորության և մատուցման աղղեցության հետազոտումը, ալտինքն՝ $P_z=f(s)$ և $P_z=f(t)$



Նկ. 132. Հարք նոկման դեպքում ազդակ ուժերի սխեմա

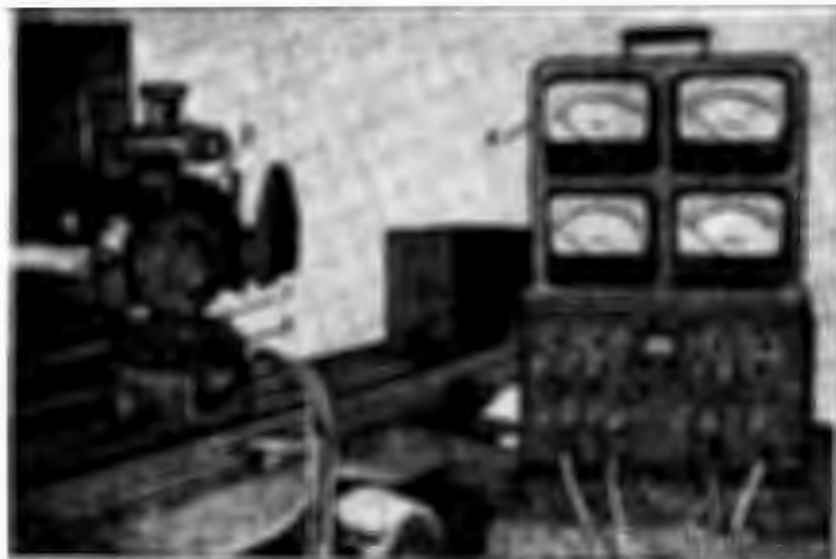
ինչպես նաև P_z կտրման ուժի վրա մշակվող նյութի (միված պողպատ, միված պողպատ և շուգուն) մեխանիկական հատկությունների աղղեցության հետազոտումը: Բացի դրանից, անհրաժեշտ է որոշել $\frac{P_y}{P_z}$ հարա-բերակցության մեծությունը:

Անհրաժեշտ է ուշադրություն դարձնել այն բանի վրա, որ մե-

տաղահատ գործիքներով կտրման միջոցով այլ տեսակի մշակումների ժամանակ, ընդհակառակը, տանգենցիալ P_z ուժը միշտ մեծ է շառավղային P_y ուժից և միայն կտրիչի լրիվ բթացման դեպքում ազդող կտրման ուժերը հավասար են ($P_x = P_y = P_z$);

Նկ. 133-ում ցույց է տրված հղկման դինամիկայի հետազոտման կայանը: Կայանը բաղկացած է հարթ հղկիչ հաստոցից և կտրման P_x , P_y և P_z երեք բաղադրիչ ուժերի շափման դինամոմետրից:

Փորձերի առաջին սերիան: Փորձերի առաջին սերիայում հետազոտվում է կտրման խորության աղղեցությունը շոշափող P_z ուժի վրա հղկման դեպքում՝ $P_z = f(t)$: Փորձերը կատարվում են կտրման խորության չորս տարբեր արժեքների դեպքում՝ $t_1 = 0,01$ մմ, $t_2 = 0,05$ մմ, $t_3 = 0,1$ մմ և $t_4 = 0,15$ մմ՝ $s = 0,06$ մմ սեղանի մեկ ընթացի համար հաստատուն մատուցման, $V_{t_{\text{պահ}}}=28$ մ/վրկ կտրման արագության և $V_{t_{\text{բար}}}=7,5$ մ/րոպե դետալի կտրման արագության դեպքում: Մշակումը կատարվում է $250 \times 25 \times 75$ մմ չափեր ունեցող հղկասկավառակով, շոր պայմաններում: Հղկվող դետալի նյութը լմխված պողպատ 50 է:



Նկ. 133. Հղկման դինամիկայի հետազոտման խայտը.

1—Հղկվող սալ (դետալ), 2—հղկաշրջան, 3—դինամոմետր,
4—կտրման (P_x , P_y , P_z) ուժերի գրանցման սարք

Փորձնական արդյունքները գրի առնել № 12, գ արձանագրության մեջ:

Բացի այդ, որոշվում է մշակվող նյութի (լմխված պողպատ 50 և միջին կարծրության շուգում) մեխանիկական հատկությունների աղղեցությունը: Այս փորձերի արդյունքները նույնպես գրի են առնվում № 12, գ արձանագրության մեջ: Դետալի նյութի բնութագիրը տրված է № 12, բ արձանագրության մեջ:

№ 12, գ արձանագրության տվյալներով կոորդինատների կրկնակի լոգարիթմական սիստեմում կառուցվում է կտրման խորության և P_z կտրման ուժի միջև կախվածությունը (նկ. 134): Աբսցիսների առանցքի վրա տեղադրված են կտրման խորության արժեքները, իսկ օրդինատների առանցքի վրա՝ P_z կտրման շոշափող ուժերը:

Փորձնական կետերով տարված է մի ուղիղ, որն արտահայտում է

$$P_z = f(t) \quad \text{կախվածությունը:}$$

Ֆունկցիոնալ՝ $P_z = f(t)$ տարր գումարը, որ բոլոր կետերը գտնվեն ուղիղի երկու կողերի վրա մոտավորապես հավասարաչափ կամ ուղիղի երկու կողմերի վրա գտնվեն հավասար հեռագործթյունների վրա: Եթե որևէ կետ գտնվում է ուղիղից հեռու, ապա համապատասխան փորձը պետք է կրկնել: Ուղիղը պետք է

կատարվի ոչ պակաս, քան չորս փորձնական կետավորությունը:

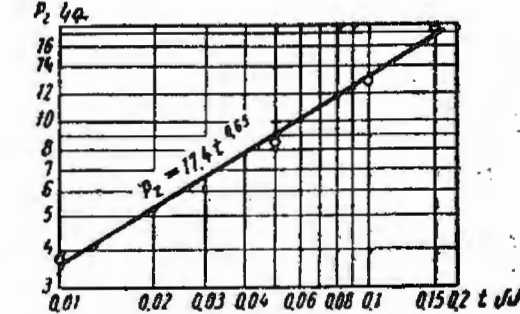
P_z -ի և t -ի միջև որոշված կախվածությունը կարելի է արտահայտել հետևյալ ցուցային ֆունկցիայով՝

$$P_z = C_{\text{կոր}} \cdot S^{0.7} \cdot t^{0.6},$$

որտեղ $C_{\text{կոր}}$ -ն կտրման ուժի արժեքն է, t բր տ=1, $x = \text{tg}\alpha = \frac{b}{a}$ (ա-ն և

բ-ն մմ-ով) չափված հատվածներ են):

Բացի դրանից, № 12, գ արձանագրությունից որոշվում է $\frac{P_y}{P_z}$ հարաբերությունը, որը լմխված պողպատից պատրաստված դետալների հղկման դեպքում կազմում է մոտ 1,33, միշտ պողպատից պատրաստվածների համար՝ 1,52 և շուգունից պատրաստվածների համար՝ 1,21 (անհրաժեշտ է նկատի ունենալ, որ լմխված միշտ պողպատների և



Նկ. 134. Կոորդինատներում աղղեցությունը P_z կտրման ուժի վրա

Է $P = f(s)$ գրաֆիկական կախվածությունը (նկ. 135) և արժարժվում
է հետևյալ հավասարությունը՝

$$P_z = C_1 \cdot s^y = 13,2 \cdot s^{0,44},$$

որտեղ C_1 -ը կտրման ուժի արժեքն է, եթե $s=1$ և աստիճանացուցը
 $y=1g\alpha=0,44$:

Կտրման խորությունից և մատուցումից կտրման ուժի կախվածության բանաձևը կարելի է ներկայացնել հետևյալ տեսքով՝

$$P_z = C_2 \cdot t^x \cdot s^y;$$

Արձանագրություն № 12, գ

Փորձերի համար	Դեղուակի նորմի	Արձանագրություն № 12, գ						
		Հղկասկավառակի արժա- քություններ՝ $V_{t,t}$, $t/\sqrt{\rho}$		Հեղուակի պատճեններ՝ $V_{t,t}$, $t/\sqrt{\rho}$		Կտրման ուժը կր-սդ	$\frac{P_y}{P_z}$ հարաբերությունը	
		P_z	P_y					
1	Զմիված պողպատ 50	28	7,5	0,6	0,01	3,7	4,8	1,3
2					0,05	8,6	11,6	1,35
3					0,10	12,4	16,3	1,33
4					0,15	18,7	24,6	1,32
5	Միկած պողպատ	28	7,5	0,6	0,05	9,5	14,4	1,52
6	Գորչ շուղան	28	7,5	0,6	0,05	6,1	7,4	1,21

շուգունի հղկումը կատարվում է միևնույն հղկասկավառակով, Համապատասխան նյութի հղկումից հետո հղկասկավառակն անհրաժեշտ է սրել:

Փորձերի երկրորդ սերիան: Հետազոտվում է շոշափող P_z ուժի վրա մատուցման ազդեցությունը, այսինքն՝ $P_z=f(s)$ կախվածությունը: Այդ փորձերը կատարվում են $t=0,05$ մմ հաստատուն կտրման խորության և մատուցման երեք տարբեր արժեքների դեպքում՝ $s_1=0,02$ մմ, $s_2=0,4$ մմ և $s_4=0,8$ մմ հաստոցի սեղանի մեկ ընթացի համար: Երրորդ մատուցման թվային արժեքն անհրաժեշտ է վերցնել № 12, գ արձանագրությունից (փորձ 2): Չորս փորձը բավական է P_z -ի և s -ի միջև կապն արտահայտող ֆունկցիոնալ կախվածությունը կառուցելու համար: Բացի կտրման խորությունից, այս սերիայի փորձերում հաստատուն գործոններ են համարվում հղկասկավառակի արագությունը, դետալի պտտման արագությունը, հղկասկավառակը և մշակվող դետալի նյութը (շմիված պողպատ 50): Հղկումը, ինչպես նախորդ փորձերում, կատարվում է շոր պայմաններում: Կտրման ուժիմը և հետազոտման արդյունքները գրի են առնվում № 12, դ արձանագրության մեջ, № 12, դ արձանագրության տվյալներով, ինչպես նախորդ դեպքում: Կառուցվում

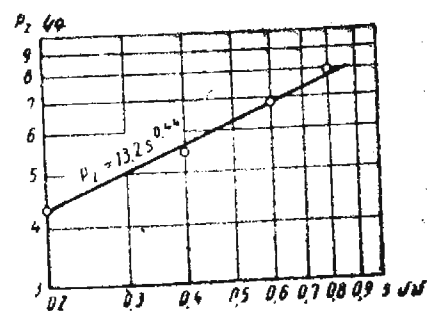
Փորձերի համար	Դեղուակի նորմի	Արձանագրություն № 12, գ			
		Հղկասկավառակի արժա- քություններ՝ $V_{t,t}$, $t/\sqrt{\rho}$	Հեղուակի պատճեններ՝ $V_{t,t}$, $t/\sqrt{\rho}$	Կտրման բարձրացուցանիշը՝ $t, \sqrt{\rho}$	$\frac{P_y}{P_z}$
1	Զմիված				0,2
2	պողպատ 50	28	7,5	0,4	0,05
3				0,6	0,05
4				0,8	0,05

x -ի և y -ի արժեքները նախօր որոշված են, իսկ C_2 -ը կարելի է գտնել՝ լուծելով $P_z=C_1 \cdot t^x \cdot s^y$ հավասարումը ընդհանուր հավասարման հետ:

$$t = \frac{P_z}{C_1}, \quad P_z = C_1 \cdot \frac{P_z}{C_1} \cdot s^y,$$

որտեղից

$$C_2 = \frac{C_p}{S^y} = \frac{17,4}{0,2^{0,44}} = 35,2$$



Նկ. 135. Մատուցման ազդեցությունը
 P_z կտրման ուժի վրա

Վերջնականապես՝ կստանանք՝

$$P_z = \frac{C_p}{S^y} \cdot t^x \cdot s^y = 35,2 \cdot t^{0,65} \cdot s^{0,44}$$

Կատարված հետազոտությունների և դուրս բերված բանաձեռների վերաբերությունից կարելի է եղրակացնել, որ հղկման դեպքում կտրման խորագույն ավելի մեծ ազդեցություն ունի, քան մատուցումը։ P_y շառավղային ուժը 30%-ով մեծ է P_z ուժից. մշակվող նյութի մեխանիկական հատկությունների (օր կամ HB) աճմանը համեմատ մեծանում է կտրման ուժը։

Ինքնուրություն ԱՇԽԱՏԱՆՔԻ ԿԱՏԱՐՄԱՆ ԱՌԱՋԱԴՐԱԿԱՆՔ

1. Ուսումնասիրել հղկանյութե գործիքները։ Առաջադրանքին համապատասխան, ենթելով մշակվող դետալի ձևից և շափերից, ընտրել անհրաժեշտ հղկման սխեման։ $S_{\text{ալ}}$ կտրման սխեման, ինչպես այն ցույց է տրված նկ. 131-ում և նկ. 132-ում։ $I_{\text{բացնել}} \# 12$, ա և № 12, բ արձանագրությունները։

2. Կատարել հղկման դինամիկայի հետազոտություն։

ա) որոշել կտրման խորության ազդեցությունը կտրման շոշափող վրա։ $I_{\text{բացնել}} \# 12$, գ արձանագրությունը։ Այդ արձանագրության տվյալների հիման վրա կառուցել կախվածությունը, ինչպես այդ ցույց է տրված նկ. 135-ում, և դուրս բերել հավասարումը՝ որոշելով C_1 գործակցի և X աստիճանացույցի թվային արժեքները։ Որոշել մշակվող նյութի մեխանիկական հատկությունների (օր կամ HB, շմարված կամ մխված պղղատ, չուփուն) ազդեցությունը P_z կտրման ուժի վրա և $\frac{P_y}{P_z}$ հարաբերակցությունը։

բ) որոշել մատուցման ազդեցությունը կտրման շոշափող ուժի վրա։ $I_{\text{բացնել}} \# 12$, դ արձանագրությունը։ Այդ արձանագրության տվյալներով կառուցել կախվածությունը, ինչպես ցույց է տրված նկ. 136-ում, և դուրս բերել $P_z = C_1 S^y$ հավասարումը՝ որոշելով C_1 գործակցի և սատիճանացույցի թվային արժեքները։

գ) դուրս բերել $P_z = C_2 \cdot t^x \cdot s^y$ ընդհանուր հավասարումը։

3. Գրել համառոտ եղրակացություն կատարված աշխատանքի մասին։

ԲՈՎԱՆԴԱԿՈՒԹՅՈՒՆ

Առաջարան

ԲնդՀանուր մեթոդական խորհուրդներ լաբորատոր աշխատանքների վերաբերյալ (ի. Պ. Տրետյակով)	3
Աշխատանք № 1: Կտրիչների աշխատող մասի երկրաշափությունը (ն. Ֆ. Կիսելկ)	4
Աշխատանք № 2: Մետաղների դեֆորմացիայի պրոցեսը (ի. Պ. Տրետյակով)	26
Աշխատանք № 3: Կտրման ուժերը շրջատաշման ժամանակ (Վ. Ա. Արշինով)	35
Աշխատանք № 4: Ձերմաստիճանը մետաղների կտրման բնթացքում (Վ. Ա. Արշինով)	45
Աշխատանք № 5: Կտրիչների մաշումը, առագություն-կայունություն կախվածության որոշումը (Վ. Ա. Մինովանիկով)	51
Աշխատանք № 6: Կտրող եղբերի ամրությունը (ի. Պ. Տրետյակով)	58
Աշխատանք № 7. Մշակված մակերնույթի խորդությունը (ն. Ֆ. Կիսելկ)	67
Աշխատանք № 8. Պարուրած գայլիկոնների երկրաշափությունը (ն. Ֆ. Կիսելկ)	77
Աշխատանք № 9. Կտրման ուժերը գայլիկոնման ժամանակ (Վ. Ա. Արշինով)	89
Աշխատանք № 10. Ֆրեզների երկրաշափությունը և ֆրեզման դինամիկան (ի. Պ. Տրետյակով)	96
Աշխատանք № 11. Ներպարուրակիչների երկրաշափությունը և պարուրական համան դինամիկան (ի. Պ. Տրետյակով)	116
Աշխատանք № 12. Հղկանյութե գործիքների հղկման դինամիկա (ի. Պ. Տրետյակով)	139

Ի. Պ. ՏՐԵՏՅԱԿՈՎ, Վ. Ա. ԱՐՇՈՒՆՎ, Ն. Ֆ. ԿԻՍԵԼՅՈՎ, Վ. Ա. ՄԻԽՈՎԱՆԻԿՈՎ

«ՄԵՏԱՂՆԵՐԻ ԿՏՐՈՒՄԸ» ՊԱՍԾՆԹԱՑԻ ԼԱԲՈՐԱՏՈՐ
ԱՇԽԱՏԱՆՔՆԵՐ

Թարգմանիչ՝ Մ. Ա. Խաչյան

Թարգմ. խմբագիր՝ Մ. Հ. Քռամիշյան

Հրատ. խմբագիր՝ Վ. Թ. Առենիսյան

Դեղ. խմբագիր՝ Խ. Հ. Գյուղամիրյան

Տեխն. խմբագիր՝ Վ. Ա. Աբրահամյան

Վերառուցող սրբազրիներ՝ Մ. Ի. Մարգարյան, Ս. Հ. Զավալյան

Տպաքանակ 5000

Հանձնված է արտադրության 9/1 1973 թ.

Ստորագրված է տպագրության 31/X 73 թ.

Թուղթ № 2 60×90^{1/16}, Հրատ. 8,07 մամ., տպագր. 9,75 մամ., Գինը՝ 38 կուգ.

ՀՅԱՀ ՄԻԽԱՄԵՐԻ Առաջնային Հրատարակությունների, պոլիգրաֆիայի և գրքի առնավիք
գործերի պետական կոմիտեի № 7 տպարան, Երևան Տերյան 127: